



**KAUNO TECHNOLOGIJOS UNIVERSITETAS
FUNDAMENTALIŲJŲ MOKSLŲ FAKULTETAS
TAIKOMOSIOS MATEMATIKOS KATEDRA**

Saulius Styga

**PROGRESYVIOJO VAIZDŲ
KODAVIMO SPEKTRINĖJE HAAR
TRANSFORMACIJOS SRITYJE
METODO REALIZACIJA IR TYRIMAS**

Magistro darbas

**Vadovas
prof. dr. J. Valantinas**

KAUNAS, 2012



**KAUNO TECHNOLOGIJOS UNIVERSITETAS
FUNDAMENTALIŲJŲ MOKSLŲ FAKULTETAS
TAIKOMOSIOS MATEMATIKOS KATEDRA**

**TVIRTINU
Katedros vedėjas
doc. dr. N. Listopadskis
2012 06 02**

**PROGRESYVIOJO VAIZDŲ
KODAVIMO SPEKTRINĖJE HAAR
TRANSFORMACIJOS SRITYJE
METODO REALIZACIJA IR TYRIMAS**

Taikomosios matematikos magistro baigiamasis darbas

**Vadovas
prof. dr. J. Valantinas
2012 06 01**

**Recenzentas
doc. dr. R. Marcinkevičius
2012 06 01**

**Atliko
FMM 0 gr. stud.
Saulius Styga
2012 05 30**

KAUNAS, 2012

KVALIFIKACINĖ KOMISIJA

Pirmininkas: Rimantas Rudzkis, habil. dr., vyriausiasis analitikas (DnB
NORD Bankas)

Sekretorius: Eimutis Valakevičius, docentas (KTU)

Nariai: Jonas Valantinas, profesorius (KTU)
Vytautas Janilionis, docentas (KTU)
Vidmantas Povilas Pekarskas, profesorius (KTU)
Zenonas Navickas, profesorius (KTU)
Arūnas Barauskas, dr., vice-prezidentas projektams (UAB „Baltic
Amadeus“)

Styga S. Method realization and analysis of progressive image coding in spectral domain of Haar transform.: Master's work in applied mathematics / supervisor prof. dr. J. Valantinas; Department of Applied mathematics, Faculty of Fundamental Sciences, Kaunas University of Technology. – Kaunas, 2012. – 92 p.

SUMMARY

Image is the key tool to present graphical information. The more graphical information it contains, the easier it is to absorb this information, but a significant amount of graphical information will consume IT resources and slows down the transmission speed without the need. In order to reduce the waste of resources in information graphics and speed up the information transmission speed, it is proposed to use image coding technologies. One of these technologies is a locally progressive image coding. Its essence is to improve only the selected fragment quality of the image. Also, this technology is an integral part of the discrete wavelet transform.

On this paper new original procedure for the evaluation of discrete Haar spectra for separate fragments of a digital image is proposed and examined. The procedure explores specific properties of Haar wavelets, refers to the assumption that Haar spectrum of the whole image is known, and this procedure results is compared with direct evaluation of Haar spectral coefficients for the respective image blocks procedure results. Also Haar wavelet features and discrete Haar transform and its fast computing algorithm discovered.

At this paper we also examine one of the most effective image compression algorithms SPIHT. This algorithm works in discrete wavelet transform spectral domain but we are facing one major issue with Haar spectrum: this spectrum elements are real numbers but SPIHT works only with integer numbers. In order to implement SPIHT with Haar spectra, Haar transform has been modified to produce integer numbers instead of real.

Some experiment results are also presented. They corroborate out theoretical conclusions that SPIHT is partly able to work with Haar transform.

TURINYS

| | |
|---|----|
| LENTELIŲ SĄRAŠAS | 6 |
| PAVEIKSLŲ SĄRAŠAS | 7 |
| ĮVADAS | 8 |
| 1. DISKREČIOSIOS BANGELIŲ TRANSFORMACIJOS (DBT) | 9 |
| 1.1. BENDROSIOS BANGELIŲ SAVYBĖS..... | 9 |
| 1.2. HAAR BANGELĖS IR JŲ SPECIFIKA..... | 12 |
| 1.3. DISKREČIOJI HAAR TRANSFORMACIJA (HT) IR JOS RADIMAS | 14 |
| 1.3.1. VIENMATIS ATVEJIS | 14 |
| 1.3.2. DVIMATIS ATVEJIS..... | 18 |
| 1.4. MODIFIKUOTAS DISKREČIOSIOS HT GREITO APSKAIČIAVIMO ALGORITMAS ANDREWS | 19 |
| 1.5. DISKRETUSIS HAAR SPEKTRAS IR JO SAVYBĖS..... | 22 |
| 2. GREITO HT APSKAIČIAVIMO VAIZDO FRAGMENTAMS PROCEDŪROS IR JŲ ANALIZĖ | 23 |
| 2.1. VAIZDO FRAGMENTŲ IDENTIFIKAVIMAS..... | 24 |
| 2.2. REKURENTINIS FRAGMENTINIO HT SPEKTRO RADIMO ALGORITMAS | 25 |
| 2.3. MODIFIKUOTA VERSIJA | 26 |
| 3. VAIZDO SUSPAUDIMO SPEKTRINĖJE HT SRITYJE METODAS SPIHT | 28 |
| 3.1. PROGRESYVIOJI INFORMACIJOS PERDAVIMO SCHEMA | 29 |
| 3.2. DVEJETAINĖ FORMA IŠREIKŠTŲ ELEMENTŲ PERDAVIMAS..... | 30 |
| 3.3. ELEMENTŲ REIKŠMINGUMO NUSTATYMAS IR RŪŠIAVIMO Į AIBES ALGORITMAS | 31 |
| 3.4. ERDVĖJE ORIENTUOTI MEDŽIAI..... | 32 |
| 3.5. UŽKODAVIMO ALGORITMAS..... | 33 |
| 3.6. DEKODAVIMO ALGORITMAS..... | 35 |
| 4. PROGRAMINĖS REALIZACIJOS YPATUMAI..... | 35 |
| 5. EKSPERIMENTAS IR JO REZULTATŲ ANALIZĖ | 37 |
| 6. IŠVADOS | 47 |
| LITERATŪRA | 48 |
| 1 PRIEDAS. PROGRAMA C++ KALBA | 49 |

LENTELIŲ SĄRAŠAS

| | |
|--|----|
| 3.1 lentelė..... | 31 |
| Svarbiausios informacijos, išreikštos bitais, perdavimo eilės tvarka..... | 31 |
| 5.1 lentelė..... | 38 |
| Vaizdo $X(\mathbf{m1}, \mathbf{m2})$ matrica, kai $N1 = N2 = 1024$ | 38 |
| 5.2 lentelė..... | 39 |
| Spektro $Y(\mathbf{k1}, \mathbf{k2})$ matrica, kai $N1 = N2 = 1024$ | 39 |
| 5.3 lentelė..... | 41 |
| Vaizdo fragmento $X(\mathbf{2}, \mathbf{2})\mathbf{m1}, \mathbf{m2}$ spektro $Y(\mathbf{2}, \mathbf{2})\mathbf{u}, \mathbf{v}$ matrica, gauta 1 būdu | 41 |
| 5.4 lentelė..... | 42 |
| Vaizdo fragmento $X(\mathbf{2}, \mathbf{2})\mathbf{m1}, \mathbf{m2}$ spektro $Y(\mathbf{2}, \mathbf{2})\mathbf{u}, \mathbf{v}$ matrica, gauta 2 būdu | 42 |
| 5.5 lentelė..... | 44 |
| Dviem metodais gauto vaizdo fragmento radimo greičių palyginimas | 44 |
| 5.6 lentelė..... | 44 |
| Vaizdo „lena.bmp“ 256x256 SPIHT efektyvumo tyrimas | 44 |

PAVEIKSLŲ SĄRAŠAS

| | |
|--|----|
| 1.1 pav. Haar bangelės, kai $N = 8$ | 12 |
| 1.2 pav. Andrews algoritmas, kai $N = 8$: (a) HT signalinis grafas; (b) AHT signalinis grafas | 16 |
| 1.3 pav. Modifikuotas Andrews algoritmas, kai $N = 8$: (a) HT signalinis grafas; (b) AHT signalinis grafas | 20 |
| 1.4 pav. Grafinė spektrinių koeficientų interpretacija | 23 |
| 2.1 pav. Vaizdas $X(m_1, m_2)$ ir Haar bangelės, kai $N_1 = N_2 = 8$ | 24 |
| 3.1 pav. Erdvėje orientuotas medis | 33 |
| 4.1 pav. Programos langas | 36 |
| 4.2 pav. Slinkties juosta | 36 |
| 5.1 pav. Vaizdo $X(m_1, m_2)$ grafinis vaizdavimas, kai $N_1 = N_2 = 1024$ | 37 |
| 5.2 pav. Spektro $Y(k_1, k_2)$ grafinis vaizdavimas, kai $N_1 = N_2 = 1024$ | 39 |
| 5.3 pav. Vaizdo fragmento $X(2, 2)m_1, m_2$ grafinis vaizdavimas | 40 |
| 5.4 pav. Vaizdo fragmento $X(2, 2)m_1, m_2$ spektro $Y(2, 2)u, v$ grafinis vaizdavimas, gautas 1 būdu | 41 |
| 5.5 pav. Vaizdo fragmento $X(2, 2)m_1, m_2$ spektro $Y(2, 2)u, v$ grafinis vaizdavimas, gautas 2 būdu | 42 |
| 5.6 pav. „poker.bmp“, kai $N_1 = N_2 = 1024$ | 43 |
| 5.7 pav. „suzuki.bmp“, kai $N_1 = N_2 = 1024$ | 43 |
| 5.8 pav. „rainbow.bmp“, kai $N_1 = N_2 = 1024$ | 43 |
| 5.9 pav. „earth.bmp“, kai $N_1 = N_2 = 1024$ | 43 |
| 5.10 pav. „lena.bmp“, VKP = 0 | 44 |
| 5.11 pav. 1. „lena.bmp“, VKP = 567,09 | 45 |
| 5.12 pav. 2. „lena.bmp“, VKP = 316,76..... | 45 |
| 5.13 pav. 3. „lena.bmp“, VKP = 222,06..... | 45 |
| 5.14 pav. 4. „lena.bmp“, VKP = 89,67 | 45 |
| 5.15 pav. 5. „lena.bmp“, VKP = 1,42..... | 46 |
| 5.16 pav. 7. „lena.bmp“, VKP = 222,06..... | 46 |
| 5.17 pav. 8. „lena.bmp“, VKP = 1,42..... | 46 |
| 5.18 pav. 9. „lena.bmp“, VKP = 174,33..... | 46 |

IVADAS

Vaizdas yra pagrindinė priemonė pateikti grafinėi informacijai. Kuo daugiau jame grafinės informacijos, tuo lengviau šią informaciją įsisavinti, tačiau per didelis kiekis grafinės informacijos be reikalo eikvoja informacinių technologijų resursus bei sulėtina informacijos perdavimo greitį. Siekiant sumažinti grafinės informacijos eikvojamus resursus bei paspartinti informacijos perdavimo greitį, siūloma naudoti vaizdo kodavimo technologijas. Viena šių technologijų yra lokaliai progresyvus vaizdų kodavimas. Jos esmė yra dekodavimo metu gerinti tik pasirinkto vaizdo fragmento kokybę. Taip pat, ši technologija yra neatsiejama nuo diskrečių bangelių transformacijų.

Šiame darbe nagrinėsime labai greitą perėjimo nuo Haar spektro visam vaizdui prie Haar spektro pasirinktam vaizdo fragmentui procedūrą ir gautus rezultatus bei skaičiavimo greitį palyginsime su tiesioginės vaizdo fragmento Haar transformacijos gautais rezultatais ir skaičiavimo greičiu. Taip pat, susipažinsime su Haar bangelių savybėmis ir diskrečiąja Haar transformacija bei greitu jos skaičiavimo algoritmu.

Pasinaudoję SPIHT algoritmu, nagrinėsime vaizdo suspaudimo efektyvumą diskrečiosios Haar transformacijos srityje. Spręsimė Haar transformacijos nesuderinamumo su SPIHT algoritmu problemą, kadangi SPIHT dirba tik su sveikaisiais skaičiais, o Haar diskrečioji transformacija yra sudaryta iš realiųjų skaičių. Tam modifikuosime vieną iš greitų Haar transformacijos algoritmų – Andrews.

Palyginsime Haar transformacijos, rastos naudojant modifikuotą Andrews algoritmą, apskaičiavimo laiką su Haar transformacijos, rastos naudojant nemodifikuotą Andrews algoritmą, laiku.

Pagrindinis darbo tikslas – pratiškai suderinti teoriškai nesuderinamus Haar transformaciją ir SPIHT metodą bei kiek įmanoma efektyviau progresyviai užkoduoti vaizdą.

1. DISKREČIOSIOS BANGELIŲ TRANSFORMACIJOS (DBT)

Diskrečioji bangelių transformacija (DBT) gimė vystant diskrečiąją Furjė transformaciją (DFT), kai pastarojoje buvo pastebėti trūkumai, kurių pagrindinis – lokalizavimo erdveje problema. DBT atsiradimas leido šią problemą išspręsti. DBT metu, apdorojant skaitmeninį signalą, natūraliai suformuojamas kintamo dydžio (mastelio) langas, kuris slenka išilgai laiko (erdvės) ašies. Kiekvienoje lango pozicijoje atliekama transformacija ir tokiu būdu randamas bangelių spektras. Šis procesas kartojamas daug kartų, parenkant trumpesnius ar ilgesnius langus. Galutinis proceso rezultatas yra signalo išraiškų (vaizdavimų pagal dažnį ir laiką) rinkinys.

Kiekvienoje diskrečiosios bangelių transformacijos iteracijoje (DBT) įvesties duomenims (skaitmeniniam signalui) yra naudojama mastelio funkcija, kurios pagalba apskaičiuojama pusė suvidurkintų signalo X reikšmių. Čia N , kur $N = 2^n, n \in \mathbb{N}$, yra signalo x reikšmių skaičius. Gautos reikšmės yra saugomos viršutinėje įvesties vektoriaus iš N elementų dalyje.

Kita pusė skaitmeninio signalo X reikšmių taip pat skaičiuojama kiekviename diskrečiosios bangelių transformacijos žingsnyje. Tam taikoma taip vadinama bangelės funkcija, kurią naudojant randamos signalo X skirtuminės (parodo informacijos pokyčius) reikšmės. Šios reikšmės yra saugomos apatinėje įvesties vektoriaus iš N elementų dalyje.

Sekančios iteracijos metu mastelio ir bangelės funkcijos naudojamos tik suvidurkintoms skaitmeninio signalo X reikšmėms, gautoms prieš tai atliktos iteracijos metu. Iteracija atliekama n kartų, tai yra tol, kol įvesties vektoriuje lieka vienintelė suvidurkinta reikšmė. Atlikus n žingsnių iš skaitmeninio signalo X gaunamas diskrečiųjų bangelių spektras Y . Nesunku pastebėti, kad spektras Y apima sutvarkytą skirtuminių reikšmių rinkinį ir vienintelę suvidurkintą reikšmę (pirmasis vektoriaus Y elementas).

1.1. BENDROSIOS BANGELIŲ SAVYBĖS

Pirmiausia apibrėšime tolydžiąją bangelių transformaciją (TBT), tai yra:

$$\gamma(s, \tau) = f(x) \Psi_{s, \tau}^*(x) dx \quad (1.1)$$

čia žymėjimas $*$ reiškia kompleksinę junginę išraišką. Ši lygtis parodo, kaip funkcija $f(x)$ yra išskaidoma į bazinių funkcijų (bangelių) $\Psi_{s, \tau}(x)$ aibę. Kintamasis s (mastelis) ir

kintamasis τ (poslinkis) yra po bangelių transformacijos gautos koordinatės. Išsamumo dėlei, apibrėšime atvirkštinę bangelių transformaciją, tai yra:

$$f(x) = \iint \gamma(s, \tau) \Psi_{s, \tau}(x) d\tau ds \quad (1.2)$$

Bangelės yra generuojamos iš pagrindinės (motininės) bangelės $\Psi(x)$, naudojant mastelio keitimą bei poslinkį:

$$\Psi_{s, \tau}(x) = \frac{1}{\sqrt{s}} \Psi\left(\frac{x-\tau}{s}\right) \quad (1.3)$$

čia s yra mastelį keičiantis koeficientas, τ – poslinkio koeficientas, o $\frac{1}{\sqrt{s}}$ - energijos normalizavimo koeficientas, atsižvelgiant į skirtingas mastelio koeficiento reikšmes.

Svarbu paminėti, kad (1.1), (1.2) ir (1.3) formulėse bazinės bangelių funkcijos yra neapibrėžtos. Tai yra didžiausias skirtumas tarp bangelių transformacijos ir Furjė ar kitų transformacijų. Bangelių transformacijų teorijoje nagrinėjamos tik bendrosios bangelių ir jų transformacijų savybės. Sudaroma struktūra, kurią naudojant leidžiama pasirinkti bangeles pagal poreikį.

Pagrindinės bangelių savybės yra tinkamumo ir reguliarumo. Būtent šios dvi savybės įtakojo pavadinimo „bangelės“ atsiradimą. Kvadratu integruojama funkcija $\Psi(x)$ tenkina tinkamumo sąlygą, jeigu:

$$\int \frac{|\Psi(\omega)|^2}{|\omega|} d\omega < +\infty \quad (1.4)$$

ši funkcija gali būti panaudota pirma signalo analizavimui, o tada ir jo rekonstravimui, kurios metu duomenys neprarandami. Čia $\Psi(\omega)$ yra funkcijos $\Psi(x)$ Furjė transformacija.

Reguliarumo sąlyga, kuri išplaukia iš (1.1.4) nelygybės, reiškia, kad Furjė transformacija $\Psi(x)$ išnyksta, kai dažnis ω yra lygus nuliui, tai yra:

$$|\Psi(\omega)|^2|_{\omega=0} = 0 \quad (1.5)$$

Ši savybė parodo, kad bangelės privalo turėti dažnių juostą kaip spektre. Taip pat, bangelės pastovioji dedamoji lygi nuliui, tai yra:

$$\int \Psi(x) dx = 0 \quad (1.6)$$

Kitais žodžiais, $\Psi(x)$ privalo būti bangelė.

Iš (1.1) formulės matyti, kad vienmatės funkcijos bangelių transformacija yra dvimatė, dvimatės funkcijos – keturmatė ir taip toliau.

Bangelėms (bangelių funkcijoms) dažnai iškeliamos papildomos sąlygos, kurios pagerina bangelių skleidinių konvergavimo greitį. Šios sąlygos susijusios su bangelių reguliarumo savybe. Ši savybė yra tarsi reikalavimas, kad bangelė būtų pakankamai glodi ir sukoncentruota laiko bei dažnių srityse. Reguliarumo savybė yra gana sudėtinga sąvoka. Tam, kad šią sąvoką paaiškintume ir tinkamai interpretuotume, pasinaudosime nykstančiais pradiniais momentais.

Jeigu, paprastumo dėlei, prilygintume $\tau = 0$ ir bangelių transformaciją (1.1) išskleistume Teiloro eilute taško $x = 0$ aplinkoje, gautume:

$$\gamma(s, 0) = \frac{1}{\sqrt{s}} \left[\sum_{p=0}^n f^{(p)}(0) \int \frac{t^p}{p!} \Psi\left(\frac{x}{s}\right) dt + O(n+1) \right] \quad (1.7)$$

čia $f^{(p)}$ yra p – toji funkcijos f išvestinė, o $O(n+1)$ yra skleidinio liekamasis narys. Pažymėję bangelės momentus M_p šitaip:

$$M_p = \int t^p \Psi(x) dt \quad (1.8)$$

galime perrašyti (1.7) išraišką taip:

$$\gamma(s, 0) = \frac{1}{\sqrt{s}} \left[f(0)M_0s + \frac{f^{(1)}(0)}{1!}M_1s^2 + \frac{f^{(2)}(0)}{2!}M_2s^3 + \dots + \frac{f^{(n)}(0)}{n!}M_ns^{n+1} + O(s^{n+2}) \right] \quad (1.9)$$

Iš tinkamumo sąlygos turime, kad $M_0 = 0$, taigi, pirmasis (1.9) išraiškos narys taip pat bus lygus nuliui. Jeigu ir kitus momentus M_n , kur $n = 1, 2, \dots, N; n \in N; N$ – momentų skaičius, padarytume lygus nuliui, tuomet tolydžiam signalui $f(x)$ bangelių transformacijos koeficientai $\gamma(s, \tau)$ sloptų greičiu $s^n + 2$. Toki momentai yra vadinami nykstančiais momentais. Jų reikšmės ne būtinai turi būti lygios nuliui, dažniausiai užtenka, kad šios reikšmės būtų artimos nuliui.

Apibendrinus bangelių savybes, galima teigti, kad tinkamumo sąlygos įvykdymas itakoja bangelės svyravimus, o reguliarumo sąlygos įvykdymas ir nykstantys momentai – greitesnį bangelių skleidinių konvergavimą.

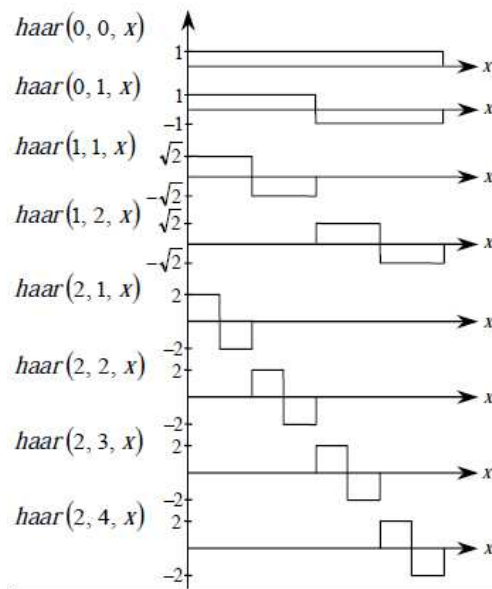
1.2. HAAR BANGELĖS IR JŲ SPECIFIKA

Haar bangelės pripažįstamos kaip pirmosios žinomos bangelės ir yra vienos iš paprasčiausių bangelių, lyginant su kitomis. Dažniausiai jos naudojamos kaip prototipas visoms kitoms bangelių rūšims. Haro bangelių ortogonalinė sistema apibrėžiama taip:

$$haar(0,0,x) = 1; \tag{1.10}$$

$$haar(r,m,x) = \begin{cases} 2^{\frac{r}{2}}, & \frac{m-1}{2^r} \leq x < \frac{m}{2^r} \\ -2^{\frac{r}{2}}, & \frac{m-1}{2^r} \leq x < \frac{m}{2^r} \\ 0, & \text{kitu atveju} \end{cases} \tag{1.11}$$

su visais visais $r = 0, 1, \dots, \log_2(N - 1)$ ir $m = 1, 2, \dots, 2^r$; $x \in [0; 1)$.



1.1 pav. Haar bangelės, kai $N = 8$

Be to, pastebėkime, kad Haar motininės bangelės funkciją $\psi(x)$ galima užrašyti šitaip:

$$\psi(x) = \begin{cases} 1, & 0 \leq x < \frac{1}{2}, \\ -1, & \frac{1}{2} \leq x < 1, \\ 0, & \text{kitu atveju} \end{cases} \quad (1.12)$$

Tuo tarpu, Haar mastelio funkciją $\varphi(x)$ turi tokį pavidalą:

$$\varphi(x) = \begin{cases} 1, & 0 \leq x < 1, \\ 0, & \text{kitu atveju} \end{cases} \quad (1.13)$$

Motininės bangelės ir mastelio funkcijos turi tokias savybes:

1. Bet kuri funkcija gali būti aproksimuota tiesiniais funkcijų $\varphi(x)$, $\varphi(2x)$, ..., $\varphi(2^k x)$ ir $\psi(x)$, $\psi(2x)$, ..., $\psi(2^k x)$ dariniais.
2. Išpildoma ortogonalumo sąlyga, tai yra:

$$\int_{-\infty}^{\infty} 2^m \psi(2^m x - n) \psi(2^{m_1} x - n_1) dt = \delta_{m, m_1} \delta_{n, n_1} \quad (1.14)$$

$$\text{čia } \delta_{ij} = \begin{cases} 1, & i = j \\ 0, & i \neq j \end{cases} \quad (1.15)$$

$$3. \varphi(x) = \varphi(2x) + \varphi(2x - 1) \text{ ir } \psi(x) = \varphi(2x) - \varphi(2x - 1) \quad (1.16; 1.17)$$

Aptarsime funkcijų $f(x)$ skleidinius ortogonalios Haar funkcijų sistemos (1.10 ir 1.11) atžvilgiu. Šiuose skleidiniuose informacija lokalizuojama ir pagal dažnį, ir erdvėje. Paimkime funkciją $f(x)$, $x \in [0; 1)$ ir užrašykime ją Furjė eilute Haar funkcijų sistemos $\{haar(r, m, x)\}$ atžvilgiu. Pirmiausia, įveskime tokį pažymėjimą:

$$i = 2^r + m \quad (1.18)$$

Imdami vieną indeksą vietoje dviejų, gausime sistemą $\{haar(i, x)\}$, kur $i = 1, 2, \dots$; $x \in [0; 1)$. Tada Haar skleidinys funkcijai $f(x)$ bus toks:

$$f(x) = d_1 haar(1, x) + d_2 haar(2, x) + d_3 haar(3, x) + \dots = \sum_{i=1}^{\infty} d_i haar(i, x) \quad (1.19)$$

čia d_i žymi skleidinio koeficientus, kurie randami pagal formulę:

$$d_i = \int_0^1 f(x) \text{haar}(i, x) dx, \quad i = 1, 2, \dots \quad (1.20)$$

Haro skleidinį (1.1.10) galima užrašyti kitokia forma. Tam įvesime tokius pažymėjimus: $\varphi(x) = \text{haar}(0,0,x)$ ir $\psi(x) = \text{haar}(0,1,x)$, kur $x \in [0; 1)$. Tuomet Haar skleidinys bus toks:

$$f(x) = a_0 + a_{00}\psi(x) + a_{10}\psi(2x) + a_{11}\psi(2x - 1) + a_{20}\psi(4x) + a_{21}\psi(4x - 1) + a_{22}\psi(4x - 2) + a_{23}\psi(4x - 3) + a_{30}\psi(8x) + \dots = a_0 + \sum_{r=0}^{\infty} \sum_{m=0}^{2^r-1} a_{rm} \psi(2^r x - m) \quad (1.21)$$

su visais $r = 0, 1, 2, \dots$ ir $m = 0, 1, \dots, 2^r - 1$. Čia a_0 ir a_{rm} yra Haar koeficientai, kur $a_0 = d_1$, o $a_{rm} = d_{2^{r+k+1}}$.

Matome, kad visos Haar funkcijos sistemoje $\{\text{haar}(i, x)\}$, kur $i = 1, 2, \dots; x \in [0; 1)$, pradedant antrąja, gali būti generuojamos motininei Haar bangelei $\psi(x) = \text{haar}(0,1,x)$, $x \in [0; 1)$, pritaikius diadinius suspaudimus bei sveikaskaitinius poslinkius išilgai x ašies.[1]

Haar eilutės dalinė suma

$$S_n''(x) = a_0 + \sum_{r=0}^n \sum_{m=0}^{2^r-1} a_{rm} \psi(2^r x - m) \quad (1.22)$$

yra funkcijos (signalo) $f(x)$ aproksimacija, kuri įvertina ne žemesnės kaip 2^{-n} eilės detales.

Haar eilutės puikiai lokalizuotos erdvėje. Tarkim, kad reikia iširti atkarpą $[a, b] \subset [0; 1)$. Tam užtenka paimti ir nagrinėti tik tuos Haar skleidinio (1.21) koeficientus a_{rm} , kurių indeksai r ir m išpildo sąlygą

$$I_{rm} = [2^{-r}m; 2^{-r}(m+1)] \cap [a, b] \neq \emptyset \quad (1.23)$$

tai yra, su kuriais Haar bangelė $\psi(2^r x - m)$ tapačiai nelygi nuliui atkarpoje $[a, b]$.

Lokalizavimo erdvėje savybė labai supaprastina spektrinę funkcijų (fizikinių signalų, realaus pasaulio vaizdų ir panašiai) analizę, daro ją efektyvesne.[1]

1.3. DISKREČIOJI HAAR TRANSFORMACIJA (HT) IR JOS RADIMAS

1.3.1. VIENMATICIS ATVEJIS

Tarkime, turime vektorių $X = [X(m)] = (X(0)X(1) \dots X(N-1))^T$, kur $N = 2^n$, $n \in \mathbb{N}$. Diskrečioji Haar transformacija (HT) šiam vektoriui apibrėžiama tokiu būdu:

$$Y_X = (Y(0)Y(1) \dots Y(N-1))^T = \frac{1}{N} H(n) \cdot X \quad (1.24)$$

čia vektorių Y_X yra vektoriaus X HT spektras, o $H(n)$ – HT matrica, kurios matmenys $N \times N$. Ji gaunama diskretizuojant Haar funkcijų aibę $\{haar(r, m, x)\}$, tai yra, funkcijas (1.10) ir (1.11). Pavyzdžiui, kai $N = 8$, tai HT matrica $H(3)$ įgaus tokį pavidalą:

$$H(3) = \begin{pmatrix} 1 & 1 & 1 & 1 & 1 & 1 & 1 & 1 \\ 1 & 1 & 1 & 1 & -1 & -1 & -1 & -1 \\ \sqrt{2} & \sqrt{2} & -\sqrt{2} & -\sqrt{2} & 0 & 0 & 0 & 0 \\ 0 & 0 & 0 & 0 & \sqrt{2} & \sqrt{2} & -\sqrt{2} & -\sqrt{2} \\ 2 & -2 & 0 & 0 & 0 & 0 & 0 & 0 \\ 0 & 0 & 2 & -2 & 0 & 0 & 0 & 0 \\ 0 & 0 & 0 & 0 & 2 & -2 & 0 & 0 \\ 0 & 0 & 0 & 0 & 0 & 0 & 2 & -2 \end{pmatrix} \begin{matrix} \left. \vphantom{\begin{matrix} 1 \\ 1 \\ \sqrt{2} \\ 0 \\ 2 \\ 0 \\ 0 \\ 0 \end{matrix}} \right\} \frac{N}{2} \\ \left. \vphantom{\begin{matrix} 1 \\ 1 \\ \sqrt{2} \\ 0 \\ 2 \\ 0 \\ 0 \\ 0 \end{matrix}} \right\} \frac{N}{4} \end{matrix} \quad (1.25)$$

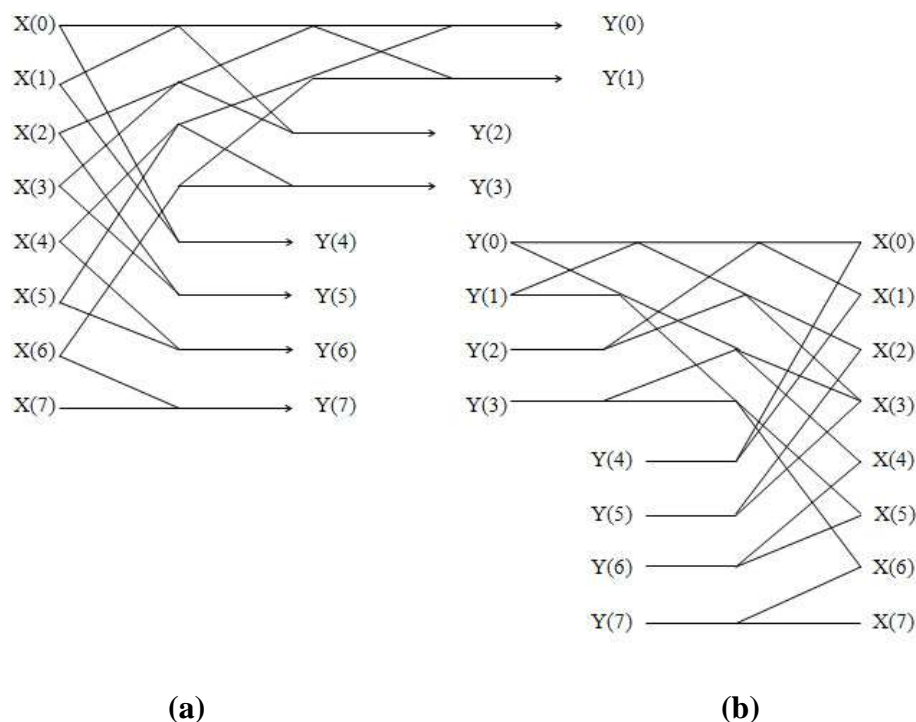
Iš $H(3)$ matricos matome, kad $N/2$ Haar transformacijos koeficientų atitinka gretimų duomenų vektoriaus elementų koreliaciją, tai reiškia, kad skaičiuojant šiuos koeficientus yra įvertinamos tik dviejų gretimų vektoriaus X elementų reikšmės. $N/4$ Haar transformacijos koeficientų – keturių gretimų vektoriaus X elementų reikšmės ir taip toliau, iki N/N koeficientų, kuriuos skaičiuojant yra atsižvelgiama į visas vektoriaus X elementų reikšmes. Taigi, galima teigti, kad HT turi lokališkumo savybę – kuo didesnis HT koeficiento eilės numeris, tuo mažesni vektoriaus X plotą jis apima.

Apibrėšime atvirkštinę Haar transformaciją (AHT). Kadangi $H^T(n) \cdot H(n) = N \cdot E(n)$, tai (AHT) apibrėžiama tokia lygybe:

$$X = H^T(n) \cdot Y_X \quad (1.26)$$

Iš lygybių (1.24) ir (1.26) matyti, kad duomenų vektoriaus X vaizdavimas Haar funkcijomis yra vienareikšmis.

Praktikoje Haar spektro radimui tiesioginis skaičiavimas naudojamas labai retai, nes jis užima per daug laiko. Spektro radimo laikui sutrumpinti yra sudaryti greiti HT algoritmai. Vienas iš jų yra Andrews algoritmas. Šio algoritmo veikimas pagrįstas $H(n)$ matricos struktūros analize. Signaliniai Andrews algoritmo grafai, kai $N = 8$, atrodo šitaip:



1.2 pav. Andrews algoritmas, kai $N = 8$: (a) HT signalinis grafas; (b) AHT signalinis grafas

Remiantis Andrews algoritmo signaliniais grafais (1.2 pav.) ir matricų faktorizavimu, tiesioginę HT transformaciją vektoriui X , kai $N = 8$, galime užrašyti taip:

$$Y_X = \frac{1}{8} H(3) \cdot X = \frac{1}{8} F_1(3) \cdot F_2(3) \cdot F_3(3) \cdot X = \frac{1}{8} \prod_{i=1}^3 F_i(3) \cdot X \quad (1.27)$$

čia:

$$F_1(3) = \text{diag} \left(\begin{pmatrix} 1 & 1 \\ 1 & 1 \end{pmatrix}, \sqrt{2}, \sqrt{2}, \sqrt{2}, \sqrt{2}, \sqrt{2}, \sqrt{2} \right) \quad (1.28)$$

$$F_2(3) = \text{diag} \left(\begin{pmatrix} 1 & 1 & 0 & 0 \\ 0 & 0 & 1 & 1 \\ 1 & -1 & 0 & 0 \\ 0 & 0 & 1 & -1 \end{pmatrix}, \sqrt{2}, \sqrt{2}, \sqrt{2}, \sqrt{2} \right) \quad (1.29)$$

$$F_3(3) = \text{diag} \begin{pmatrix} 1 & 1 & 0 & 0 & 0 & 0 & 0 & 0 \\ 0 & 0 & 1 & 1 & 0 & 0 & 0 & 0 \\ 0 & 0 & 0 & 0 & 1 & 1 & 0 & 0 \\ 0 & 0 & 0 & 0 & 0 & 0 & 1 & 1 \\ 1 & -1 & 0 & 0 & 0 & 0 & 0 & 0 \\ 0 & 0 & 1 & -1 & 0 & 0 & 0 & 0 \\ 0 & 0 & 0 & 0 & 1 & -1 & 0 & 0 \\ 0 & 0 & 0 & 0 & 0 & 0 & 1 & -1 \end{pmatrix} \quad (1.30)$$

Ketrios viršutinės matricos $F_3(3)$ eilutės yra žemo dažnio filtrai, o ketrios apatinės – aukšto dažnio filtrai.

Žemiau pateiksime formalizuotą Andrew's algoritmo aprašą. Duomenų vektorių X užrašysime šitaip:

$$X = (X(0)X(1) \dots X(N-1))^T = (S^{(0)}(0) S^{(0)}(1) \dots S^{(0)}(2^n - 1))^T = (O(0) E(0) O(1) E(1) \dots O(2^{n-1} - 1) E(2^{n-1} - 1))^T \quad (1.31)$$

čia $O(j)$ yra lyginiai duomenų vektoriaus X elementai, o $E(j)$ – nelyginiai; n – iteracijų skaičius, reikalingas atlikti transformacijai.

Atlikę pirmąją iteraciją, gausime tokį vektorių:

$$Y^{(1)} = (S^{(1)}(0), S^{(1)}(1), \dots, S^{(1)}(2^{n-1} - 1), D^{(1)}(0), D^{(1)}(1), \dots, D^{(1)}(2^{n-1} - 1))^T \quad (1.32)$$

$$\text{čia } S^{(i)}(k) = O^{(i-1)}(k) + E^{(i-1)}(k) \text{ ir } D^{(i)}(k) = O^{(i-1)}(k) - E^{(i-1)}(k). \quad (1.33; 1.34)$$

su visais $k = 0, 1, \dots, 2^{n-1} - 1$.

Procedūros metu, $S(k)$ reikšmes naudojame kaip tarpinį duomenų vektorių. Po i -tosios ($i \in \{1, 2, \dots, n-1\}$) iteracijos vektorius bus toks:

$$Y^{(i)} = (S^{(i)}(0), S^{(i)}(1), \dots, S^{(i)}(2^{n-1} - 1), D^{(i)}(0), D^{(i)}(1), \dots, D^{(i)}(2^{n-1} - 1))^T \quad (1.35)$$

Atlikę visas n iteracijų, gausime vektorių $Y^{(n)}$. Gautasis vektorius vadinamas Haar spektru ir apibūžiamas šitaip:

$$Y = (S^{(n)}(0), D^{(n)}(0), D^{(n-1)}(0), D^{(n-1)}(1), D^{(n-2)}(0), \dots, D_0^{(1)}(0), D^{(1)}(1), \dots, D^{(1)}(2^{n-1} - 1))^T \quad (1.36)$$

Pastebėkime, kad viršutiniuose skliausteliuose įrašyti skaičiai žymi iteraciją, kurios metu gaunama atitinkamo vektoriaus elemento reikšmė.

1.3.2. DVIMATIS ATVEJIS

Tarkime, turime $N_1 \times N_2$ matmenų matricą $X = [X(m_1, m_2)]$, kur $\forall m_i \in \{0, 1, \dots, N_i - 1\}$, $N_i = 2^{n_i}$, $n_i \in N_i$, $i = 1, 2$, tai yra:

$$X = \begin{pmatrix} X(0, 0) & X(0, 1) & X(0, 2) & \dots & X(0, N_2 - 1) \\ X(1, 0) & X(1, 1) & X(1, 2) & \dots & X(1, N_2 - 1) \\ X(2, 0) & X(2, 1) & X(2, 2) & \dots & X(2, N_2 - 1) \\ \dots & \dots & \dots & \dots & \dots \\ X(N_1 - 1, 0) & X(N_1 - 1, 1) & X(N_1 - 1, 2) & \dots & X(N_1 - 1, N_2 - 1) \end{pmatrix} \quad (1.37)$$

Dvimačiu atveju Haar transformacija (HT) apibrėžiama taip:

$$[Y(k_1, k_2)] = H(n_1) \cdot [X(m_1, m_2)] \cdot H^T(n_2), \quad (1.38)$$

o atvirkštinė Haar transformacija (AHT) šitaip:

$$[X(m_1, m_2)] = H^T(n_1) \cdot [Y(k_1, k_2)] \cdot H(n_2) \quad (1.39)$$

čia $k_i, m_i \in \{0, 1, \dots, N_i - 1\}$; $n_i = \log_2 N_i$; $i = 1, 2$.

Matome, kad dvimatis transformacijas galima atlikti panaudojant vienmatę transformaciją $N_1 + N_2$ kartų. Kaip minėjome anksčiau, praktikoje Haar spektro radimui tiesioginis skaičiavimas naudojamas labai retai, todėl, kad jį rastume, pasinaudosime Andrews algoritmu (žr. 1.3.1. skyrių).

Pirmiausia šį algoritmą taikysime kiekvienam matricos X stulpeliui (analogiškai, kaip vienmačiu atveju) ir gausime perėjimo matricą $T = [T(l_1, l_2)]$, kur $\forall l_i \in \{0, 1, \dots, N_i - 1\}$, $N_i = 2^{n_i}$, $n_i \in N_i$, $i = 1, 2$, tai yra:

$$T = \begin{pmatrix} T(0,0) & T(0,1) & T(0,2) & \dots & T(0,N_2-1) \\ T(1,0) & T(1,1) & T(1,2) & \dots & T(1,N_2-1) \\ T(2,0) & T(2,1) & T(2,2) & \dots & T(2,N_2-1) \\ \dots & \dots & \dots & \dots & \dots \\ T(N_1-1,0) & T(N_1-1,1) & T(N_1-1,2) & \dots & T(N_1-1,N_2-1) \end{pmatrix} \quad (1.40)$$

čia kiekvienas matricos $[T(l_1, l_2)]$ stulpelis yra lygus atitinkamai matricos $[X(m_1, m_2)]$ stulpelio transformacijai (1.36). Toliau Andrews algoritmą taikysime kiekvienai perėjimo matricos T eilutei (analogiškai, kaip vienmačiu atveju) ir gausime Haar spektrą, tai yra:

$$Y = \begin{pmatrix} Y(0,0) & Y(0,1) & Y(0,2) & \dots & Y(0,N_2-1) \\ Y(1,0) & Y(1,1) & Y(1,2) & \dots & Y(1,N_2-1) \\ Y(2,0) & Y(2,1) & Y(2,2) & \dots & Y(2,N_2-1) \\ \dots & \dots & \dots & \dots & \dots \\ Y(N_1-1,0) & Y(N_1-1,1) & Y(N_1-1,2) & \dots & Y(N_1-1,N_2-1) \end{pmatrix} \quad (1.41)$$

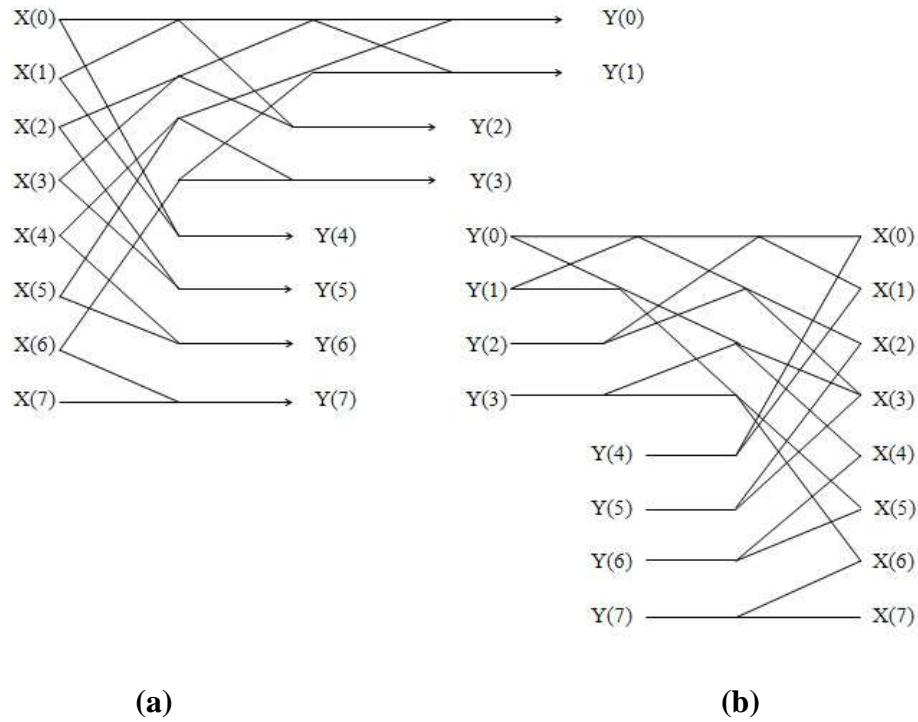
čia kiekviena matricos $[Y(k_1, k_2)]$ eilutė yra lygi atitinkamai matricos $[T(l_1, l_2)]$ eilutės transformacijai (1.36).

Taigi, pritaikius Andrews algoritmą $N_1 + N_2$ kartų (pirmiausia stulpeliams, po to eilutėms), galima atlikti dvimatę Haar transformaciją.

1.4. MODIFIKUOTAS DISKREČIOSIOS HT GREITO APSKAIČIAVIMO ALGORITMAS ANDREWS

1.3.1. skyrelyje aprašytas vienas iš diskrečiajai Haar transformacijai rasti skirtų greito apskaičiavimo algoritmų – Andrews. Nors šio algoritmo dėka Haar spektrą galime rasti greičiau, negu naudodami tiesioginį skaičiavimą, tačiau nepakankamai greitai. Verta pastebėti, kad yra galimybė Andrews algoritmą pagreitinti dar labiau.

Pateikiame signalinius modifikuoto Andrews algoritmo grafus, kai $N = 8$:



1.3 pav. Modifikuotas Andrews algoritmas, kai $N = 8$: (a) HT signalinis grafas; (b) AHT signalinis grafas

Palyginame modifikuoto Andrews algoritmo signalinį grafą su anksčiau pateiktu Andrews algoritmo signaliniu grafu (žr. 1.2 pav.) ir pastebime tokius skirtumus:

1. Modifikuotame Andrews algoritme pašalintas normavimas, tai yra, daugyba iš koeficiento $\sqrt{2}$. Remdamiesi 1.3.1. skyrelyje pateiktais samprotavimais, formules (1.28), (1.29) ir (1.30) galime užrašyti tokiu būdu:

$$F_1(3) = \text{diag} \left(\begin{pmatrix} 1 & 1 \\ 1 & 1 \end{pmatrix}, 1, 1, 1, 1, 1, 1 \right) \quad (1.42)$$

$$F_2(3) = \text{diag} \left(\begin{pmatrix} 1 & 1 & 0 & 0 \\ 0 & 0 & 1 & 1 \\ 1 & -1 & 0 & 0 \\ 0 & 0 & 1 & -1 \end{pmatrix}, 1, 1, 1, 1 \right) \quad (1.43)$$

$$F_3(3) = \text{diag} \begin{pmatrix} 1 & 1 & 0 & 0 & 0 & 0 & 0 & 0 \\ 0 & 0 & 1 & 1 & 0 & 0 & 0 & 0 \\ 0 & 0 & 0 & 0 & 1 & 1 & 0 & 0 \\ 0 & 0 & 0 & 0 & 0 & 0 & 1 & 1 \\ 1 & -1 & 0 & 0 & 0 & 0 & 0 & 0 \\ 0 & 0 & 1 & -1 & 0 & 0 & 0 & 0 \\ 0 & 0 & 0 & 0 & 1 & -1 & 0 & 0 \\ 0 & 0 & 0 & 0 & 0 & 0 & 1 & -1 \end{pmatrix} \quad (1.44)$$

Iš formulės (1.27) matyti, kad pasikeitus matricoms $F_i(n)$, kur $i = 1, 2, \dots, n$, taip pat keičiasi ir matrica $H(n)$. Pasikeitusios $H(n)$ matricos išraiška yra tokia:

$$H(3) = \begin{pmatrix} 1 & 1 & 1 & 1 & 1 & 1 & 1 & 1 \\ 1 & 1 & 1 & 1 & -1 & -1 & -1 & -1 \\ 1 & 1 & -1 & -1 & 0 & 0 & 0 & 0 \\ 0 & 0 & 0 & 0 & 1 & 1 & -1 & -1 \\ 1 & -1 & 0 & 0 & 0 & 0 & 0 & 0 \\ 0 & 0 & 1 & -1 & 0 & 0 & 0 & 0 \\ 0 & 0 & 0 & 0 & 1 & -1 & 0 & 0 \\ 0 & 0 & 0 & 0 & 0 & 0 & 1 & -1 \end{pmatrix} \left. \begin{array}{l} \left. \right\} \frac{N}{2} \\ \left. \right\} \frac{N}{4} \end{array} \right) \quad (1.45)$$

Kadangi ši matrica yra gauta diskretizuojant Haar funkcijų aibę $\{haar(r, m, x)\}$, tai yra, funkcijas (1.10) ir (1.11), tai šioms funkcijoms taip pat turėtų įsigalioja pakeitimai. Kadangi funkcijos (1.10) reikšmė yra konstanta, tai ši funkcija išlieka nepakitusi, todėl užrašysime tik pakitusią funkciją, tai yra, (1.11):

$$haar(r, m, x) = \begin{cases} 2^{\frac{r}{2}}, & \frac{m-1}{2^r} \leq x < \frac{m-\frac{1}{2}}{2^r} \\ -2^{\frac{r}{2}}, & \frac{m-\frac{1}{2}}{2^r} \leq x < \frac{m}{2^r} \\ 0, & \text{kitu atveju} \end{cases} \quad (1.46)$$

Taigi, po normavimo pašalinimo, vienmačiu atveju daugybos veiksmų sumažėja skaičiumi $N - 2$ (dviejų pirmųjų spektro koeficientų norma prieš normavimo pašalinimą buvo lygi vienetui). Dvimačiu atveju daugybos veiksmų skaičius sumažėja $(N_1 - 2)N_2 + (N_2 - 2)N_1$. Kadangi sumažinome veiksmų skaičių, kurį reikia atlikti Haar transformacijos metu, todėl modifikuotas Andrews algoritmas turėtų veikti greičiau už anksčiau pristatytą Andrews algoritmą (žr. 1.2 pav.).

Pašalinus normavimą, atsiranda ir keletas trūkumų. Vienas iš jų yra tas, kad negalime rasti atvirkštinės diskrečiosios Haar transformacijos naudodami tiesioginį skaičiavimo būdą, tai yra, pagal formulę 1.26. Kitas trūkumas – prarandama diskrečiojo Haar spektro lokalizavimo erdvėje savybė, tai yra, tampa nebeįmanoma iš spektro atkurti pasirinkto vaizdo fragmento (žr. 1.5 skyrelį).

2. Modifikuotame Andrews algoritme pašalinta dalyba iš vektoriaus elementų skaičiaus N . Iš šiame ir 1.3.1. skyreliuose pateiktų samprotavimų išplaukia, kad formulės (1.24) ir (1.27) keičiasi atitinkamai į tokias:

$$Y_X = (Y(0)Y(1) \dots Y(N-1))^T = H(n) \cdot X \quad (1.47)$$

$$Y_X = H(3) \cdot X = F_1(3) \cdot F_2(3) \cdot F_3(3) \cdot X = \prod_{i=1}^3 F_i(3) \cdot X \quad (1.48)$$

Taigi, po antrosios modifikacijos, vienmačiu atveju dalybos veiksmų sumažėja skaičiumi N , o dvimačiu atveju - skaičiumi $N_1 \times N_2$. Dvimačiu atveju toks veiksmų skaičiaus sumažėjimas gaunamas todėl, kad dalybos veiksmai gali būti atliekami algoritmo pabaigoje, tai yra, kai jau surastas spektras. Kadangi po šios modifikacijos veiksmų, kuriuos reikia atlikti Haar transformacijos metu, skaičių dar labiau sumažinome, tai toks Andrews algoritmas turėtų veikti dar greičiau: tiek lyginant su algoritmu, modifikuotu šio skyrelio 1 dalyje, tiek ir su Andrews algoritmu prieš atliekant modifikavimą (žr. 1.2 pav.).

Nepaisant modifikuoto Andrews algoritmo privalumų ir trūkumų, kurie išvardinti aukščiau šiame skyrelyje, gavome vieną svarbią savybę: Haar spektras, rastas panaudojus šį algoritmą, sudarytas tik iš sveikųjų skaičių. Tariant kitais žodžiais, visi spektro matricos $Y(k_1, k_2)$ elementai priklauso sveikųjų skaičių aibei Z , tai yra, $Y(k_1, k_2) \in Z$ su $\forall k_i \in \{0, 1, \dots, N_i - 1\}$, $N_i = 2^{n_i}$, $n_i \in N_i$, $i = 1, 2$.

1.5. DISKRETUSIS HAAR SPEKTRAS IR JO SAVYBĖS

Paimkime dvimatę matricą, kurios matmenys yra $N_1 \times N_2$ ir pažymėkime ją $[X(m_1, m_2)]$, kur $\forall m_i \in \{0, 1, \dots, N_i - 1\}$, $N_i = 2^{n_i}$, $n_i \in N_i$, $i = 1, 2$. Tarkime, kad $[Y(k_1, k_2)]$, kur $\forall k_i \in \{0, 1, \dots, N_i - 1\}$, $i = 1, 2$ yra vaizdo $[X(m_1, m_2)]$ diskretusis Haar spektras, tai yra, transformacijos metu į ortogonaliasias funkcijas išskaidytas vaizdas $[X(m_1, m_2)]$.

Kiekvienas spektrinis koeficientas $Y(k_1, k_2)$ turi tokias savybes:

1. Bet kurį k_i galime užrašyti tokiu būdu:

$$k_i = 2^{n_i - s_i} + l_i \quad (1.49)$$

kur $l_i \in \{0, 1, \dots, 2^{n_i - s_i} - 1\}$, $i = 1, 2$. Spektrinis koeficientas $Y(k_1, k_2)$ yra susijęs su tokiu vaizdo fragmentu:

$$[X^{(k_1, k_2)}(m_1, m_2) | (m_1, m_2) \in V_{k_1} \times V_{k_2}] \quad (1.50)$$

čia $V_{k_i} = \{l_i \cdot 2^{s_i}, l_i \cdot 2^{s_i} + 1, \dots, (l_i + 1) \cdot 2^{s_i} - 1\}$, $i = 1, 2$. Taigi, koeficiento $Y(k_1, k_2)$ reikšmė apibrėžiama vaizdo fragmentu X_{k_1, k_2} , o tai yra lokalizavimas erdvėje.

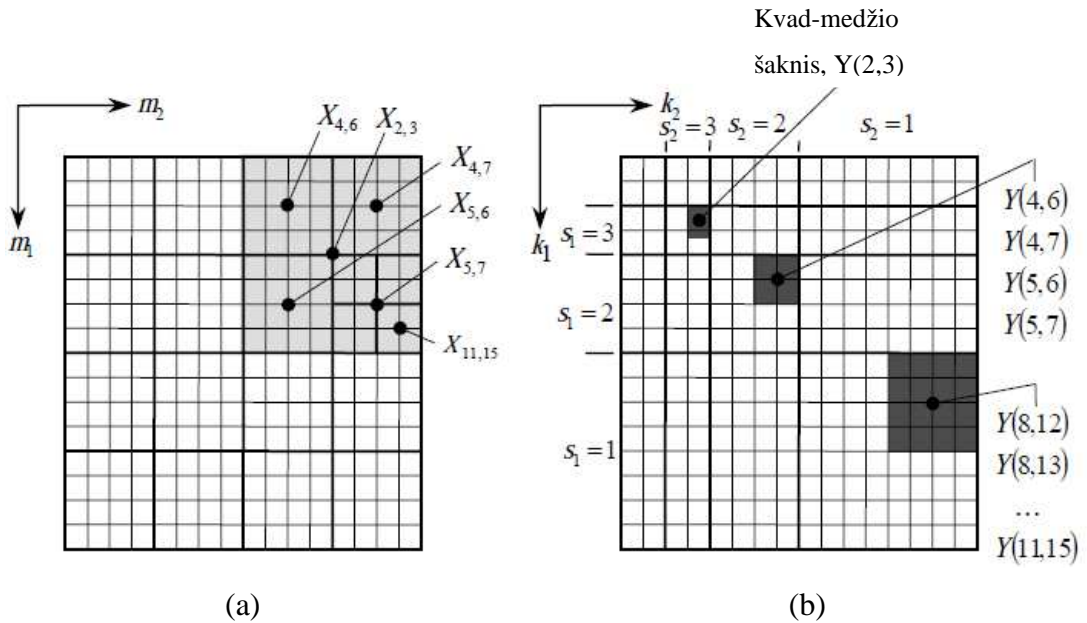
2. Jeigu $s_1 > 1$ ir $s_2 > 1$, tada koeficientui $Y(k_1, k_2)$ galima priskirti kvad-medį, kurio spektriniai koeficientai (viršūnės) aprašomi tokia aibe:

$$\left\{ Y(k_1^*, k_2^*) \mid (k_1^*, k_2^*) \in \bigcup_{t=1}^{\min\{s_1-1, s_2-1\}} (\tau_{k_1}(t) \times \tau_{k_2}(t)) \right\} \quad (1.51)$$

$$\text{čia } \tau_{k_i}(t) = \{2^t \cdot k_i, 2^t \cdot k_i + 1, \dots, 2^t(k_i + 1) - 1\}, \quad t = 1, 2, \dots, s_i - 1, \quad i = 1, 2 \quad (1.52)$$

Koeficientas $Y(k_1, k_2)$ vadinamas kvad-medžio šaknimi.

Pateiksime grafinę šių savybių interpretaciją, kai $N_1 = N_2 = 16$

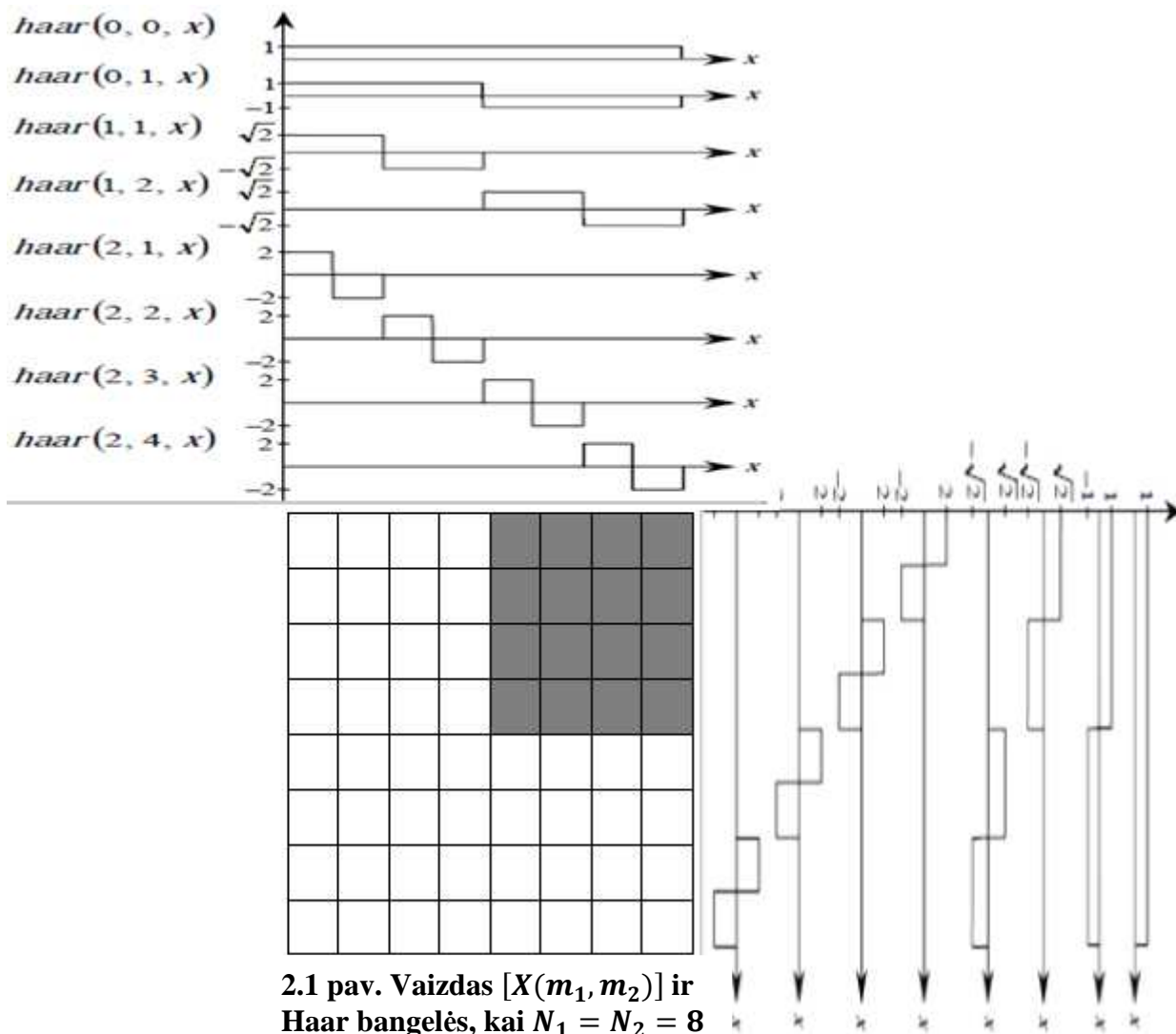


1.4 pav. Grafinė spektrinių koeficientų interpretacija: (a) vaizdas $[X(m_1, m_2)]$; koeficientas (kvad-medžio šaknis) $Y(2, 3)$ yra susijęs su vaizdo fragmentu $X_{2,3}$; (b) spektras $[Y(k_1, k_2)]$; koeficientui $Y(2, 3)$ priskirtas kvad-medis $(\tau_2 = \tau_2(1) \cup \tau_2(2) = \{4, 5, 8, 9, 10, 11\}$ ir $\tau_3 = \tau_3(1) \cup \tau_3(2) = \{6, 7, 12, 13, 14, 15\})$

2. GREITO HT APSKAIČIAVIMO VAIZDO FRAGMENTAMS PROCEDŪROS IR JŲ ANALIZĖ

2.1. VAIZDO FRAGMENTŲ IDENTIFIKAVIMAS

Turime Haar funkcijų aibę $\{har(r_i, m_i, x)\}$, kur $x \in [0,1)$, $i = 1, 2$, tai yra, funkcijas (1.10) ir (1.11). Pavaizduosime, kaip iš skaitmeninio vaizdo $[X(m_1, m_2)]$ išrenkamas jo fragmentas $[X^{(k_1, k_2)}(m_1, m_2)]$.



2.1 pav. Vaizdas $[X(m_1, m_2)]$ ir Haar bangelės, kai $N_1 = N_2 = 8$

Paimkime aibę $c_i = \{0, 1, \dots, N_i - 1\}$, $i = 1, 2$. Kiekvienai Haar bangelei, pradedant nuo $har(0,0, x)$, priskirkime aibės c_i elementą tokiu būdu:

$har(0,0, x)$ yra pirmasis aibės c_i elementas;

$har(0,1, x)$ yra antrasis aibės c_i elementas;

$har(r_i, m_i, x)$ yra $(N_i - 1)$ -tasis aibės c_i elementas.

Kai $c_1 = 2$ ir $c_2 = 3$, gausime vaizdo fragmentą $[X^{(2,3)}(m_1, m_2)]$ (žr. 2.1 pav.), fragmentas paryškintas). Taigi, $[X^{(k_1, k_2)}(m_1, m_2)] = [X^{(c_1, c_2)}(m_1, m_2)]$.

2.2. REKURENTINIS FRAGMENTINIO HT SPEKTRO RADIMO ALGORITMAS

Paimkime spektrinį koeficientą $Y(k_1, k_2)$, kur $k_i = 2^{n_i - s_i} + l_i$, $i = 1, 2$. Koeficientas $Y(k_1, k_2)$ yra susijęs su vaizdo fragmentu $[X^{(k_1, k_2)}(m_1, m_2)]$. Šio vaizdo fragmento spektrą pažymėkime $[Y^{(k_1, k_2)}(u, v)]$, kur $u = 0, 1, \dots, 2^{s_1 - 1}$ ir $v = 0, 1, \dots, 2^{s_2 - 1}$. Haar spektro savybės leido sudaryti ir realizuoti efektyvią perėjimo nuo Haar spektro visam vaizdui prie Haar spektro vaizdo fragmentui procedūrą.

1. Spektrinis koeficientas $Y^{(k_1, k_2)}(0, 0)$, kuris yra susijęs su vaizdo fragmento X_{k_1, k_2} pastoviaja dedamąja \bar{X}_{k_1, k_2} , apskaičiuojamas naudojant rekurentinius ryšius:

$$Y^{(k_1, k_2)}(0, 0) = \bar{X}_{k_1, k_2} = \bar{X}_{k'_1, k'_2} + (-1)^{k_1} \cdot \sqrt{2^{n_1 - s_1 - 1}} \cdot A(k'_1, k'_2) + (-1)^{k_2} \cdot \sqrt{2^{n_2 - s_2 - 1}} \cdot B(k'_1, k'_2) + (-1)^{k_1 + k_2} \cdot \sqrt{2^{n_1 + n_2 - s_1 - s_2 - 2}} \cdot Y(k'_1, k'_2) \quad (2.1)$$

kol $k_1 > 1$ ir $k_2 > 1$. Čia $k'_i = [k_i/2]$ yra sveikoji skaičiaus $k_i/2$ dalis, $i = 1, 2$.

Atskiri atvejai:

$$Y^{(0, k_2)}(0, 0) = \bar{X}_{0, k_2} = \bar{X}_{1, k_2} = \bar{X}_{0, k'_2} + (-1)^{k_2} \cdot \sqrt{2^{n_2 - s_2 - 1}} \cdot B(0, k'_2), \quad (2.2)$$

kai $k_1 = 1$, o $k_2 > 1$

$$Y^{(k_1, 0)}(0, 0) = \bar{X}_{k_1, 0} = \bar{X}_{k_1, 1} = \bar{X}_{k'_1, 0} + (-1)^{k_1} \cdot \sqrt{2^{n_1 - s_1 - 1}} \cdot A(k'_1, 0), \quad (2.3)$$

kai $k_1 > 1$, o $k_2 = 1$

$$A(k_1, k_2) = \begin{cases} Y(k_1, 0), & \text{kai } k_2 \leq 1 \text{ (} s_2 = n_2 \text{)} \\ Y(k_1, 0) + \sum_{r=1}^{n_2 - s_2} (-1)^{\beta_{r-1}} \cdot \sqrt{2^{n_2 - s_2 - r}} \cdot Y(k_1, \beta_r), & \text{kai } k_2 > 1 \text{ (} s_2 < n_2 \text{)} \end{cases} \quad (2.4)$$

$$B(k_1, k_2) = \begin{cases} Y(0, k_2), & \text{kai } k_1 \leq 1 \ (s_1 = n_1) \\ Y(0, k_2) + \sum_{r=1}^{n_1-s_1} (-1)^{\alpha_{r-1}} \cdot \sqrt{2^{n_1-s_1-r}} \cdot Y(\alpha_r, k_2), & \text{kai } k_1 > 1 \ (s_1 < n_1) \end{cases} \quad (2.5)$$

čia $\alpha_r = [\alpha_{r-1}/2]$, kur $r = 1, 2, \dots, n_1 - s_1$, o $\alpha_0 = k_1$; $\beta_r = [\beta_{r-1}/2]$, kur $r = 1, 2, \dots, n_2 - s_2$, o $\beta_0 = k_2$;

$$\text{Taip pat pastebėkime, kad } \bar{X}_{0,0} = \bar{X}_{0,1} = \bar{X}_{1,0} = \bar{X}_{1,1} \quad (2.6)$$

2. Spektriniai koeficientai $Y^{(k_1, k_2)}(u, v)$, kai $u^2 + v^2 \neq 0$, randami naudojant šias formules:

$$Y^{(k_1, k_2)}(u, 0) = \sqrt{2^{n_1-s_1}} \cdot A(k'_1, k_2) \quad (2.7)$$

$$Y^{(k_1, k_2)}(0, v) = \sqrt{2^{n_2-s_2}} \cdot B(k_1, k'_2) \quad (2.8)$$

$$Y^{(k_1, k_2)}(u, v) = \sqrt{2^{n_1+n_2-s_1-s_2}} \cdot Y(k'_1, k'_2) \quad (2.9)$$

su visais $u = 1, 2, \dots, 2^{s_1} - 1$ ir $v = 1, 2, \dots, 2^{s_2} - 1$; indeksai k'_1 ir k'_2 prilyginami atitinkamai u-tajam ir v-tajam sutvarkytų (didėjančia tvarka) aibių $\{k_1\} \cup \tau_{k_1}$ ir $\{k_2\} \cup \tau_{k_2}$ elementams. Čia $\tau_{k_i} = \tau_{k_i}(1) \cup \tau_{k_i}(2) \cup \dots \cup \tau_{k_i}(s_i - 1)$, $i = 1, 2$.

2.3. MODIFIKUOTA VERSIJA

2.2 skyrelyje aptarta procedūra iš pirmo žvilgsnio atrodo gana sudėtingai. Pertvarkysime šią procedūrą į lengviau suprantamą. Tam įvesime tokius žymėjimus:

$[X(m_1, m_2)]$ – dvimatis skaitmeninis vaizdas, kur $\forall m_r \in \{0, 1, \dots, N_r - 1\}$, $N_r = 2^{n_r}$, $n_r \in N_r$, $r = 1, 2$.

$[Y(k_1, k_2)]$ - dvimatis diskretusis Haar skaitmeninio vaizdo $[X(m_1, m_2)]$ spektras, kur $\forall k_r \in \{0, 1, \dots, N_r - 1\}$, $N_r = 2^r$, $n_r \in N_r$, $r = 1, 2$; kai $k_r \neq 0$, galime užrašyti tokiu būdu: $k_r = 2^{n_r-i_r} + j_r$, $i_r \in \{1, 2, \dots, n_r\}$, $j_r \in \{0, 1, \dots, 2^{n_r-i_r} - 1\}$

$[X^{(k_1, k_2)}(m_1, m_2) | (m_1, m_2) \in V_{k_1} \times V_{k_2}]$, kur $V_{k_r} = \{j_r \cdot 2^{i_r}, j_i \cdot 2^{i_r} + 1, \dots, (j_r + 1) \cdot 2^{i_r} - 1\}$, $r = 1, 2$, yra vaizdo $[X(m_1, m_2)]$ fragmentas $2^{i_1} \times 2^{i_2}$, susijęs su spektriniu koeficientu $Y(k_1, k_2)$.

$[Y^{(k_1, k_2)}(u, v)]$, kur $u = 0, 1, \dots, 2^{i_1-1}$ ir $v = 0, 1, \dots, 2^{i_2-1}$, yra diskretusis vaizdo fragmento $[X^{(k_1, k_2)}(m_1, m_2)]$ Haar spektras.

Pateikiame pertvarkytą procedūrą:

1. Pirmiausia formuojame aibes (kai $k_1 > 1$ ir $k_2 > 1$)

$$S_V = \{\alpha_0, \alpha_1, \dots, \alpha_{n_1-i_1}\}, \quad (2.10)$$

kur $\alpha_0 = k_1$, $\alpha_s = [\alpha_{s-1}/2]$, $s = 1, 2, \dots, n_1 - i_1$

$$S_H = \{\beta_0, \beta_1, \dots, \beta_{n_2-i_2}\}, \quad (2.11)$$

kur $\beta_0 = k_2$, $\beta_t = [\beta_{t-1}/2]$, $t = 1, 2, \dots, n_2 - i_2$

$$\tau_{k_r} = \{k_r\} \cup \left\{ \bigcup_{q=1}^{i_r-1} \tau_{k_r}(q) \right\}, \quad (2.12)$$

kur $\tau_{k_r}(q) = \{2^q k_r, 2^q k_r + 1, \dots, 2^q(k_r + 1) - 1\}$, $r = 1, 2$; be to, aibė τ_{k_r} yra sutvarkyta (elementų didėjimo tvarka).

2. Apskaičiuojame spektrinius koeficientus vaizdo fragmentui $[X^{(k_1, k_2)}(m_1, m_2)]$:

$$Y^{(k_1, k_2)}(0, 0) = Y(0, 0) + \sum_{s=1}^{n_1-i_1} (-1)^{\alpha_{s-1}} \cdot \sqrt{2^{n_1-i_1-s}} \cdot Y(\alpha_s, 0) + \sum_{t=1}^{n_2-i_2} (-1)^{\beta_{t-1}} \cdot \sqrt{2^{n_2-i_2-t}} \cdot Y(0, \beta_t) + \sum_{t=1}^{n_2-i_2} \sum_{s=1}^{n_1-i_1} (-1)^{\alpha_{s-1}+\beta_{t-1}} \cdot \sqrt{2^{n_1+n_2-i_1-i_2-s-t}} \cdot Y(\alpha_s, \beta_t) \quad (2.13)$$

$$Y^{(k_1, k_2)}(u, 0) = \sqrt{2^{n_1-i_1}} (Y(k'_1, 0) + \sum_{t=1}^{n_2-i_2} (-1)^{\beta_{t-1}} \cdot \sqrt{2^{n_2-i_2-t}} \cdot Y(k'_1, \beta_t)) \quad (2.14)$$

su visais $u = 1, 2, \dots, 2^{i_1} - 1$; k'_1 yra u-tasis aibės τ_{k_1} elementas (elementų numeracija aibėje τ_{k_1} pradedama nuo vieneto).

$$Y^{(k_1, k_2)}(0, v) = \sqrt{2^{n_2-i_2}} (Y(0, k'_2) + \sum_{s=1}^{n_1-i_1} (-1)^{\alpha_{s-1}} \cdot \sqrt{2^{n_1-i_1-s}} \cdot Y(\alpha_s, k'_2)) \quad (2.15)$$

su visais $v = 1, 2, \dots, 2^{i_2} - 1$; k'_2 yra v-tasis aibės τ_{k_2} elementas (elementų numeracija aibėje τ_{k_2} pradedama nuo vieneto).

$$Y^{(k_1, k_2)}(u, v) = \sqrt{2^{n_1 + n_2 - i_1 - i_2}} \cdot Y(k'_1, k'_2) \quad (2.16)$$

su visais $u = 1, 2, \dots, 2^{i_1} - 1$ ir $v = 1, 2, \dots, 2^{i_2} - 1$; k'_1 ir k'_2 yra atitinkamai u-tasis ir v-tasis aibių τ_{k_1} ir τ_{k_2} elementai (elementų numeracija aibėse τ_{k_1} ir τ_{k_2} pradedama nuo vieneto).

Atskiri atvejai:

1. Kai $k_1 = 1$, o $k_2 > 1$, turime:

$$Y^{(1, k_2)}(u, 0) = Y(u, 0) + \sum_{t=1}^{n_2 - i_2} (-1)^{\beta_{t-1}} \cdot \sqrt{2^{n_2 - i_2 - t}} \cdot Y(u, \beta_t), \quad (2.17)$$

su visais $u = 0, 1, \dots, 2^{n_1} - 1$

$$Y^{(1, k_2)}(u, v) = \sqrt{2^{n_2 - i_2}} \cdot Y(u, k'_2), \quad (2.18)$$

su visais $u = 0, 1, \dots, 2^{n_1} - 1$ ir $v = 1, 2, \dots, 2^{i_2} - 1$;

čia k'_2 yra v-tasis aibės τ_{k_2} elementas (elementų numeracija aibėje τ_{k_2} pradedama nuo vieneto).

2. Kai $k_1 > 1$, o $k_2 = 1$ turime:

$$Y^{(k_1, 1)}(0, v) = Y(0, v) + \sum_{s=1}^{n_1 - i_1} (-1)^{\alpha_{s-1}} \cdot \sqrt{2^{n_1 - i_1 - s}} \cdot Y(\alpha_s, v), \quad (2.19)$$

su visais $v = 0, 1, \dots, 2^{n_2} - 1$

$$Y^{(k_1, 1)}(u, v) = \sqrt{2^{n_1 - i_1}} \cdot Y(k'_1, v), \quad (2.20)$$

su visais $u = 1, 2, \dots, 2^{i_1} - 1$ ir $v = 0, 1, \dots, 2^{n_2} - 1$;

čia k'_1 yra u-tasis aibės τ_{k_1} elementas (elementų numeracija aibėje τ_{k_1} pradedama nuo vieneto).

3. VAIZDO SUSPAUDIMO SPEKTRINĖJE HT SRITYJE METODAS SPIHT

Vaizdo suspaudimo metodų atsiradimą įtakojo poreikis apriboti grafinės informacijos kiekį vaizduose tam, kad be reikalo nebūtų eikvojami informacinių technologijų resursai bei

informacijos perdavimo greitis išliktų kiek įmanoma didesnis. Egzistuoja daugybė diskrečiosiomis bangelių transformacijomis paremtų vaizdo suspaudimo metodų, kuriais pasinaudoję galime suspausti grafinę informaciją ir ją atkurti iki nustatyto detalumo lygmens. Kaip pavyzdys, tokie algoritmai yra: EZW (Embedded Zerotree Wavelet), EM (Expectation Maximization), EBCOT (Embedded Block Coding with Optimal Truncation), SPIHT (Set Partitioning in Hierarchical Trees), STW (Spatial-orientation Tree Wavelet), WDR (Wavelet Difference Reduction) ir kiti.

Darbe vaizdo suspaudimą atliksime SPIHT metodo pagalba. Šis metodas paremtas EZW procedūros veikimo principais, tačiau yra labiau racionalizuotas. Pirmąją EZW procedūrą 1993 metais pasiūlė J. M. Shapiro. Tuo metu EZW procedūra grafinės informacijos suspaudimo efektyvumu ir greitumu pranoko visus tuometinius metodus, skirtus suspausti vaizdui. Pasinaudoję EZW metodo veikimo principu, 1995 metais Amir Said ir William A. Pearlman pasiūlė pirmąją SPIHT metodo versiją, kuri grafinės informacijos suspaudimo efektyvumu bei greitumu pranoko EZW procedūrą. SPIHT algoritmą įvairūs mokslininkai tobulina iki dabar, todėl net ir šiomis dienomis vaizdui suspausti skirtas SPIHT metodas išlieka vienu iš greičiausių bei efektyviausių.

3.1. PROGRESYVIOJI INFORMACIJOS PERDAVIMO SCHEMA

Šiame skyrelyje nagrinėjamos progresyvosios informacijos perdavimo schemas pagrindinis tikslas yra išrinkti iš vaizdo ir iš jo spektro, gauto diskrečiosios bangelių transformacijos metu, svarbiausią informaciją bei tokią informaciją perduoti pirmiausia. Rašydami „svarbiausia informacija“ omenyje turime didžiausias vaizdo ir spektro matricių elementų reikšmes, kadangi kuo didesnės reikšmės perduodamos, tuo atitinkamai labiau mažėja vaizdo ir spektro iškraipymai. Aprašytam informacijos išrinkimo iš vaizdo iškraipymui nustatyti naudojame vidutinę kvadratinę paklaidą, tai yra:

$$DV_{VKP}(X - \tilde{X}) = \frac{1}{M \cdot N} \sum_{i=0}^{M-1} \sum_{j=0}^{N-1} (X(i, j) - \tilde{X}(i, j))^2 \quad (3.1)$$

čia X – pradinio vaizdo matrica; \tilde{X} - suspausto vaizdo matrica; M ir N - atitinkamai matricos eilučių ir stulpelių skaičius (pradinės vaizdo matricos ir suspausto vaizdo matricos matmenys tokie patys); $X(i, j)$ - pradinės vaizdo matricos i -tosios eilutės ir j - tojo stulpelio elementas; $\tilde{X}(i, j)$ - suspausto vaizdo matricos i -tosios eilutės ir j - tojo stulpelio elementas.

Analogiškai užrašome formulę informacijos išrinkimo iš spektro iškraipymui nustatyti:

$$DS_{VKP}(Y - \tilde{Y}) = \frac{1}{M \cdot N} \sum_{i=0}^{M-1} \sum_{j=0}^{N-1} (Y(i, j) - \tilde{Y}(i, j))^2 \quad (3.2)$$

čia Y – pradinio spektro matrica; \tilde{Y} – suspausta spektro matrica; $Y(i, j)$ – pradinės spektro matricos i -tosios eilutės ir j - tojo stulpelio elementas; $\tilde{Y}(i, j)$ - suspausto spektro matricos i -tosios eilutės ir j - tojo stulpelio elementas; kiti formulėje naudojami žymėjimai yra tokie patys, kaip formulėje (3.1).

Iš formulės (3.2) matome, kad perdavus spektro elementą $Y(i, j)$ dekodavimo algoritmui (paprastiau tariant, perkėlus elementą iš matricos Y į matricą \tilde{Y}), vidutinė kvadratinė paklaida sumažės skaičiumi $\frac{(Y(i, j))^2}{M \cdot N}$. Tai reiškia, kad spektro Y didžiausi elementai dekodavimo algoritmui turėtų būti perduodami pirmiausia, nes jie perneša didžiausią informacijos kiekį.

3.2. DVEJETAINĖ FORMA IŠREIKŠTŲ ELEMENTŲ PERDAVIMAS

Bet kuris sveikasis spektro elementas $Y(i, j)$ gali būti konvertuotas į dvejetainę formą tokiu būdu:

$$Y(i, j) = \sum_{n=0} Y_n(i, j) \cdot 2^n \quad (3.3)$$

Tuomet remdamiesi 3.1 skyrelyje aprašyta progresyviają informacijos perdavimo schema galime išvelgti, kad spektro elemento, konvertuoto į dvejetainę išraišką, reikšmingiausi bitai turėtų būti perduodami pirmiausia. Reikšmingiausias bitas yra toks, kuris gautas iš formulės (3.3) prie didžiausios n reikšmės, o mažiausiai reikšmingas bitas – gautas prie mažiausios n reikšmės, tai yra, nulio.

Atsižvelgdami į anksčiau pateiktus samprotavimus galime teigti, kad visi spektro Y elementai turi būti išdėstomi mažėjimo tvarka ir pirmiausia perduodami šių elementų reikšmingiausi bitai. Taip pat akivaizdu, kad kuo spektro elementas didesnis, tuo daugiau bitų panaudojama jį užrašyti dvejetainė forma. Svarbiausios informacijos, išreikštos dvejetainė forma, tai yra, bitais, perdavimo eilės tvarką pateikiame lentelėje:

Svarbiausios informacijos, išreikštos bitais, perdavimo eilės tvarka

| n | s | s | s | s | s | s | s | s |
|-----|---|---|---|---|---|---|---|---|
| 3 | 1 | 1 | 0 | 0 | 0 | 0 | 0 | 0 |
| 2 | → | | 1 | 1 | 0 | 0 | 0 | 0 |
| 1 | | → | | | 1 | 1 | 1 | 1 |
| 0 | | | | | | | | → |

Pirmajame šios lentelės stulpelyje yra spektro elemento $Y(i, j)$, išreikšto dvejetainine forma, n - tasis bitas, o pirmojoje eilutėje – šio elemento ženklas, tai yra, plus arba minus. Sekančiuose šios lentelės stulpeliuose (išskyrus pirmąjį) yra dvejetainine forma išreikšti spektro Y elementai, kurie, žiūrint iš kairės į dešinę, išdėstyti mažėjimo tvarka. Nesunku pastebėti, kad reikšmingiausi bitai yra viršutinėje lentelės eilutėje, sekancioje – mažiau reikšmingi, o apatinėje – mažiausiai reikšmingi. Taigi, spektro Y elementai pagal dydį yra surikiuoti nuo didžiausio iki mažiausio ir kiekvieno elemento bitai pagal reikšmingumą išdėstyti mažėjimo tvarka.

Išsivaizduokime, kad be informacijos perdavimo eilės tvarkos, dekodavimo algoritmui papildomai perduodame koeficientus μ_n , kur μ_n yra atitinkamai kiekvienoje 3.1 lentelės eilutėje esančių bitų, lygių 1, skaičius. Pateiktoje lentelėje μ_n reikšmės yra tokios: $\mu_3 = 2$, $\mu_2 = 2$, $\mu_1 = 4$ ir taip toliau. Pastebėkime, kad kai dekodavimo algoritmui prie tam tikros n reikšmės perduodamas pirmasis spektro elemento $Y(i, j)$ bitas, lygus 1, tai spektro Y elementas patenka į tokį intervalą:

$$2^n \leq |Y(i, j)| < 2^{n+1} \quad (3.4)$$

Dekodavimo algoritmui pirmiausia perduodami reikšmingiausi bitai, tai yra, pradant viršutiniają 3.1 lentelės eilutę (informacijos perdavimo eiliškumas pavaizduotas rodyklėmis). Kadangi kiekviename šios lentelės stulpelyje bitai išdėstyti reikšmingumo mažėjimo tvarka, todėl pirmaujančiųjų „0“ bitų ir pirmųjų „1“ bitų dekodavimo algoritmui perduoti nereikia. Tokius bitus galime nesunkiai nuspėti iš koeficiento μ_n reikšmės ir atsižvelgę į informacijos perdavimo eilės tvarką.

3.3. ELEMENTŲ REIKŠMINGUMO NUSTATYMAS IR RŪŠIAVIMO Į AIBES ALGORITMAS

Pagrindinis šio algoritmo principas yra išrinkti ne visus mažėjimo tvarka surikiuotus spektro Y elementus, o tik tokius, kurie priklausytų intervalui $2^n \leq |Y(i, j)| < 2^{n+1}$, pradedant maksimalia n reikšme ir ją mažinant vienetu po kiekvieno žingsnio. Jeigu n - tajame žingsnyje spektro elementas $|Y(i, j)| \geq 2^n$, tai jis vadinamas reikšmingu, o priešingu atveju – nereikšmingu.

Algoritmas spektro Y elementus, kurių koordinatės saugomos aibėje Γ , surūšiuoja į šios aibės poaibius Γ_m (čia m yra m – tasis aibės Γ elementas) ir kiekviename poaibyje pagal formulę

$$\max_{(i,j) \in \Gamma_m} \{|Y(i, j)|\} \geq 2^n \quad (3.5)$$

nustato elementų $Y(i, j)$ reikšmingumą. Jeigu nelygybė netenkinama, vadinasi poaibis Γ_m yra nereikšmingas, tai yra, visi elementai, esantys šiame poaibyje, yra nereikšmingi. Jeigu nelygybė tenkinama, vadinasi poaibis Γ_m yra reikšmingas ir tokiu atveju jis skirstomas į naujus poaibius $\Gamma_{m,l}$, kurių elementams reikšmingumas taip pat nustatomas pagal formulę 3.5. Elementų reikšmingumas nustatinėjamas tol, kol surandami visi reikšmingi spektro Y elementai. Jų skirstymas į poaibius remiasi erdvėje orientuotų medžių savybėmis.

Pateikiame formulę, kuri naudojama užkodavimo ir dekodavimo algoritmuose spektro Y elementų reikšmingumui nustatyti:

$$S_n(\Gamma) = \begin{cases} 1, & \max_{(i,j) \in \Gamma_m} \{|Y(i, j)|\} \geq 2^n \\ 0, & \text{kitu atveju} \end{cases} \quad (3.6)$$

3.4. ERDVĖJE ORIENTUOTI MEDŽIAI

Pasinaudodami 1.5 skyrelyje aprašyta antrąja savybe parodome, kaip erdvėje orientuoto medžio elementai skirstomi į aibes. Pirmiausia, apibrėžiame keturias aibes:

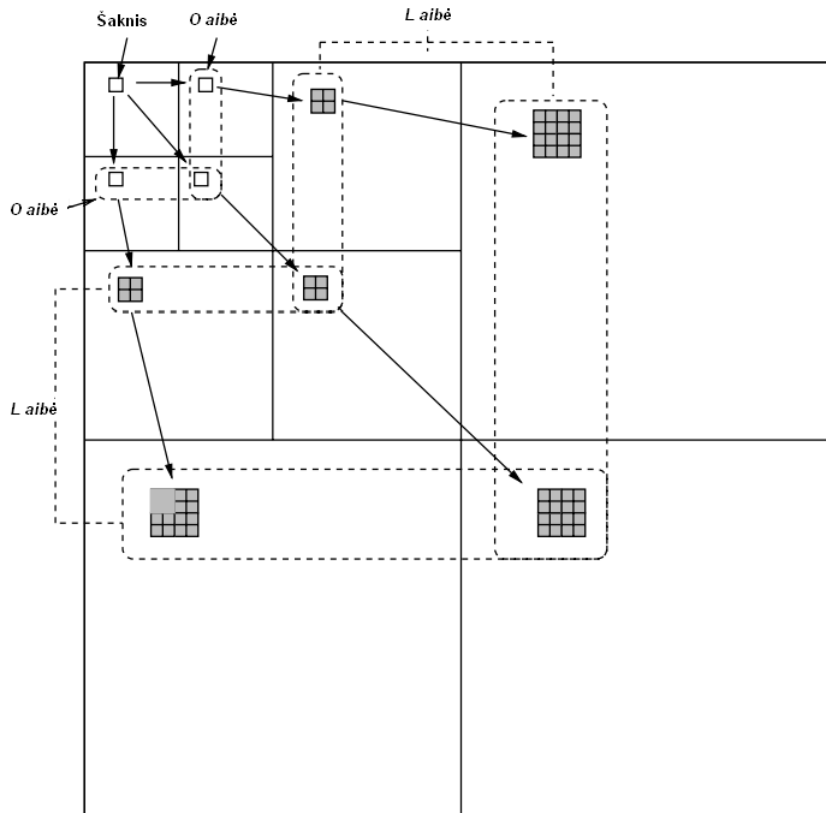
$H(i, j)$ - elemento $Y(i, j)$ šaknų (tėvų) aibė, išskyrus $Y(0,0)$

$O(i, j)$ – elemento $Y(i, j)$ tiesioginių palikuonių (vaikų) aibė

$D(i, j)$ – elemento $Y(i, j)$ visų palikuonių (vaikų, anūkų, proanūkių ir taip toliau) aibė

$L(i, j)$ – elemento $Y(i, j)$ visų palikuonių, išskyrus tiesioginius (vaikus), aibė

Nesunku pastebėti, kad $L(i, j) = D(i, j) - O(i, j)$. Pateikiame grafinę erdvėje orientuoto medžio interpretaciją:



3.1 pav. Erdvėje orientuotas medis

Kiekvienas šiame medyje esantis elementas turi tiesioginius palikuonius, kurių aibė formuojama šitaip:

$$O(i, j) = \{(2i; 2j), (2i; 2j + 1), (2i + 1; 2j), (2i + 1; 2j + 1)\} \quad (3.7)$$

Tokias erdvėje orientuoto medžio dalis naudojame rūšiavimo į aibes algoritme ir nuo jų priklauso spektro Y elementų skirstymas į poaibius, kuris vadovaujasi šiomis taisyklėmis:

1. Iš pradžių formuojamos aibės $\{(i, j)\}$ ir $D(i, j)$, kur $\forall (i, j) \in H$.
2. Jeigu $D(i, j)$ elementas yra reikšmingas, tai ši aibė suskirstoma į aibę $L(i, j)$ ir į keturių elementų aibę $\{(k, l)\}$, kur $\forall (k, l) \in O(i, j)$.
3. Jeigu $L(i, j)$ yra reikšminga, tai ji suskirstoma į keturias aibes $D(k, l)$, kur $\forall (k, l) \in O(i, j)$.

3.5. UŽKODAVIMO ALGORITMAS

Nustatinėjant aibėse esančių elementų reikšmingumą, jų išdėstymo tvarka šiose aibėse yra svarbi, todėl informacija apie šių elementų reikšmingumą yra saugoma trijuose sąrašuose: LIS – nereikšmingų aibių sąrašas, LIP – nereikšmingų pikselių sąrašas ir LSP – reikšmingų

pikselių sąrašas. Visuose trijuose sąrašuose kiekvienas elementas yra spektro elemento Y koordinatės (i, j) . LIP ir LSP sąrašuose šiomis koordinatėmis nusakomas vienas pikselis, o LIS sąrašė – aibė $D(i, j)$ arba aibė $L(i, j)$. Kad galėtume atskirti, kurios aibės koordinatės nusakomos, tai kiekvienam sąrašo LIS elementui priskiriame du tipus: A arba B . Čia tipas A reiškia, kad sąrašo elementas nusakomas aibės $D(i, j)$ koordinatėmis, o tipas B – aibės $L(i, j)$ koordinatėmis.

Pateikiame vaizdo užkodavimui atlikti reikalingus algoritmo žingsnius:

1. Inicijacija

1.1. Randame maksimalų spektro elementą, tai yra: $n = \lceil \log_2(\max|Y(i, j)|) \rceil$, čia laužtiniai skliausteliai reiškia dešinėje lygybės pusėje gauto rezultato sveikąją dalį

1.2. Sąrašą LSP paliekame tuščią, tai yra: $LSP = \{\emptyset\}$

1.3. Sąrašą LIP užpildome aibės \mathcal{H} elementais, tai yra: $LIP = \{(0; 0), (0; 1), (1; 0), (1; 1)\}$

1.4 Sąrašą LIS užpildome aibės \mathcal{H} elementais, kurie turi palikuonių, ir nustatome tipą A , tai yra: $LIS = \{(0; 1)A, (1; 0)A, (1; 1)A\}$

2. Rūšiavimo vykdymas

2.1. Su kiekvienu sąrašo LIP elementu atliekame veiksmus

2.1.1. Išvedame $S_n(i, j)$

2.1.2. Jeigu $S_n(i, j) = 1$, tai perkeliame elementą (i, j) į sąrašą LSP ir išvedame spektro elemento $Y(i, j)$ ženklą.

2.2. Su kiekvienu sąrašo LIS elementu atliekame tokius veiksmus

2.2.1. Jeigu elemento tipas sąrašė yra A , tai

2.2.1.1. Išvedame $S_n(D(i, j))$

2.2.1.2. Jeigu $S_n(D(i, j)) = 1$, tai

2.2.1.2.1. Su kiekvienu $(k, l) \in O(i, j)$ atliekame tokius veiksmus

2.2.1.2.1.1. Išvedame $S_n(k, l)$

2.2.1.2.1.2. Jeigu $S_n(k, l) = 1$, tai pridedame elementą (k, l) prie sąrašo LSP ir išvedame spektro elemento $Y(k, l)$ ženklą

2.2.1.2.1.3. Jeigu $S_n(k, l) = 0$, tai pridedame elementą (k, l) prie sąrašo LIP

2.2.1.2.2. Jeigu $L(i, j) \neq \{\emptyset\}$, tai perkeliame (i, j) į sąrašą LIS su tipu B ir vykdome žingnelį 2.2.2.

2.2.1.2.3. Jeigu $L(i, j) = \{\emptyset\}$, tai pašaliname (i, j) iš sąrašo LIS

2.2.2. Jeigu elemento tipas sąrašė yra B , tai

2.2.2.1. Išvedame $S_n(L(i, j))$

2.2.2.2. Jeigu $S_n(L(i, j)) = 1$, tai

2.2.2.2.1. Pridėti kiekvieną $(k, l) \in O(i, j)$ prie sąrašo *LIS* su tipu *A*

2.2.2.2.2. Pašalinti (i, j) iš sąrašo *LIS*

3. Tobulinimo vykdymas

3.1. Kiekvienam (i, j) iš sąrašo *LSP*, išskyrus tuos elementus, kurie į šį sąrašą pateko paskutinio rūšiavimo vykdymo metu, tai yra, su ta pačia n reikšme, išvedame elemento $Y(i, j)$ n - tąjį reikšmingiausią bitą.

4. Kvantavimo žingsnio atnaujinimas

4.1. Sumažiname n skaičiumi 1 ir vykdome 2 – ajį algoritmo žingsnį, tai yra, rūšiavimą

Pastaba: elementai visada dedami į sąrašų *LIS*, *LIP*, *LSP* pabaigas neatsižvelgiant į tai, ar jie perkeliama, ar tik pridedami prie atitinkamo sąrašo.

3.6. DEKODAVIMO ALGORITMAS

Dekodavimo algoritmas yra analogiškas užkodavimo algoritmui, todėl 3.1. skyrelyje aprašytame algoritme žodį „išvesti“ reikėtų pakeisti į žodį „įvesti“. Tiesa, lyginant su užkodavimo algoritmu, dekodavimo algoritmas atlieka kelis papildomus uždavinius.

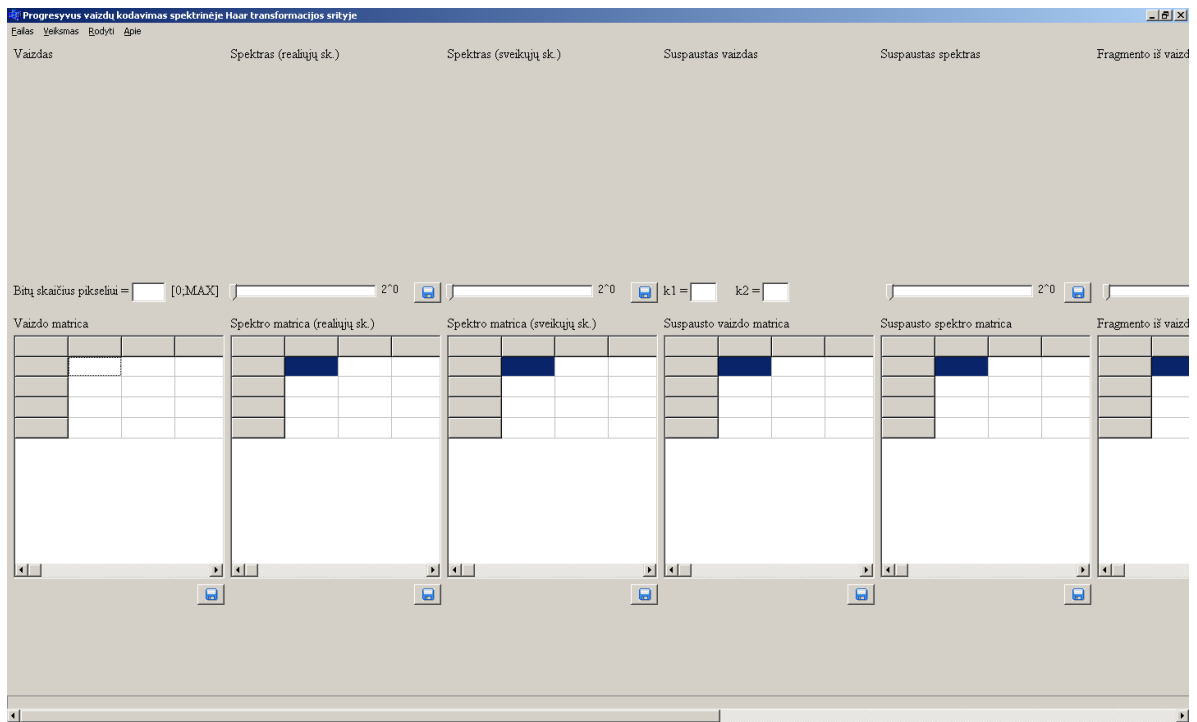
Pirmasis jų atliekamas tada, kai prie tam tikros n reikšmės koordinatė perkeliama į *LSP* sąrašą. Iš 3.2 skyrelyje gautų samprotavimų žinome, kad elementas, kuris aprašomas tokia koordinate, patenka į intervalą (3.4). Taigi, dekoderis, naudodamas šią informaciją ir elemento ženklą, atitinkamai atkuria suspausto spektro \tilde{Y} elementą pagal formulę:

$$\tilde{Y}(i, j) = \pm 1,5 \cdot 2^n \tag{3.8}$$

Antrasis uždavinys atliekamas tobulinimo vykdymo metu. Kai dekoderis gauna elemento $Y(i, j)$ n - tąjį reikšmingiausią bitą, suspausto spektro elementas $|\tilde{Y}(i, j)|$ yra padidinamas arba sumažinamas skaičiumi 2^{n-1} priklausomai nuo bito reikšmės („1“ padidina, „0“ sumažina).

4. PROGRAMINĖS REALIZACIJOS YPATUMAI

Programos realizacijai pasirinkome C++ programavimo kalbą. Paleidus programą, atsidaro toks langas:




4.1 pav. Programos langas

Spaudžiame „Failas -> Atidaryti nuotrauką“ ir pasirenkame norimą vaizdą. Pasirenkama nuotrauka privalo būti *.bmp formato, 8 bitų su pilka šviesos intensyvumo skale. Taip pat, vaizdo aukštis N_1 ir plotis N_2 pikseliais turi tenkinti sąlygas: $N_1 = 2^{n_1}$ ir $N_2 = 2^{n_2}$. Kai nuotrauka pasirinkta, programos lange ji rodoma maksimalia 256x256 (pikseliais) rezoliucija (vietos taupymo sumetimais). Vaizdas nėra iškraipomas, kadangi išlaikoma nuotraukos matmenų proporcija.


Sekantis žingsnis, kurį reikia atlikti, yra nuotraukos spalvų kodų surašymas į matricą. Tai galime padaryti pasirinkę meniu punktą „Rasti -> Vaizdą“. Po šios operacijos, meniu punkto „Rasti -> Spektrą“ pagalba, randame nuotraukos spektrą. Spektro ryškumą keičiame slinkties juostos



4.2 pav. Slinkties juosta

pagalba. Esant poreikiui, mygtuko  pagalba, spektrą galime išsaugoti *.bmp formatu. Taip pat, galime išsaugoti spektro matricą *.csv formatu. *.csv formatas yra patogus tuo, kad iš šio formato bylos duomenis lengvai galime importuoti į skaičiuokles, tokias kaip Microsoft Office Excel, OpenOffice Calc ir kitos.

Sekančio žingsnio metu turime išsirinkti vaizdo fragmentą, kurio spektrą norime rasti.

Tam reikia įvesti koeficientus  (apie vaizdo fragmento išrinkimą žr. 2.1

skyrių). Įvedę šiuos koeficientus, pasirenkame meniu punktą „Rasti -> Fragmentą iš vaizdo“ arba „Rasti -> Fragmentą iš spektro“. Gauname pasirinkto vaizdo fragmento spektrą ir jo matricą, kuriuos, esant poreikiui, galime išsaugoti analogiškai kaip išsaugojome spektrą ir jo matricą. Taip pat, atlikus vieną ar kitą iš šių operacijų, programos lango apačioje parodoma atitinkamo algoritmo atlikimo trukmė sekundėmis.

Meniu punkte „Apie“ rasime informaciją apie programą: pagrindinė darbo užduotis, pastabos, autorius ir panašiai.

5. EKSPERIMENTAS IR JO REZULTATŲ ANALIZĖ

Šiame skyrelyje atliksime tris eksperimento dalis:

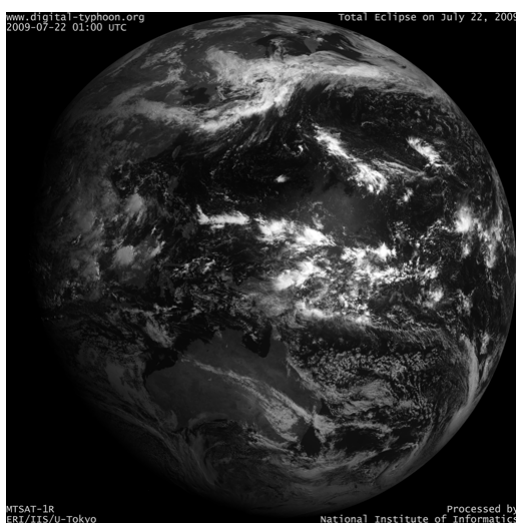
1. Palyginsime vaizdo fragmentų radimo trukmes dviem atvejais:

a) kai vaizdo fragmentas randamas iš pradinio vaizdo, naudojant nemodifikuotą Haar transformaciją, pritaikytą darbui su realiais skaičiais.

b) kai vaizdo fragmentas randamas iš viso vaizdo spektro, remiantis viena iš Haar spektro savybių – lokalizavimu erdvėje (su realiais skaičiais).

2. Pasinaudoję SPIHT metodu, išstirsime vaizdo suspaudimo efektyvumą diskrečiosios Haar transformacijos spektrinėje srityje.

Paimkime dvimatį skaitmeninį vaizdą su pilka šviesos intensyvumo skale $[X(m_1, m_2)]$, pavyzdžiui „earth.bmp“:



5.1 pav. Vaizdo $[X(m_1, m_2)]$ grafinis vaizdavimas, kai $N_1 = N_2 = 1024$

5.1 lentelė

Vaizdo $[X(m_1, m_2)]$ matrica, kai $N_1 = N_2 = 1024$

| | 0 | 1 | 2 | 3 | 4 | 5 | 6 | 7 | 8 | 9 | 10 | 11 | 12 | 13 | 14 | ... | 1023 |
|------|-----|-----|-----|-----|-----|-----|-----|-----|-----|-----|-----|-----|-----|-----|-----|-----|------|
| 0 | 0 | 0 | 0 | 0 | 0 | 0 | 0 | 0 | 0 | 0 | 0 | 0 | 0 | 0 | 0 | ... | 0 |
| 1 | 0 | 0 | 0 | 0 | 0 | 0 | 0 | 0 | 0 | 0 | 0 | 0 | 0 | 0 | 0 | ... | 0 |
| 2 | 0 | 0 | 0 | 0 | 0 | 0 | 0 | 0 | 0 | 0 | 0 | 0 | 0 | 0 | 0 | ... | 0 |
| 3 | 0 | 0 | 0 | 0 | 0 | 0 | 0 | 0 | 0 | 0 | 0 | 0 | 0 | 0 | 0 | ... | 0 |
| 4 | 0 | 0 | 0 | 0 | 0 | 0 | 0 | 0 | 0 | 0 | 0 | 0 | 0 | 0 | 0 | ... | 0 |
| 5 | 19 | 46 | 16 | 0 | 0 | 0 | 0 | 0 | 0 | 0 | 6 | 40 | 34 | 43 | 16 | ... | 0 |
| 6 | 66 | 232 | 105 | 0 | 0 | 13 | 45 | 23 | 0 | 0 | 49 | 210 | 125 | 221 | 106 | ... | 0 |
| 7 | 34 | 222 | 146 | 0 | 0 | 98 | 238 | 148 | 0 | 0 | 84 | 213 | 60 | 215 | 146 | ... | 0 |
| 8 | 8 | 193 | 178 | 1 | 0 | 153 | 226 | 189 | 10 | 0 | 123 | 192 | 13 | 190 | 178 | ... | 0 |
| 9 | 0 | 161 | 207 | 14 | 12 | 192 | 131 | 210 | 45 | 0 | 165 | 158 | 0 | 159 | 207 | ... | 0 |
| 10 | 0 | 121 | 227 | 37 | 53 | 202 | 42 | 208 | 88 | 0 | 196 | 113 | 0 | 120 | 227 | ... | 0 |
| 11 | 0 | 83 | 235 | 63 | 103 | 176 | 2 | 179 | 139 | 22 | 213 | 73 | 0 | 83 | 235 | ... | 0 |
| 12 | 0 | 51 | 227 | 102 | 157 | 124 | 0 | 130 | 180 | 66 | 212 | 36 | 0 | 51 | 227 | ... | 0 |
| 13 | 0 | 20 | 205 | 164 | 195 | 68 | 0 | 79 | 204 | 128 | 190 | 7 | 0 | 20 | 205 | ... | 0 |
| 14 | 0 | 2 | 173 | 223 | 198 | 20 | 0 | 35 | 204 | 208 | 152 | 0 | 0 | 2 | 173 | ... | 0 |
| 15 | 0 | 0 | 145 | 251 | 164 | 0 | 0 | 4 | 186 | 251 | 113 | 0 | 0 | 0 | 145 | ... | 0 |
| 16 | 0 | 0 | 70 | 154 | 73 | 0 | 0 | 0 | 93 | 152 | 50 | 0 | 0 | 0 | 70 | ... | 0 |
| 17 | 0 | 0 | 0 | 0 | 0 | 0 | 0 | 0 | 0 | 0 | 0 | 0 | 0 | 0 | 0 | ... | 0 |
| 18 | 0 | 0 | 0 | 0 | 0 | 0 | 0 | 0 | 0 | 0 | 0 | 0 | 0 | 0 | 0 | ... | 0 |
| 19 | 0 | 0 | 0 | 0 | 0 | 0 | 0 | 0 | 0 | 0 | 0 | 0 | 0 | 0 | 0 | ... | 0 |
| 20 | 0 | 0 | 0 | 0 | 0 | 0 | 0 | 0 | 0 | 0 | 0 | 0 | 0 | 0 | 0 | ... | 0 |
| 21 | 0 | 0 | 0 | 0 | 0 | 4 | 4 | 0 | 0 | 0 | 0 | 0 | 0 | 0 | 0 | ... | 0 |
| 22 | 0 | 0 | 28 | 108 | 166 | 192 | 191 | 150 | 60 | 0 | 0 | 0 | 0 | 0 | 0 | ... | 0 |
| 23 | 0 | 0 | 121 | 238 | 178 | 138 | 155 | 222 | 227 | 95 | 0 | 0 | 0 | 0 | 0 | ... | 0 |
| 24 | 0 | 0 | 58 | 53 | 1 | 0 | 0 | 64 | 217 | 210 | 31 | 0 | 0 | 0 | 51 | ... | 0 |
| ... | ... | ... | ... | ... | ... | ... | ... | ... | ... | ... | ... | ... | ... | ... | ... | ... | ... |
| 1023 | 0 | 0 | 0 | 0 | 0 | 0 | 0 | 0 | 0 | 0 | 0 | 0 | 0 | 0 | 0 | ... | 0 |

Su šiuo vaizdu atliekame diskrečiąją Haar transformaciją, kurios rezultatas yra spektras $[Y(k_1, k_2)]$:



5.2 pav. Spektro $[Y(k_1, k_2)]$ grafinis vaizdavimas, kai $N_1 = N_2 = 1024$

5.2 lentelė

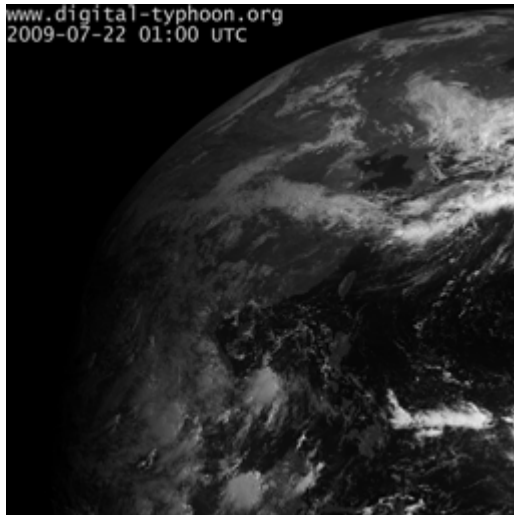
Spektro $[Y(k_1, k_2)]$ matrica, kai $N_1 = N_2 = 1024$

| | 0 | 1 | 2 | 3 | 4 | 5 | 6 | 7 | 8 | 9 | ... | 1023 |
|------|-------|-------|-------|-------|-------|-------|-------|-------|-------|-------|-----|-------|
| 0 | 39.37 | 11.97 | -8.35 | 12.09 | -4.81 | -3.99 | 1.34 | 4.01 | -0.84 | -1.23 | ... | 0.01 |
| 1 | 6.72 | 2.72 | -2.40 | 1.24 | -2.47 | -1.19 | 0.17 | 0.21 | -0.33 | -0.62 | ... | 0.00 |
| 2 | -1.09 | 5.69 | -6.01 | 3.51 | 2.01 | -2.83 | 3.25 | 2.00 | 0.79 | -0.54 | ... | 0.01 |
| 3 | 7.52 | -3.13 | -0.71 | 0.75 | -1.95 | -0.31 | -0.92 | 0.26 | -0.64 | -0.30 | ... | -0.01 |
| 4 | -1.47 | -1.93 | 2.05 | 2.94 | 1.76 | -0.19 | -1.04 | -1.87 | 0.19 | 0.65 | ... | 0.01 |
| 5 | -6.19 | 1.90 | 0.85 | -2.26 | 0.97 | 1.40 | -5.43 | 3.95 | 0.33 | -0.27 | ... | 0.00 |
| 6 | 4.16 | -3.70 | 0.87 | 4.53 | -0.02 | 0.45 | 0.40 | 2.47 | -0.55 | 0.69 | ... | 0.00 |
| 7 | 3.29 | -1.32 | -2.20 | 1.27 | -0.83 | 0.01 | 1.23 | 1.82 | -0.19 | -0.61 | ... | -0.01 |
| 8 | -4.87 | 2.06 | 4.37 | -4.55 | 0.67 | 0.85 | 0.87 | -1.29 | 0.11 | 0.88 | ... | 0.01 |
| 9 | 2.43 | -2.93 | -0.12 | 2.57 | 0.13 | -0.53 | 1.62 | 1.80 | 0.14 | -0.31 | ... | 0.00 |
| 10 | 0.17 | -0.75 | -0.38 | -0.46 | 0.31 | -0.46 | -0.31 | 1.66 | 0.17 | -0.23 | ... | 0.00 |
| 11 | -0.69 | 2.27 | -1.35 | -2.89 | 0.06 | -2.04 | 2.39 | -1.92 | 0.04 | 0.53 | ... | 0.00 |
| 12 | 2.66 | -1.67 | 0.41 | 1.41 | -0.46 | -0.52 | 0.42 | 0.92 | -0.19 | 0.70 | ... | 0.00 |
| 13 | -1.12 | 0.11 | 0.86 | -2.10 | 0.03 | 0.88 | 0.21 | -0.07 | -0.09 | 0.44 | ... | 0.00 |
| 14 | 2.45 | -1.39 | -0.29 | 0.93 | -0.32 | -0.29 | 0.40 | -0.44 | 0.00 | -0.32 | ... | 0.00 |
| 15 | 0.46 | -0.67 | -1.62 | 2.43 | -0.73 | -0.37 | 0.26 | 1.18 | -0.28 | -0.36 | ... | -0.01 |
| 16 | 0.88 | 0.11 | 2.13 | -1.41 | 0.21 | -0.29 | 0.34 | -0.08 | 0.07 | 0.08 | ... | 0.02 |
| 17 | -4.30 | 2.02 | 1.04 | -2.87 | 0.40 | 1.63 | -0.87 | -1.13 | 0.00 | 0.53 | ... | 0.00 |
| 18 | 2.10 | -1.96 | -0.76 | 1.83 | 0.46 | -0.46 | -0.85 | 0.78 | 0.01 | 0.20 | ... | 0.00 |
| 19 | 1.42 | 2.43 | -2.23 | -0.53 | -0.42 | -0.10 | 0.14 | 0.24 | 0.05 | -0.26 | ... | 0.00 |
| 20 | 0.32 | 0.38 | -0.59 | 0.17 | -0.02 | -0.07 | 0.91 | 0.16 | 0.06 | -0.07 | ... | 0.00 |
| 21 | 0.20 | -1.34 | 0.06 | 0.93 | 0.46 | -0.02 | -1.74 | 0.53 | 0.04 | 0.31 | ... | 0.00 |
| 22 | -2.39 | 3.21 | -0.15 | -1.06 | -0.39 | 0.30 | -3.25 | 0.30 | 0.06 | -0.65 | ... | 0.00 |
| 23 | 0.41 | -0.55 | 0.02 | -0.26 | 0.18 | -0.09 | 2.23 | -0.88 | -0.11 | 0.05 | ... | 0.00 |
| 24 | 1.81 | -1.70 | 0.47 | 1.55 | -0.33 | 0.62 | 0.23 | 1.06 | -0.02 | 0.14 | ... | 0.00 |
| ... | ... | ... | ... | ... | ... | ... | ... | ... | ... | ... | ... | ... |
| 1023 | 0.02 | -0.02 | 0.02 | 0.00 | -0.02 | 0.00 | 0.00 | 0.00 | 0.00 | 0.04 | ... | 0.00 |

čia matricos elementų reikšmės pateikiamos tikslumu 10^{-2} .

Rasime vaizdo fragmento spektrą $[Y^{(k_1, k_2)}(u, v)]$ dviem skirtingais metodais, palyginsime gautus rezultatus ir skaičiavimo procedūrų greičius.

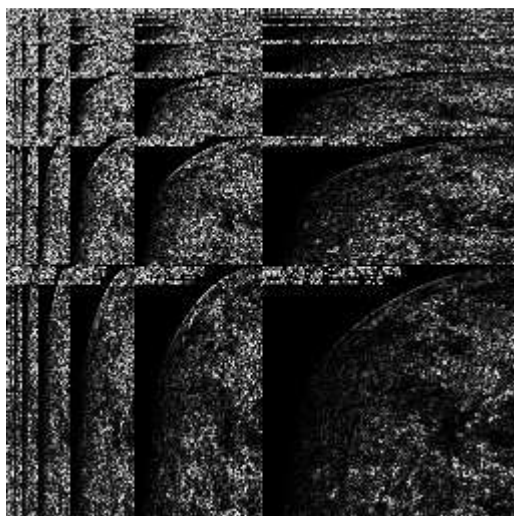
1. Iš vaizdo $[X(m_1, m_2)]$ parenkame fragmentą $[X^{(k_1, k_2)}(m_1, m_2)]$ ir randame šio fragmento spektrą $[Y^{(k_1, k_2)}(u, v)]$, pasinaudodami diskrečiąja Haar transformacija. Tarkime, kad parinktas vaizdo fragmentas yra toks:



5.3 pav. Vaizdo fragmento $[X^{(2,2)}(m_1, m_2)]$ grafinis vaizdavimas

čia vaizdo fragmento $[X^{(2,2)}(m_1, m_2)]$ matricos elementai yra lygūs atitinkamai vaizdo $[X(m_1, m_2)]$ matricos elementams.

Parinktam vaizdo fragmentui $[X^{(k_1, k_2)}(m_1, m_2)]$ atliekame diskrečiąja Haar transformaciją (žr. 1.3 skyrių), kurios rezultatas yra šio fragmento spektras $[Y^{(k_1, k_2)}(u, v)]$:



5.4 pav. Vaizdo fragmento $[X^{(2,2)}(m_1, m_2)]$ spektro $[Y^{(2,2)}(u, v)]$ grafinis vaizdavimas, gautas 1 būdu

5.3 lentelė

Vaizdo fragmento $[X^{(2,2)}(m_1, m_2)]$ spektro $[Y^{(2,2)}(u, v)]$ matrica, gauta 1 būdu

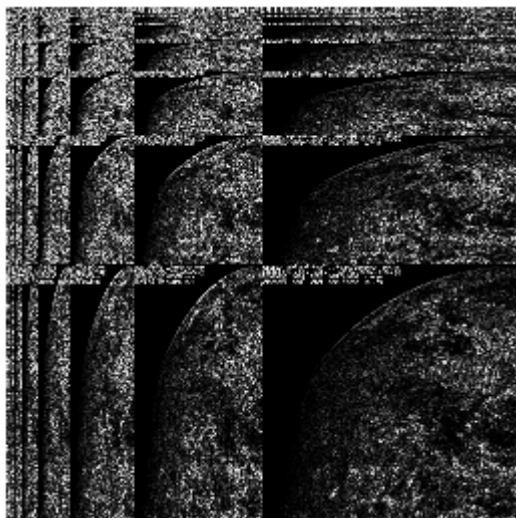
| | 0 | 1 | 2 | 3 | 4 | 5 | 6 | 7 | 8 | 9 | ... | 511 |
|-----|-------|-------|-------|-------|-------|-------|-------|-------|------|-------|-----|-------|
| 0 | 36.83 | 15.20 | 10.29 | -7.34 | -1.66 | -2.63 | 0.91 | -1.90 | 0.12 | -1.17 | ... | -0.02 |
| 1 | 6.51 | 12.02 | 4.02 | -5.67 | 1.58 | -1.07 | -3.94 | -2.49 | 0.27 | 0.77 | ... | -0.05 |
| 2 | -4.80 | 4.10 | 3.52 | -0.38 | 0.38 | 1.30 | -0.34 | 1.07 | 0.27 | 0.28 | ... | 0.04 |
| 3 | -6.06 | 1.71 | 1.95 | 2.80 | 0.67 | -0.55 | -0.46 | 0.13 | 0.09 | 0.22 | ... | 0.00 |
| 4 | -3.97 | 8.74 | 1.33 | 1.71 | 0.23 | 1.77 | -0.06 | 0.62 | 0.38 | 0.00 | ... | -0.02 |
| 5 | -0.70 | -0.24 | 0.26 | -1.07 | 0.29 | -0.63 | 1.71 | -5.63 | 0.00 | 0.38 | ... | -0.07 |
| 6 | -0.83 | -0.77 | 0.63 | -0.92 | 0.34 | -0.46 | -0.68 | -0.14 | 0.01 | 0.11 | ... | 0.02 |
| 7 | 2.24 | -2.71 | 0.12 | -4.08 | 0.08 | 1.06 | -0.90 | -0.16 | 0.05 | -0.15 | ... | 0.01 |
| 8 | 1.41 | 4.27 | 0.42 | -0.57 | 0.13 | 0.16 | 1.78 | -1.49 | 0.19 | 0.21 | ... | 0.01 |
| 9 | -3.21 | 2.08 | 0.80 | 3.25 | 0.00 | 1.07 | 0.39 | 3.60 | 0.00 | 0.00 | ... | 0.01 |
| 10 | 0.20 | -1.52 | 0.92 | -0.92 | 0.01 | 0.39 | -0.99 | -0.10 | 0.00 | 0.02 | ... | 0.07 |
| 11 | 5.45 | -4.46 | -0.84 | -0.20 | 0.10 | -0.52 | -1.22 | -2.53 | 0.00 | 0.10 | ... | -0.01 |
| 12 | 1.00 | -1.18 | -0.05 | -0.14 | 0.13 | -0.13 | 0.17 | 0.12 | 0.00 | 0.06 | ... | 0.03 |
| 13 | -1.62 | 0.13 | 0.93 | -0.04 | 0.08 | 0.62 | -0.73 | -0.06 | 0.01 | -0.05 | ... | -0.02 |
| 14 | 1.15 | -0.31 | -0.79 | 0.60 | 0.13 | -1.30 | 0.81 | 0.42 | 0.01 | 0.06 | ... | 0.04 |
| 15 | -0.20 | 0.04 | 0.35 | -0.17 | -0.22 | 0.10 | 0.77 | -0.93 | 0.03 | -0.20 | ... | -0.01 |
| 16 | -0.46 | 2.00 | -0.04 | 1.87 | -0.27 | -0.66 | 0.73 | -0.06 | 0.54 | -0.30 | ... | 0.00 |
| 17 | 1.12 | 1.03 | 0.05 | -0.87 | 0.14 | 0.31 | -0.62 | 0.54 | 0.25 | -0.14 | ... | -0.02 |
| 18 | -1.73 | 1.22 | 0.36 | 1.08 | 0.00 | 0.51 | -0.36 | -0.37 | 0.00 | 0.00 | ... | 0.00 |
| 19 | -0.44 | 0.22 | 0.15 | 0.04 | 0.00 | 0.12 | 0.78 | 0.35 | 0.00 | 0.00 | ... | -0.01 |
| 20 | 1.00 | -1.43 | 0.30 | -0.97 | 0.00 | 0.02 | -0.94 | 0.42 | 0.00 | 0.00 | ... | -0.01 |
| 21 | -1.72 | 1.61 | 0.05 | 0.27 | 0.02 | -0.15 | -0.97 | 1.57 | 0.00 | 0.02 | ... | -0.06 |
| 22 | 2.32 | -1.87 | -0.39 | -0.74 | 0.05 | -0.43 | 0.91 | -3.71 | 0.00 | 0.07 | ... | 0.00 |
| 23 | 2.01 | -1.80 | -0.15 | -1.37 | 0.00 | -0.35 | -0.69 | 2.47 | 0.00 | -0.02 | ... | 0.02 |
| 24 | 0.49 | -0.46 | -0.02 | -0.30 | 0.00 | -0.09 | 0.22 | -0.46 | 0.00 | -0.03 | ... | 0.05 |
| ... | ... | ... | ... | ... | ... | ... | ... | ... | ... | ... | ... | ... |
| 511 | 0.05 | -0.01 | -0.03 | 0.03 | 0.00 | 0.01 | 0.02 | -0.08 | 0.00 | 0.00 | ... | -0.01 |

čia matricos elementų reikšmės pateikiamos tikslumu 10^{-2} .

Šiai procedūrai atlikti prireikė 0,249 sekundės.

Randame vaizdo fragmento $[X^{(k_1, k_2)}(m_1, m_2)]$ spektrą $[Y^{(k_1, k_2)}(u, v)]$ iš viso vaizdo spektro, remdamiesi spektrinio koeficiento $[Y(k_1, k_2)]$ savybėmis (žr. 1.4 skyrių), tai yra, realizuojame fragmentinio HT spektro radimo algoritmą (modifikuotą versiją) (žr. 2.3 skyrių).

Akivaizdu, kad šio algoritmo realizacijos rezultatas yra vaizdo fragmento spektras $[Y^{(k_1, k_2)}(u, v)]$:



5.5 pav. Vaizdo fragmento $[X^{(2,2)}(m_1, m_2)]$ spektro $[Y^{(2,2)}(u, v)]$ grafinis vaizdavimas, gautas 2 būdu

5.4 lentelė

Vaizdo fragmento $[X^{(2,2)}(m_1, m_2)]$ spektro $[Y^{(2,2)}(u, v)]$ matrica, gauta 2 būdu

| | 0 | 1 | 2 | 3 | 4 | 5 | 6 | 7 | 8 | 9 | 10 | ... | 511 |
|----|-------|-------|-------|-------|-------|-------|-------|-------|------|-------|-------|-----|-------|
| 0 | 36.83 | 15.20 | 10.29 | -7.34 | -1.66 | -2.63 | 0.91 | -1.90 | 0.12 | -1.17 | -2.10 | ... | -0.02 |
| 1 | 6.51 | 12.02 | 4.02 | -5.67 | 1.58 | -1.07 | -3.94 | -2.49 | 0.27 | 0.77 | 0.30 | ... | -0.05 |
| 2 | -4.80 | 4.10 | 3.52 | -0.38 | 0.38 | 1.30 | -0.34 | 1.07 | 0.27 | 0.28 | 0.39 | ... | 0.04 |
| 3 | -6.06 | 1.71 | 1.95 | 2.80 | 0.67 | -0.55 | -0.46 | 0.13 | 0.09 | 0.22 | 0.60 | ... | 0.00 |
| 4 | -3.97 | 8.74 | 1.33 | 1.71 | 0.23 | 1.77 | -0.06 | 0.62 | 0.38 | 0.00 | -0.55 | ... | -0.02 |
| 5 | -0.70 | -0.24 | 0.26 | -1.07 | 0.29 | -0.63 | 1.71 | -5.63 | 0.00 | 0.38 | -0.19 | ... | -0.07 |
| 6 | -0.83 | -0.77 | 0.63 | -0.92 | 0.34 | -0.46 | -0.68 | -0.14 | 0.01 | 0.11 | -0.17 | ... | 0.02 |
| 7 | 2.24 | -2.71 | 0.12 | -4.08 | 0.08 | 1.06 | -0.90 | -0.16 | 0.05 | -0.15 | 0.15 | ... | 0.01 |
| 8 | 1.41 | 4.27 | 0.42 | -0.57 | 0.13 | 0.16 | 1.78 | -1.49 | 0.19 | 0.21 | -0.70 | ... | 0.01 |
| 9 | -3.21 | 2.08 | 0.80 | 3.25 | 0.00 | 1.07 | 0.39 | 3.60 | 0.00 | 0.00 | 0.05 | ... | 0.01 |
| 10 | 0.20 | -1.52 | 0.92 | -0.92 | 0.01 | 0.39 | -0.99 | -0.10 | 0.00 | 0.02 | -0.26 | ... | 0.07 |
| 11 | 5.45 | -4.46 | -0.84 | -0.20 | 0.10 | -0.52 | -1.22 | -2.53 | 0.00 | 0.10 | 0.06 | ... | -0.01 |
| 12 | 1.00 | -1.18 | -0.05 | -0.14 | 0.13 | -0.13 | 0.17 | 0.12 | 0.00 | 0.06 | -0.27 | ... | 0.03 |
| 13 | -1.62 | 0.13 | 0.93 | -0.04 | 0.08 | 0.62 | -0.73 | -0.06 | 0.01 | -0.05 | -0.05 | ... | -0.02 |
| 14 | 1.15 | -0.31 | -0.79 | 0.60 | 0.13 | -1.30 | 0.81 | 0.42 | 0.01 | 0.06 | 0.32 | ... | 0.04 |
| 15 | -0.20 | 0.04 | 0.35 | -0.17 | -0.22 | 0.10 | 0.77 | -0.93 | 0.03 | -0.20 | -0.27 | ... | -0.01 |
| 16 | -0.46 | 2.00 | -0.04 | 1.87 | -0.27 | -0.66 | 0.73 | -0.06 | 0.54 | -0.30 | -0.32 | ... | 0.00 |
| 17 | 1.12 | 1.03 | 0.05 | -0.87 | 0.14 | 0.31 | -0.62 | 0.54 | 0.25 | -0.14 | -0.10 | ... | -0.02 |
| 18 | -1.73 | 1.22 | 0.36 | 1.08 | 0.00 | 0.51 | -0.36 | -0.37 | 0.00 | 0.00 | 0.00 | ... | 0.00 |
| 19 | -0.44 | 0.22 | 0.15 | 0.04 | 0.00 | 0.12 | 0.78 | 0.35 | 0.00 | 0.00 | 0.07 | ... | -0.01 |

| | | | | | | | | | | | | | |
|-----|-------|-------|-------|-------|------|-------|-------|-------|------|-------|-------|-----|-------|
| 20 | 1.00 | -1.43 | 0.30 | -0.97 | 0.00 | 0.02 | -0.94 | 0.42 | 0.00 | 0.00 | 0.13 | ... | -0.01 |
| 21 | -1.72 | 1.61 | 0.05 | 0.27 | 0.02 | -0.15 | -0.97 | 1.57 | 0.00 | 0.02 | -0.22 | ... | -0.06 |
| 22 | 2.32 | -1.87 | -0.39 | -0.74 | 0.05 | -0.43 | 0.91 | -3.71 | 0.00 | 0.07 | 0.05 | ... | 0.00 |
| 23 | 2.01 | -1.80 | -0.15 | -1.37 | 0.00 | -0.35 | -0.69 | 2.47 | 0.00 | -0.02 | 0.09 | ... | 0.02 |
| 24 | 0.49 | -0.46 | -0.02 | -0.30 | 0.00 | -0.09 | 0.22 | -0.46 | 0.00 | -0.03 | -0.03 | ... | 0.05 |
| ... | ... | ... | ... | ... | ... | ... | ... | ... | ... | ... | ... | ... | ... |
| 511 | 0.05 | -0.01 | -0.03 | 0.03 | 0.00 | 0.01 | 0.02 | -0.08 | 0.00 | 0.00 | 0.03 | ... | -0.01 |

čia matricos elementų reikšmės pateikiamos tikslumu 10^{-2} .

Šiai procedūrai atlikti prirėikė 0,093 sekundės.

Pastebėkime, kad tiek pirmuoju, tiek antruoju metodais gauti rezultatai yra identiški, tačiau antrasis metodas yra efektyvesnis už pirmąjį, kadangi jam atlikti prirėikė mažiau laiko.

Tikslesniam greičio nustatymui paimekime dar 4 papildomas nuotraukas:



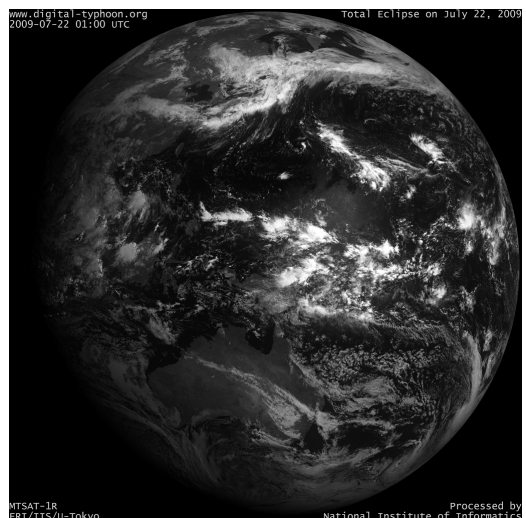
5.6 pav. „poker.bmp“, kai $N_1 = N_2 = 1024$



5.7 pav. „suzuki.bmp“, kai $N_1 = N_2 = 1024$



5.8 pav. „rainbow.bmp“, kai $N_1 = N_2 = 1024$



5.9 pav. „earth.bmp“, kai $N_1 = N_2 = 1024$

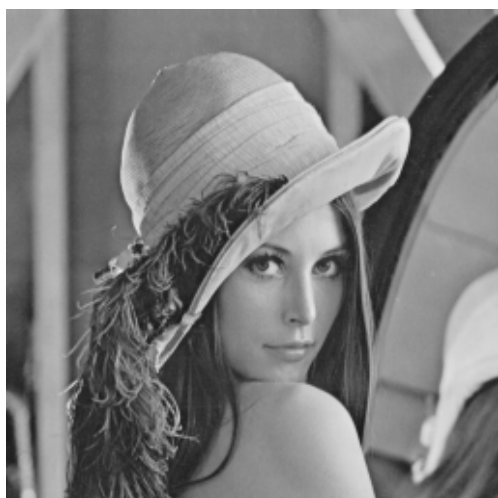
Su kiekviena iš šių nuotraukų atliksime aukščiau šiame skyriuje aprašytas procedūras ir gautus rezultatus pateiksime lentelėje:

5.5 lentelė

Dviem metodais gauto vaizdo fragmento radimo greičių palyginimas

| Fragmento dydis, px | 3.1 pav. | | 3.6 pav. | | 3.7 pav. | | 3.8 pav. | | 3.9 pav. | |
|---------------------|---------------------|---------------------|---------------------|---------------------|---------------------|---------------------|---------------------|---------------------|---------------------|---------------------|
| | 1 met. laikas, msec | 2 met. laikas, msec | 1 met. laikas, msec | 2 met. laikas, msec | 1 met. laikas, msec | 2 met. laikas, msec | 1 met. laikas, msec | 2 met. laikas, msec | 1 met. laikas, msec | 2 met. laikas, msec |
| 512x512 | 253 | 94 | 248 | 94 | 256 | 94 | 249 | 94 | 228 | 59 |
| 256x256 | 158 | 21 | 154 | 20 | 153 | 21 | 156 | 23 | 108 | 9 |
| 128x128 | 110 | 8 | 100 | 7 | 112 | 6 | 114 | 7 | 43 | 7 |
| 64x64 | 97 | 3 | 95 | 2 | 100 | 2 | 98 | 3 | 31 | 2 |

2. Tirsime SPIHT algoritmo efektyvumą. Tam paimsime 256 x 256 matmenų vaizdą $[X(m_1, m_2)]$ „lena.bmp“



5.10 pav. „lena.bmp“, VKP = 0

Čia VKP yra vidutinė kvadratinė paklaida, lyginant vaizdą su originaliu vaizdu. Kuo ši paklaida didesnė, tuo vaizdas labiau suspaustas.

5.6 lentelė

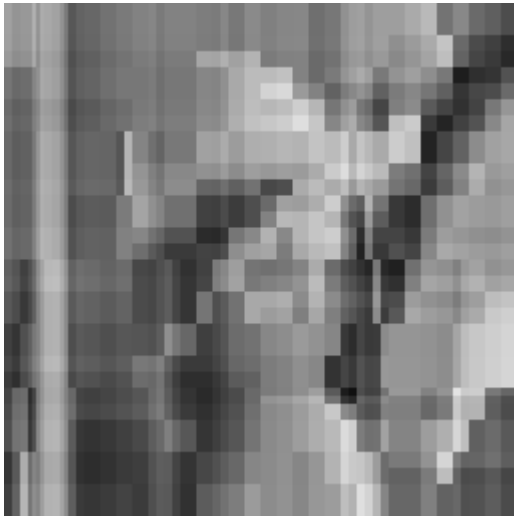
Vaizdo „lena.bmp“ 256x256 SPIHT efektyvumo tyrimas

| Eilės nr. | Atkurtų bitų skaičius vienam pikseliui (max. 23) | Užkodavimo laikas, s | Dekodavimo laikas, s | k_1 | k_2 | VKP | Pastabos |
|-----------|--|----------------------|----------------------|-------|-------|--------|---|
| 1 | 10 | 101 | 4,019 | 1 | 1 | 567,09 | |
| 2 | 12 | 101 | 4,366 | 1 | 1 | 316,76 | |
| 3 | 13 | 101 | 4,368 | 1 | 1 | 222,06 | |
| 4 | 15 | 101 | 5,089 | 1 | 1 | 89,67 | |
| 5 | 20 | 101 | 7,754 | 1 | 1 | 1,42 | |
| 6 | 23 | 101 | 100 | 1 | 1 | 0 | Originalus vaizdas |
| 7 | 13 | 101 | 4,39 | 2 | 1 | 110,35 | Kairė pusė vaizdo geros kokybės |
| 8 | 13 | 101 | 4,377 | 2 | 3 | 159,54 | Viršutinis dešinys vaizdo ketvirtis geros kokybės |
| 9 | 13 | 101 | 4,377 | 3 | 3 | 174,33 | Apatinis dešinys vaizdo ketvirtis geros kokybės |

Iš lentelėje pateiktų duomenų matyti, kad užkodavimo laikas visada toks pats. Taip yra todėl, kad vaizdą visada užkoduoju pilnai, siekdami išvengti informacijos praradimo jį

atkuriant. ir parodo, kuris vaizdo fragmentas bus atkurtas pilnai, tai yra, išliks originalaus vaizdo kokybės (žr. 2.1 skyrelį).

Pateikiame SPIHT algoritmo dekodavimo metu gautus suspaustus vaizdus:



5.11 pav. 1. „lena.bmp“, VKP = 567,09



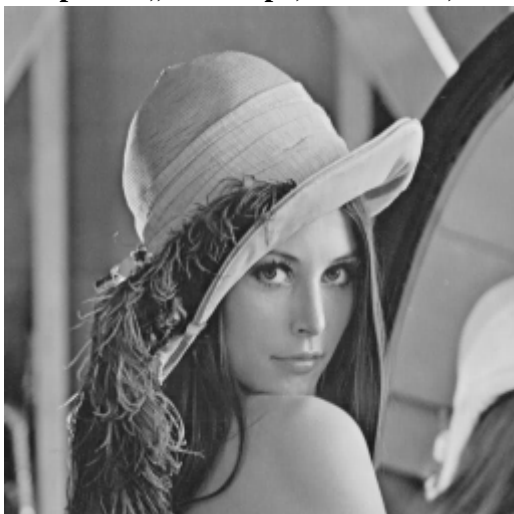
5.12 pav. 2. „lena.bmp“, VKP = 316,76



5.13 pav. 3. „lena.bmp“, VKP = 222,06



5.14 pav. 4. „lena.bmp“, VKP = 89,67



5.15 pav. 5. „lena.bmp“, VKP = 1,42



5.17 pav. 8. „lena.bmp“, VKP = 1,42

5.16 pav. 7. „lena.bmp“, VKP = 222,06



5.18 pav. 9. „lena.bmp“, VKP = 174,33

6. IŠVADOS

1. Diskrečioji Haar bangelių transformacija turi labai svarbią savybę praktiniu požiūriu – skaitmeniniame signale (vaizde) sukaupia informacija išdėstoma ir pagal dažnį, ir erdvėje.
2. Modifikuotas rekurentinis fragmentinio Haar spektro radimo algoritmas supaprastino programos realizaciją C++ aplinkoje.
3. Vaizdo fragmento spektras iš mažesnių matmenų vaizdo tiek vienu, tiek ir kitu metodais randamas per daug trumpesnę laiką, nei analogiškas vaizdo fragmentas iš didesnių matmenų vaizdo.
4. Skirtingiems vienodų matmenų vaizdams, jų fragmentų spektrų radimui, naudojant tiek vieną, tiek ir kitą metodus, procedūrų atlikimo greičiai niekaip nepriklauso nuo vaizdo specifikos (elementų reikšmių).
5. Ieškant vaizdo fragmento spektro iš viso to vaizdo spektro (žr. 3 skyrių, 2 metodas), skaičiavimai atliekami žymiai greičiau, negu ieškant to paties vaizdo fragmento spektro, naudojant diskrečiąją Haar transformaciją (žr. 3 skyrių, 1 metodas).
6. Haar transformacijos greito skaičiavimo algoritmas Andrews modifikuotas taip, kad atlikus Haar transformaciją, spektro elementai yra tik sveikieji skaičiai. Modifikavimo privalumas toks, kad Haar transformacija veikia su SPIHT algoritmu. Trūkumas – iš tokio spektro negalime išrinkti norimo vaizdo fragmento, kadangi prarasta Haar spektro lokalizavimo erdvėje savybė.
7. Haar transformacija ir SPIHT algoritmas teoriškai nėra suderinami tarpusavyje, kadangi SPIHT algoritmas dirba tik su sveikaisiais skaičiais, kai tuo tarpu Haar transformacijos metu gauti rezultatai yra realieji skaičiai. Nepaisant to, praktiškai šių dviejų algoritmų veikimą iš dalies pavyko suderinti, tačiau jis yra neefektyvus, nes vaizdo užkodavimas trunka ilgai ir programa veikia su vaizdais iki matmenų 256×256 .

LITERATŪRA

1. Jonas Valantinas. Diskrečiosios transformacijos (mokomoji knyga), Technologija, 2009.
2. James S. Walker. A Primer on Wavelets and their Scientific Applications, Second Edition, Chapman and Hall/CRC, 1999, p. 5-33.
3. <http://www.cis.udel.edu/~amer/CISC651/IEEEwavelet.pdf>
4. http://cas.ensmp.fr/~chaplais/Wavetour_presentation/transformees/Transforms.html
5. <http://www.math.okstate.edu/~wrightd/5593/waveletsI/node1.html>
6. <http://www.dtic.upf.edu/~xserra/cursos/TDP/referencias/Park-DWT.pdf>
7. <http://cam.mathlab.stthomas.edu/wavelets/pdffiles/USF09/DigitalImages.pdf>
8. <http://cam.mathlab.stthomas.edu/wavelets/pdffiles/USF09/HaarWaveletTransform.pdf>
10. http://www.cipr.rpi.edu/research/SPIHT/EW_Code/csvt96_sp.pdf
11. http://www.cipr.rpi.edu/~pearlman/papers/ex_spiht-ezw.pdf
12. http://www.cipr.rpi.edu/~pearlman/papers/Part1_SPC.pdf
13. <http://www.cipr.rpi.edu/~pearlman/>

1 PRIEDAS. PROGRAMA C++ KALBA

```
//-----  
--  
  
#include <vcl.h>  
#pragma hdrstop  
  
#include "Unit1.h"  
#include "Unit2.h"  
#include "Unit3.h"  
#include <math.h>  
  
//-----  
--  
  
#pragma package(smart_init)  
#pragma resource "*.dfm"  
TForm1 *Form1;  
//-----  
--  
  
__fastcall TForm1::TForm1(TComponent* Owner)  
    : TForm(Owner)  
{  
}  
//-----  
--  
  
void TForm1::AllocMemForDoubleMatrix(double **&A, int RowCount, int  
ColCount)  
// Allocates memory for new dynamic matrix  
{  
    A = new double*[RowCount];  
    for (int i = 0; i < RowCount; i++)  
        A[i] = new double[ColCount];  
  
    for (int i = 0; i < RowCount; i++)  
        for (int j = 0; j < ColCount; j++)  
            A[i][j] = 0;  
}  
//-----  
--  
  
//(120515+++ actions with double)  
void TForm1::FindSpectrumDouble(double **X, double **Y, int m, int n, bool  
Rows)  
{  
    double* T = new double[n];  
  
    int itercount = Log2(n); // Iteration count  
  
    for (int i = 0; i < m; i++)  
    {  
        int tmp_n = n;  
        // Copy matrix collumn to vector  
        for (int j = 0; j < n; j++)  
            if (Rows)  
                T[j] = Y[i][j];  
            else  
                T[j] = X[j][i];  
        for (int s = 0; s < itercount; s++)  
        {  
            int k = 0;  
            for (int j = 0; j < tmp_n; j += 2)  
            {  
                if (Rows)
```

```

        {
            Y[i][k] = T[j] + T[j+1];
            Y[i][k+(tmp_n/2)] = T[j] - T[j+1];
        }
        else
        {
            Y[k][i] = T[j] + T[j+1];
            Y[k+(tmp_n/2)][i] = T[j] - T[j+1];
        }
        k++;
    }

    tmp_n = (int)tmp_n / 2;

    for (int j = 0; j < tmp_n; j++)
        if (Rows)
            T[j] = Y[i][j];
        else
            T[j] = Y[j][i];

    // Multiply by weight
    if (tmp_n != 1)
    {
        for (int j = tmp_n; j < n; j++)
            if (Rows)
                Y[i][j] = Y[i][j]*sqrt(2);
            else
                Y[j][i] = Y[j][i]*sqrt(2);
    }
}
}
delete []T;

// Multiply spectrum elements by 1/n
for (int i = 0; i < m; i++)
    for (int j = 0; j < n; j++)
        if (Rows)
            Y[i][j] = Y[i][j] / n;
        else
            Y[j][i] = Y[j][i] / n;
}
//-----
--
void TForm1::FindViewDouble(double **X, double **Y, int m, int n, bool
Rows)
{
double* T = new double[n];

    int itercount = Log2(n); // Iteration count

    for (int i = 0; i < m; i++)
    {
        int tmp_n = 2;

        // Copy matrix collumn to vector
        for (int j = 0; j < n; j++)
            if (Rows)
                T[j] = Y[i][j];
            else
                T[j] = X[j][i];

        for (int s = 0; s < itercount; s++)
        {
            // Multiply by weight

```

```

    for (int j = tmp_n; j < n; j++)
        T[j] = T[j] * sqrt(2);

    int k = 0;
    for (int j = 0; j < tmp_n; j += 2)
    {
        if (Rows)
        {
            X[i][j] = T[k] + T[k+tmp_n/2];
            X[i][j+1] = T[k] - T[k+tmp_n/2];
        }
        else
        {
            X[j][i] = T[k] + T[k+tmp_n/2];
            X[j+1][i] = T[k] - T[k+tmp_n/2];
        }
        k++;
    }

    for (int j = 0; j < tmp_n; j++)
        if (Rows)
            T[j] = X[i][j];
        else
            T[j] = X[j][i];

    tmp_n = (int)tmp_n * 2;
}
}
delete []T;
}
//-----
--
void TForm1::PrintToStringGridDouble(double **A, int RowCount, int
ColCount, TStringGrid *SG)
{
    SG->RowCount = RowCount+1;
    SG->ColCount = ColCount+1;
    for (int i = 1; i <= RowCount; i++)
    {
        SG->Cells[0][i] = i-1;
        SG->Cells[i][0] = i-1;
        for (int j = 1; j <= ColCount; j++)
        {
            SG->Cells[j][i] = A[i-1][j-1];
        }
    }
}
//-----
--
void TForm1::DrawToCanvasDouble(double **A, int RowCount, int ColCount,
TImage *IM)
{
    //Clear Image Canvas
    for (int i = 0; i < Height; i++)
        for (int j = 0; j < Width; j++)
            IM->Canvas->Pixels[j][i] = (TColor)RGB(255,255,255);

    for (int i = 0; i < RowCount; i++)
        for (int j = 0; j < ColCount; j++)
            IM->Canvas->Pixels[j][i] =
(TColor)RGB(fabs(A[i][j])*pow(2,11),fabs(A[i][j])*pow(2,11),fabs(A[i][j])*p
ow(2,11));
}

```

```

//-----
--
void TForm1::ChangeLuminanceDouble(double **A, int RowCount, int ColCount,
                                   int multiplier, TStringGrid *SG, TImage *IM)
{
    for (int i = 0; i < RowCount; i++)
        for (int j = 0; j < ColCount; j++)
            {
                IM->Canvas->Pixels[j][i] = (TColor)RGB(255,255,255);
                if (multiplier != 1)
                    {
                        double absolute = fabs(A[i][j]) * multiplier;

                        //if (absolute - 0.000001 < 0) {
                            //absolute = 0.000001;
                            //absolute = absolute * multiplier;
                        //}

                        if (absolute > 255)
                            absolute = 255;

                        if ((i+1 < RowCount) && (j+1 < ColCount))
                            SG->Cells[j+1][i+1] = absolute;
                        IM->Canvas->Pixels[j][i] = (TColor)RGB(absolute,absolute,absolute);
                    }
                else
                    {
                        SG->Cells[j+1][i+1] = A[i][j];
                        IM->Canvas->Pixels[j][i] = (TColor)RGB(A[i][j],A[i][j],A[i][j]);
                    }
            }
}
//-----
--
void TForm1::SaveToCSVDouble(double **A, int RowCount, int ColCount,
                              AnsiString FileName)
{
    ofstream fr(FileName.c_str());

    fr << ";";
    for (int j = 0; j < ColCount; j++)
        fr << j << ";";
    fr << endl;

    for (int i = 0; i < RowCount; i++)
        {
            fr << i << ";";
            for (int j = 0; j < ColCount; j++)
                fr << A[i][j] << ";";
            fr << endl;
        }
    fr.close();

    /*FR = fopen(FileName.c_str(), "w");
    for (int i = 0; i < RowCount; i++)
        {
            for (int j = 0; j < ColCount; j++)
                fprintf(FR, "%d", FloatToStr(A[i][j]), ";");
            fprintf(FR, "\n");
        }
    fclose(FR);*/
}
//-----
--

```

```

void TForm1::FindPartFromViewDouble(int k1, int k2, int &lh, int &lw)
{
    bool firsttime = true;
    int StartRow, EndRow,
        StartCol, EndCol,
        RowCount, ColCount;

    for (int i = 0; i < Height; i++)
        if (H1[k1][i] != 0)
            {
                if (firsttime)
                    {
                        StartRow = i;
                        firsttime = false;
                    }
                EndRow = i;
            }

    firsttime = true;
    for (int i = 0; i < Width; i++)
        if (H2[k2][i] != 0)
            {
                if (firsttime)
                    {
                        StartCol = i;
                        firsttime = false;
                    }
                EndCol = i;
            }

    lh = EndRow - StartRow + 1; // Fragment row count
    lw = EndCol - StartCol + 1; // Fragment collumn count

    AllocMemForDoubleMatrix(XfragFViewDbl, lh, lw);

    for (int i = 0; i < lh; i++)
        for (int j = 0; j < lw; j++)
            XfragFViewDbl[i][j] = XDb1[StartRow+i][StartCol+j];

    AllocMemForDoubleMatrix(YfragFViewDbl, lh, lw);

    //Find fragment spectrum
    FindSpectrumDouble(XfragFViewDbl, YfragFViewDbl, lw, lh, false); //
Transform Collumns
    FindSpectrumDouble(XfragFViewDbl, YfragFViewDbl, lh, lw, true); //
Transform Rows

    //(120514+++
    StartFragmentCordX = StartRow;
    StartFragmentCordY = StartCol;
    //(---120514)
}
//(--120515)
//-----
--
void TForm1::FindSpectrum(long long int **X, long long int **Y, int m, int
n, bool Rows)
{
    long long int* T = new long long int[n];

    int itercount = Log2(n); // Iteration count

    for (int i = 0; i < m; i++)
        {

```

```

int tmp_n = n;
// Copy matrix collumn to vector
for (int j = 0; j < n; j++)
    if (Rows)
        T[j] = Y[i][j];
    else
        T[j] = X[j][i];
for (int s = 0; s < itercount; s++)
{
    int k = 0;
    for (int j = 0; j < tmp_n; j += 2)
    {
        if (Rows)
        {
            Y[i][k] = T[j] + T[j+1];
            Y[i][k+(tmp_n/2)] = T[j] - T[j+1];
        }
        else
        {
            Y[k][i] = T[j] + T[j+1];
            Y[k+(tmp_n/2)][i] = T[j] - T[j+1];
        }
        k++;
    }

    tmp_n = (int)tmp_n / 2;

    for (int j = 0; j < tmp_n; j++)
        if (Rows)
            T[j] = Y[i][j];
        else
            T[j] = Y[j][i];

    // Multiply by weight (12.03.10+++ commented)
    /*
    if (tmp_n != 1)
    {
        for (int j = tmp_n; j < n; j++)
            if (Rows)
                Y[i][j] = Y[i][j]*sqrt(2);
            else
                Y[j][i] = Y[j][i]*sqrt(2);
    }
    */
    //(---12.03.10)
}
}
delete []T;

// Multiply spectrum elements by 1/n
//(120510+++ commented because spectrum elements must be integer)
/*
for (int i = 0; i < m; i++)
    for (int j = 0; j < n; j++)
        if (Rows)
            Y[i][j] = Y[i][j] / n;
        else
            Y[j][i] = Y[j][i] / n;
*/
//(---120510)
}
//-----
--

```

```

void TForm1::FindView(long long int **X, long long int **Y, int m, int n,
bool Rows)
{
long long int* T = new long long int[n];

int itercount = Log2(n); // Iteration count

for (int i = 0; i < m; i++)
{
int tmp_n = 2;

// Copy matrix collumn to vector
for (int j = 0; j < n; j++)
if (Rows)
T[j] = Y[i][j];
else
T[j] = X[j][i];

for (int s = 0; s < itercount; s++)
{
// Multiply by weight
/* (120310+++ commented)
for (int j = tmp_n; j < n; j++)
T[j] = T[j] * sqrt(2);
(---12.03.10) */

int k = 0;
for (int j = 0; j < tmp_n; j += 2)
{
if (Rows)
{
/* (120310+++) commented
X[i][j] = T[k] + T[k+tmp_n/2];
X[i][j+1] = T[k] - T[k+tmp_n/2];
*/
X[i][j] = (T[k] + T[k+tmp_n/2]) / 2;
X[i][j+1] = (T[k] - T[k+tmp_n/2]) / 2;
//(---120310)
}
else
{
/* (120310+++) commented
X[j][i] = T[k] + T[k+tmp_n/2];
X[j+1][i] = T[k] - T[k+tmp_n/2];
*/
X[j][i] = (T[k] + T[k+tmp_n/2]) / 2;
X[j+1][i] = (T[k] - T[k+tmp_n/2]) / 2;
//(---120310)
}
k++;
}

for (int j = 0; j < tmp_n; j++)
if (Rows)
T[j] = X[i][j];
else
T[j] = X[j][i];

tmp_n = (int)tmp_n * 2;
}
}
delete []T;

//(120510+++ commented because spectrum elements must be integer)

```

```

/*
//(120310+++)
// Multiply view elements by n
for (int i = 0; i < m; i++)
    for (int j = 0; j < n; j++)
        if (Rows)
            X[i][j] = X[i][j] * n; //commented
        else
            X[j][i] = X[j][i] * n;
//(--12.03.10)
*/
//(--120510 commented)
}
//-----
--
void TForm1::PrintToStringGrid(long long int **A, int RowCount, int
ColCount, TStringGrid *SG)
{
    SG->RowCount = RowCount+1;
    SG->ColCount = ColCount+1;
    for (int i = 1; i <= RowCount; i++)
    {
        SG->Cells[0][i] = i-1;
        SG->Cells[i][0] = i-1;
        for (int j = 1; j <= ColCount; j++)
        {
            SG->Cells[j][i] = A[i-1][j-1];
        }
    }
}
//-----
--
void TForm1::DrawToCanvas(long long int **A, int RowCount, int ColCount,
TImage *IM)
{
    //Clear Image Canvas
    for (int i = 0; i < Height; i++)
        for (int j = 0; j < Width; j++)
            IM->Canvas->Pixels[j][i] = (TColor)RGB(255,255,255);

    for (int i = 0; i < RowCount; i++)
        for (int j = 0; j < ColCount; j++)
            //IM->Canvas->Pixels[j][i] =
(TColor)RGB(fabs(A[i][j])*pow(2,11),fabs(A[i][j])*pow(2,11),fabs(A[i][j])*p
ow(2,11));
            IM->Canvas->Pixels[j][i] =
(TColor)RGB(abs(A[i][j]),abs(A[i][j]),abs(A[i][j]));
}
//-----
--
void TForm1::ChangeLuminance(long long int **A, int RowCount, int ColCount,
int multiplier, TStringGrid *SG, TImage *IM)
{
    for (int i = 0; i < RowCount; i++)
        for (int j = 0; j < ColCount; j++)
        {
            IM->Canvas->Pixels[j][i] = (TColor)RGB(255,255,255);
            if (multiplier != 1)
            {
                long long int absolute = abs(A[i][j]) * multiplier;

                //if (absolute - 0.000001 < 0) {
                //absolute = 0.000001;
                //absolute = absolute * multiplier;
            }
        }
}

```



```

        //}

        if (absolute > 255)
            absolute = 255;

        if ((i+1 < RowCount) && (j+1 < ColCount))
            SG->Cells[j+1][i+1] = absolute;
            IM->Canvas->Pixels[j][i] = (TColor)RGB(absolute,absolute,absolute);
        }
        else
        {
            SG->Cells[j+1][i+1] = A[i][j];
            IM->Canvas->Pixels[j][i] = (TColor)RGB(A[i][j],A[i][j],A[i][j]);
        }
    }
}
//-----
--
void TForm1::SaveToCSV(long long int **A, int RowCount, int ColCount,
AnsiString FileName)
{
    ofstream fr(FileName.c_str());

    fr << ";";
    for (int j = 0; j < ColCount; j++)
        fr << j << ";";
    fr << endl;

    for (int i = 0; i < RowCount; i++)
    {
        fr << i << ";";
        for (int j = 0; j < ColCount; j++)
            fr << A[i][j] << ";";
        fr << endl;
    }
    fr.close();

    /*FR = fopen(FileName.c_str(), "w");
    for (int i = 0; i < RowCount; i++)
    {
        for (int j = 0; j < ColCount; j++)
            fprintf(FR, "%d", FloatToStr(A[i][j]), ";");
        fprintf(FR, "\n");
    }
    fclose(FR);*/
}
//-----
--
void TForm1::FindHTMatrix(double **A, int N)
//Finds HT matrix
{
    int i = 0;
    int n = Log2(N);
    DiscrHaarFunctSet(A, 0, 0, N, i);
    for (int r = 0; r < n; r++)
        for (int m = 1; m <= pow(2,r); m++) {
            i++;
            DiscrHaarFunctSet(A, r, m, N, i);
        }
}
//-----
--
void TForm1::DiscrHaarFunctSet(double **A, int r, int m, int N, int RowNo)
//Discretizes Haar function set

```

```

{
    int StartInd = ((m-1) / pow(2,r)) * N;
    int MiddleInd = ((m - 0.5) / pow(2,r)) * N;
    int EndInd = (m / pow(2,r)) * N;
    double elem = pow(2,0.5*r);
    for (int j = 0; j < N; j++) {
        A[RowNo][j] = 0;

        //Exception for the first line
        if (RowNo == 0)
            A[RowNo][j] = 1;

        if ((StartInd <= j) && (j < MiddleInd))
            A[RowNo][j] = elem;
        if ((MiddleInd <= j) && (j < EndInd))
            A[RowNo][j] = -elem;
    }
}

//-----
--
void TForm1::FindPartFromView(int k1, int k2, int &lh, int &lw)
{
    bool firsttime = true;
    int StartRow, EndRow,
        StartCol, EndCol,
        RowCount, ColCount;

    for (int i = 0; i < Height; i++)
        if (H1[k1][i] != 0)
        {
            if (firsttime)
            {
                StartRow = i;
                firsttime = false;
            }
            EndRow = i;
        }

    firsttime = true;
    for (int i = 0; i < Width; i++)
        if (H2[k2][i] != 0)
        {
            if (firsttime)
            {
                StartCol = i;
                firsttime = false;
            }
            EndCol = i;
        }

    lh = EndRow - StartRow + 1; // Fragment row count
    lw = EndCol - StartCol + 1; // Fragment collumn count

    AllocMemForLongIntMatrix(XfragFView, lh, lw);

    for (int i = 0; i < lh; i++)
        for (int j = 0; j < lw; j++)
            XfragFView[i][j] = X[StartRow+i][StartCol+j];

    AllocMemForLongIntMatrix(YfragFView, lh, lw);

    //Find fragment spectrum

```

```

    FindSpectrum(XfragFView, YfragFView, lw, lh, false); // Transform
Columns
    FindSpectrum(XfragFView, YfragFView, lh, lw, true); // Transform Rows

    //(120514+++
    StartFragmentCordX = StartRow;
    StartFragmentCordY = StartCol;
    //(---120514)
}
//-----
--
void TForm1::FillAlphaBeta(int *&A ,int k, int n)
{
    // Fills Alpha and Beta array
    A = new int[n+1];
    A[0] = k;
    for (int i = 1; i <= n; i++)
        A[i] = (int)A[i-1] / 2;
}
//-----
--
int TForm1::SolveFunctionA(int k1, int k2, int s2, int n2)
{
    double a = Y[k1][0];
    if (k2 > 1)
        for (int r = 1; r <= n2 - s2; r++)
            a += pow(-1, Beta[r-1]) * sqrt(pow(2,n2-s2-r)) * Y[k1][Beta[r]];
    return(a);
}
//-----
--
int TForm1::SolveFunctionB(int k1, int k2, int s1, int n1)
{
    double b = Y[0][k2];
    if (k1 > 1)
        for (int r = 1; r <= n1 - s1; r++)
            b += pow(-1, Alpha[r-1]) * sqrt(pow(2,n1-s1-r)) * Y[Alpha[r]][k2];
    return(b);
}
//-----
--
void TForm1::FindSpectralCoeffs(int k1, int k2, int N)
{
    int s1, l1, n1;
    n1 = Log2(Height);
    s1 = n1 - (int)Log2(k1);
    l1 = k1 - pow(2,n1-s1);

    int s2, l2, n2;
    n2 = Log2(Width);
    s2 = n2 - (int)Log2(k2);
    l2 = k2 - pow(2,n2-s2);

    // Find array length
    int length1 = 0;
    for (int i = 0; i < s1; i++)
        length1 += pow(2,i);

    int length2 = 0;
    for (int i = 0; i < s2; i++)
        length2 += pow(2,i);

    // Allocate memory for new array
    int *T1 = new int[length1];

```

```

int *T2 = new int[length2];

// Find Tau
int i = 0;
for (int t = 1; t < s1; t++)
    for (int j = pow(2,t)*k1; j <= pow(2,t)*(k1+1)-1; j++)
        {
            i++;
            T1[i] = j;
        }

i = 0;
for (int t = 1; t < s2; t++)
    for (int j = pow(2,t)*k2; j <= pow(2,t)*(k2+1)-1; j++)
        {
            i++;
            T2[i] = j;
        }

// Fill Alpha and Beta array
FillAlphaBeta(Alpha,k1,n1-s1);
FillAlphaBeta(Beta,k2,n2-s2);

// Allocate memory for matrix
AllocMemForLongIntMatrix(XfragFSpectr, Height, Width);

// Find zero coefficient
int kp1, kp2;
kp1 = (int) k1 / 2; // k1 / 2 integral part
kp2 = (int) k2 / 2; // k2 / 2 integral part
XfragFSpectr[0][0] = 0;
while ((kp1 > 1) && (kp2 > 1))
{
    XfragFSpectr[0][0] += Y[kp1][kp2] + pow(-1,k1) * sqrt(pow(2,n1-s1-1)) *
        SolveFunctionA(kp1, kp2, s2, n2) +
        + pow(-1,k2) * sqrt(pow(2,n2-s2-1)) *
        SolveFunctionB(kp1, kp2, s1, n1) +
        + pow(-1,k1+k2) * sqrt(pow(2,n1+n2-s1-s2-2)) *
        Y[kp1][kp2];

    kp1 = (int) kp1 / 2;
    kp2 = (int) kp2 / 2;
}

// Add element to Tau
T1[0] = k1;
T2[0] = k2;

// Find (u,0) coeffs
for (int u = 1; u <= pow(2,s1)-1; u++)
    XfragFSpectr[u][0] = sqrt(pow(2,n1-s1)) * SolveFunctionA(T1[u-1],k2,s2,n2);

// Find (0,v) coeffs
for (int v = 1; v <= pow(2,s2)-1; v++)
    XfragFSpectr[0][v] = sqrt(pow(2,n2-s2)) * SolveFunctionB(k1,T2[v-1],s1,n1);

//Find (u,v) coeffs
for (int u = 1; u <= pow(2,s1)-1; u++)
    for (int v = 1; v <= pow(2,s2)-1; v++)
        XfragFSpectr[u][v] = sqrt(pow(2,n1*n2-s1-s2)) * Y[T1[u-1]][T2[v-1]];

```

```

}
//-----
--
void TForm1::FindSpectralCoeffsNewAlgoorythm(int k1, int k2, int &fauk, int
&fplo)
{
    // Find spectral coefficients using new algoorythm
    int i1, l1, n1;
    n1 = Log2(Height);
    i1 = n1 - (int)Log2(k1);
    //l1 = k1 - pow(2,n1-i1);

    int i2, l2, n2;
    n2 = Log2(Width);
    i2 = n2 - (int)Log2(k2);
    //l2 = k2 - pow(2,n2-i2);

    // Find array length
    int length1 = 0;
    for (int i = 0; i < i1; i++)
        length1 += pow(2,i);

    int length2 = 0;
    for (int i = 0; i < i2; i++)
        length2 += pow(2,i);

    // Allocate memory for new array
    int *T1 = new int[length1];
    int *T2 = new int[length2];

    // Find Tau
    // Add element to Tau
    T1[0] = k1;
    int i = 0;
    for (int t = 1; t < i1; t++)
        for (int j = pow(2,t)*k1; j <= pow(2,t)*(k1+1)-1; j++)
            {
                i++;
                T1[i] = j;
            }

    T2[0] = k2;
    i = 0;
    for (int t = 1; t < i2; t++)
        for (int j = pow(2,t)*k2; j <= pow(2,t)*(k2+1)-1; j++)
            {
                i++;
                T2[i] = j;
            }

    // Fill Alpha and Beta array
    FillAlphaBeta(Alpha,k1,n1-i1);
    FillAlphaBeta(Beta,k2,n2-i2);

    // Allocate memory for matrix
    fauk = pow(2,i1);
    fplo = pow(2,i2);
    AllocMemForDoubleMatrix(YfragFSpectrDbl, fauk, fplo);

    //Find coeff [0][0]
    YfragFSpectrDbl[0][0] = YDbl[0][0];

    for (int s = 1; s <= n1-i1; s++)
        YfragFSpectrDbl[0][0] += pow(-1,Alpha[s-1]) * sqrt(pow(2, n1-i1-s)) *

```

```

                                YDbl[Alpha[s]][0];

for (int t = 1; t <= n2-i2; t++)
    YfragFSpectrDbl[0][0] += pow(-1,Beta[t-1]) * sqrt(pow(2, n2-i2-t)) *
                                YDbl[0][Beta[t]];

for (int t = 1; t <= n2-i2; t++)
    for (int s = 1; s <= n1-i1; s++)
        YfragFSpectrDbl[0][0] += pow(-1,Alpha[s-1]+Beta[t-1]) *
                                sqrt(pow(2,n1+n2-i1-i2-s-t)) *
                                YDbl[Alpha[s]][Beta[t]];

//Find coeffs [u][0]
for (int u = 1; u <= pow(2,i1)-1; u++)
{
    YfragFSpectrDbl[u][0] = YDbl[T1[u-1]][0];
    for (int t = 1; t <= n2-i2; t++)
        YfragFSpectrDbl[u][0] += pow(-1,Beta[t-1]) * sqrt(pow(2,n2-i2-t)) *
                                YDbl[T1[u-1]][Beta[t]];

    YfragFSpectrDbl[u][0] *= sqrt(pow(2, n1-i1));
}

//Find coeffs [o][v]
for (int v = 1; v <= pow(2,i2)-1; v++)
{
    YfragFSpectrDbl[0][v] = YDbl[0][T2[v-1]];
    for (int s = 1; s <= n1-i1; s++)
        YfragFSpectrDbl[0][v] += pow(-1,Alpha[s-1]) * sqrt(pow(2,n1-i1-s)) *
                                YDbl[Alpha[s]][T2[v-1]];

    YfragFSpectrDbl[0][v] *= sqrt(pow(2, n2-i2));
}

//Find coeffs [u][v]
for (int u = 1; u <= pow(2,i1)-1; u++)
    for (int v = 1; v <= pow(2,i2)-1; v++)
        YfragFSpectrDbl[u][v] = sqrt(pow(2,n1+n2-i1-i2)) * YDbl[T1[u-
1]][T2[v-1]];
}
//-----
--
//(120421+++
void TForm1::AllocMemForStringMatrix(string *&A, int lvl)
{
    A = new string[lvl];
}
//-----
--
void TForm1::AllocMemForLongIntMatrix(long long int **&A, int RowCount, int
ColCount)
{
    A = new long long int*[RowCount];
    for (int i = 0; i < RowCount; i++)
        A[i] = new long long int[ColCount];

    for (int i = 0; i < RowCount; i++)
        for (int j = 0; j < ColCount; j++)
            A[i][j] = 0;
}
//-----
--
void TForm1::PrintToStringGridListsCapt(TStringGrid *SG)
{

```

```

//Prints captions in 0-th StringGrid row
SG->FixedRows = 1;
SG->RowCount = 1;
SG->ColCount = CListDataCount;
SG->Cells[0][0] = "X";
SG->Cells[1][0] = "Y";
SG->Cells[2][0] = "Tipas";
SG->Cells[3][0] = "Vertè";
SG->Cells[4][0] = "Lygmuo";
SG->Cells[5][0] = "Iteracija";
}
//-----
--
void TForm1::PrintToStringGridLists(long long int **Y, TListElement *first,
int iter, TStringGrid *SG)
{
//Prints LIS, LIP and LSP to StringGrid
TListElement *r;

r = first;
while (r != NULL)
{
SG->Cells[0][SG->RowCount] = r->Data.x;
SG->Cells[1][SG->RowCount] = r->Data.y;
SG->Cells[2][SG->RowCount] = r->Data.type;
SG->Cells[3][SG->RowCount] = Y[r->Data.x][r->Data.y];
SG->Cells[4][SG->RowCount] = r->Data.level;
SG->Cells[5][SG->RowCount] = iter;
SG->RowCount += 1;
r = r->next;
}
}
//-----
--
int TForm1::FindMaxSpectrumElement(long long int **A, int m, int n)
{
//Finds maximum spectrum element and calculates max level (n)
int max = 0;
int t;
for (int i = 0; i < m; i++)
for (int j = 0; j < n; j++)
if (A[i][j] > max)
max = A[i][j];
t = (int)Log2(abs(max));
return(t);
//return(pow(2,t));
}
//-----
---
char TForm1::FindMostSignificantBit(long long int numb, int lvl)
{
/*string bits;

do
bits.push_back( '0' + (numb & 1) );
while (numb >= 1);

reverse(bits.begin(), bits.end());
return(bits);*/

string bits;
int count = 0;

do

```

```

    {
        bits.push_back( '0' + (numb & 1) );
        count++;
    }
    while ((numb >>= 1) || (lvl >= count));

    //reverse(bits.begin(), bits.end());
    return(bits[lvl]);
}
//-----
---
void TForm1::CreateList(TListElement *&first, TListElement *&last, TList
parList)
{
    //Create new list
    first = NULL;
    last = NULL;
    first = new TListElement;

    //Add first element to list
    first->Data = parList;
    last = first;
    last->next = NULL;
    last->prev = NULL;
}
//-----
--
void TForm1::DeleteList(TListElement *&first, TListElement *&last)
{
    //Deletes existing list
    TListElement *r;

    while (first != NULL)
    {
        r = first;
        first = first->next;
        delete r;
    }
    last = NULL;
}
//-----
--
void TForm1::AddElementToList(TListElement *&first, TListElement *&last,
TList parList)
{
    if (first == NULL)
    {
        CreateList(first,last,parList);
    }
    else
    {
        //Create and insert new element to list
        TListElement *r;
        r = new TListElement;
        r->Data = parList;
        last->next = r;
        r->prev = last;
        last = r;
        last->next = NULL;
    }
}
//-----
--

```



```

void TForm1::RemoveElementFromList(TListElement *&first, TListElement
*&last, TListElement *r)
{
    //Remove existing element from list
    if (first != NULL && r != NULL)
    {
        if (r == first)
            first = first->next;
        if (r == last)
            last = last->prev;
        if (r->prev != NULL)
            r->prev->next = r->next;
        if (r->next != NULL)
            r->next->prev = r->prev;
        delete r;
    }
}
//-----
--
char TForm1::FindDSignificanceEnc(long long int **Y, int m, int n, int k,
int l, long long int thr)
{
    //Checks D set significance
    //m - Y row count
    //n - Y coll count
    //k - row tree root index
    //l - coll tree root index

    int lvl = 0;
    int n1 = Log2(m);
    int n2 = Log2(n);
    int nx = n1;
    if (n2 < n1)
        nx = n2;

    //Generate D set
    TListElement *Dfirst;
    TListElement *Dlast;
    TListElement *r;
    TList List;

    List.x = k;
    List.y = l;
    List.type = ' ';
    List.level = 0;
    CreateList(Dfirst,Dlast,List);

    r = Dfirst;

    while ((r != NULL) && (lvl < nx - 1))
    {
        k = r->Data.x;
        l = r->Data.y;

        if ((2*k+1 >= m) || (2*l+1 >= n))
            break;

        List.type = ' ';
        List.level = lvl + 1;

        List.x = 2*k;
        List.y = 2*l;
        AddElementToList(Dfirst, Dlast, List);
    }
}

```

```

List.x = 2*k;
List.y = 2*l+1;
AddElementToList(Dfirst, Dlast, List);

List.x = 2*k+1;
List.y = 2*l;
AddElementToList(Dfirst, Dlast, List);

List.x = 2*k+1;
List.y = 2*l+1;
AddElementToList(Dfirst, Dlast, List);

if (abs(Y[2*k][2*l]) >= thr)
    return('1');
if (abs(Y[2*k][2*l+1]) >= thr)
    return('1');
if (abs(Y[2*k+1][2*l]) >= thr)
    return('1');
if (abs(Y[2*k+1][2*l+1]) >= thr)
    return('1');

if (r->next != NULL)
    lvl += r->next->Data.level - r->Data.level;

    r = r->next;
}
return('0');
}
//-----
--
char TForm1::FindLSignificanceEnc(long long int **Y, int m, int n, int k,
int l, long long int thr, bool &exists)
{
    //Checks L set significance and existence
    //m - Y row count
    //n - Y coll count
    //k - row tree root index
    //l - coll tree root index
    //exists - if L exists for row k and coll l element

    int lvl = 0;
    int n1 = Log2(m);
    int n2 = Log2(n);
    int nx = n1;
    if (n2 < n1)
        nx = n2;

    //Generate L set
    TListElement *Lfirst;
    TListElement *Llast;
    TListElement *r;
    TList List;

    List.x = k;
    List.y = l;
    List.type = ' ';
    List.level = 0;
    CreateList(Lfirst,Llast,List);

    exists = false;
    r = Lfirst;

```

```

while ((r != NULL) && (lvl < nx - 1))
{
    k = r->Data.x;
    l = r->Data.y;

    if ((2*k+1 >= m) || (2*l+1 >= n))
        break;

    List.type = ' ';
    List.level = lvl + 1;

    List.x = 2*k;
    List.y = 2*l;
    AddElementToList(Lfirst, Llast, List);

    List.x = 2*k;
    List.y = 2*l+1;
    AddElementToList(Lfirst, Llast, List);

    List.x = 2*k+1;
    List.y = 2*l;
    AddElementToList(Lfirst, Llast, List);

    List.x = 2*k+1;
    List.y = 2*l+1;
    AddElementToList(Lfirst, Llast, List);

    //Skip 0 set, because L = D - 0
    if (lvl != 0)
    {
        exists = true;

        if (abs(Y[2*k][2*l]) >= thr)
            return('1');
        if (abs(Y[2*k][2*l+1]) >= thr)
            return('1');
        if (abs(Y[2*k+1][2*l]) >= thr)
            return('1');
        if (abs(Y[2*k+1][2*l+1]) >= thr)
            return('1');
    }
    if (r->next != NULL)
        lvl += r->next->Data.level - r->Data.level;

    r = r->next;
}

return('0');
}
//-----
--
void TForm1::SPIHTEncode()
{
    int tmplevel;
    long long int tmpthreshold;

    /*Height = Width = 8;
    AllocMemForLongIntMatrix(Y,Height,Width);
    Y[0][0] = 63;
    Y[0][1] = -34;
    Y[0][2] = 49;
    Y[0][3] = 10;
    Y[0][4] = 7;
    Y[0][5] = 13;

```

```

Y[0][6] = -12;
Y[0][7] = 7;
Y[1][0] = -31;
Y[1][1] = 23;
Y[1][2] = 14;
Y[1][3] = -13;
Y[1][4] = 3;
Y[1][5] = 4;
Y[1][6] = 6;
Y[1][7] = -1;
Y[2][0] = 15;
Y[2][1] = 14;
Y[2][2] = 3;
Y[2][3] = -12;
Y[2][4] = 5;
Y[2][5] = -7;
Y[2][6] = 3;
Y[2][7] = 9;
Y[3][0] = -9;
Y[3][1] = -7;
Y[3][2] = -14;
Y[3][3] = 8;
Y[3][4] = 4;
Y[3][5] = -2;
Y[3][6] = 3;
Y[3][7] = 2;
Y[4][0] = -5;
Y[4][1] = 9;
Y[4][2] = -1;
Y[4][3] = 47;
Y[4][4] = 4;
Y[4][5] = 6;
Y[4][6] = -2;
Y[4][7] = 2;
Y[5][0] = 3;
Y[5][1] = 0;
Y[5][2] = -3;
Y[5][3] = 2;
Y[5][4] = 3;
Y[5][5] = -2;
Y[5][6] = 0;
Y[5][7] = 4;
Y[6][0] = 2;
Y[6][1] = -3;
Y[6][2] = 6;
Y[6][3] = -4;
Y[6][4] = 3;
Y[6][5] = 6;
Y[6][6] = 3;
Y[6][7] = 6;
Y[7][0] = 5;
Y[7][1] = 11;
Y[7][2] = 5;
Y[7][3] = 6;
Y[7][4] = 0;
Y[7][5] = 3;
Y[7][6] = -4;
Y[7][7] = 4;*/

```

```

//Delete all lists
DeleteList(LIPfirst, LIPlast);
DeleteList(LSPfirst, LSPlast);
DeleteList(LISfirst, LISlast);

```

```

SPIHTInitialize(Y, Height, Width, levelenc, thresholdenc);

//In order to keep original level and threshold
tmplevel = levelenc;
tmpthreshold = thresholdenc;

//Allocates memory for string lists
AllocMemForStringMatrix(S, tmplevel+1);
AllocMemForStringMatrix(B, tmplevel+1);

//Print LIS, LIP and LSP captions to StringGrid
PrintToStringGridListsCapt(Form2->StringGrid1);
PrintToStringGridListsCapt(Form2->StringGrid2);
PrintToStringGridListsCapt(Form2->StringGrid3);

int k = 0;
while (tmplevel >= 0)
{
    k++;

    tmpthreshold = pow(2,tmplevel);

    SPIHTSortingPassEnc(Y, Height, Width, tmplevel, tmpthreshold, S);
    SPIHTRefinementPassEnc(Y, Height, Width, tmplevel, B);

    //Print LIP, LSP, LIS to TStringGrid
    PrintToStringGridLists(Y, LISfirst, k, Form2->StringGrid1);
    PrintToStringGridLists(Y, LIPfirst, k, Form2->StringGrid2);
    PrintToStringGridLists(Y, LSPfirst, k, Form2->StringGrid3);

    Form2->Memo1->Lines->Add("S(" + IntToStr(tmplevel) + ")=" +
S[tmplevel].c_str());
    Form2->Memo2->Lines->Add("B(" + IntToStr(tmplevel) + ")=" +
B[tmplevel].c_str());

    tmplevel--;
}
}
//-----
--
void TForm1::SPIHTInitialize(long long int **Y, int m, int n, int &lvl,
long long int &thr)
{
    //SPIHT initialization (fills LIP, LSP, LIS)
    TList List;

    //Find level
    lvl = FindMaxSpectrumElement(Y, m, n);

    //Find threshold
    thr = pow(2,lvl);

    //Initialize LIP
    List.x = 0;
    List.y = 0;
    List.type = ' ';
    List.level = lvl;
    //Create first LIP element
    CreateList(LIPfirst, LIPlast, List);
    //Fill LIP with elements: (0,1);(1,0);(1,1)
    List.x = 0;
    List.y = 1;
    List.type = ' ';
    List.level = lvl;

```

```

AddElementToList(LIPfirst,LIPlast, List);
List.x = 1;
List.y = 0;
List.type = ' ';
List.level = lvl;
AddElementToList(LIPfirst,LIPlast, List);
List.x = 1;
List.y = 1;
List.type = ' ';
List.level = lvl;
AddElementToList(LIPfirst,LIPlast, List);

//Initialize LIS
List.x = 0;
List.y = 1;
List.type = 'A';
List.level = lvl;
CreateList(LISfirst, LISlast, List);
List.x = 1;
List.y = 0;
List.type = 'A';
List.level = lvl;
AddElementToList(LISfirst,LISlast, List);
List.x = 1;
List.y = 1;
List.type = 'A';
List.level = lvl;
AddElementToList(LISfirst,LISlast, List);

//Initialize LSP (creates blank list)
/*List.x = NULL;
List.y = NULL;
List.type = NULL;
List.level = NULL;
CreateList(LSPfirst, LSPlast, List);*/
}
//-----
--
void TForm1::SPIHTSortingPassEnc(long long int **Y, int m, int n, int lvl,
long long int thr, string *S)
{
    //Sorting pass. Significance map encoding.

    //Deals with LIP
    TList List;
    TListElement *r;
    bool l_exists;
    string tmpeil;

    r = LIPfirst;
    while (r != NULL)
    {
        if (fabs(Y[r->Data.x][r->Data.y]) >= thr)
        {
            tmpeil.push_back('1');
            //S[r->Data.x][r->Data.y] = '1';
            if (Y[r->Data.x][r->Data.y] >= 0)
            {
                tmpeil.push_back('1');
                //Sign[r->Data.x][r->Data.y] = '1';
            }
            else
            {
                tmpeil.push_back('0');
            }
        }
    }
}

```

```

        //Sign[r->Data.x][r->Data.y] = '0';
    }
    List.x = r->Data.x;
    List.y = r->Data.y;
    List.type = ' ';
    List.level = lvl;
    //Adds element to LSP
    AddElementToList(LSPfirst,LSPlast,List);
    //Removes element from LIP
    RemoveElementFromList(LIPfirst,LIPlast,r);
}
else
{
    tmpeil.push_back('0');
    //S[r->Data.x][r->Data.y] = '0';
}
r = r->next;
}

//Deals with LIS
r = LISfirst;
while (r != NULL)
{
    if (r->Data.type == 'A')
    {
        tmpeil.push_back(FindDSignificanceEnc(Y, m, n, r->Data.x, r-
>Data.y, thr));
        //SD[r->Data.x][r->Data.y] = FindDSignificance(Y, Height, Width, r-
>Data.x, r->Data.y);

        if (tmpeil[tmpeil.size() - 1] == '1') //takes last
        //if (SD[r->Data.x][r->Data.y] == '1')
        {
            //Deals with 0 set
            if ((2*r->Data.x+1 < m) && (2*r->Data.y+1 < n))
            {
                //First 0 element
                if (abs(Y[2*r->Data.x][2*r->Data.y]) >= thr)
                {
                    tmpeil.push_back('1');
                    //S[2*r->Data.x][2*r->Data.y] = '1';
                    if (Y[2*r->Data.x][2*r->Data.y] >= 0)
                        tmpeil.push_back('1');
                    //Sign[2*r->Data.x][2*r->Data.y] = '1';
                    else
                        tmpeil.push_back('0');
                    //Sign[2*r->Data.x][2*r->Data.y] = '0';
                    List.x = 2*r->Data.x;
                    List.y = 2*r->Data.y;
                    List.type = ' ';
                    List.level = lvl;
                    //Adds element to LSP
                    AddElementToList(LSPfirst,LSPlast,List);
                }
            }
            else
            {
                tmpeil.push_back('0');
                //S[2*r->Data.x][2*r->Data.y] = '0';
                List.x = 2*r->Data.x;
                List.y = 2*r->Data.y;
                List.type = ' ';
                List.level = lvl;
                //Adds element to LIP
                AddElementToList(LIPfirst,LIPlast,List);
            }
        }
    }
}

```

```

}

//Second 0 element
if (fabs(Y[2*r->Data.x][2*r->Data.y+1]) >= thr)
{
    tmpeil.push_back('1');
    //S[2*r->Data.x][2*r->Data.y+1] = '1';
    if (Y[2*r->Data.x][2*r->Data.y+1] >= 0)
        tmpeil.push_back('1');
        //Sign[2*r->Data.x][2*r->Data.y+1] = '1';
    else
        tmpeil.push_back('0');
        //Sign[2*r->Data.x][2*r->Data.y+1] = '0';
    List.x = 2*r->Data.x;
    List.y = 2*r->Data.y+1;
    List.type = ' ';
    List.level = lvl;
    //Adds element to LSP
    AddElementToList(LSPfirst,LSPlast,List);
}
else
{
    tmpeil.push_back('0');
    //S[2*r->Data.x][2*r->Data.y+1] = '0';
    List.x = 2*r->Data.x;
    List.y = 2*r->Data.y+1;
    List.type = ' ';
    List.level = lvl;
    //Adds element to LIP
    AddElementToList(LIPfirst,LIPlast,List);
}

//Third 0 element
if (fabs(Y[2*r->Data.x+1][2*r->Data.y]) >= thr)
{
    tmpeil.push_back('1');
    //S[2*r->Data.x+1][2*r->Data.y] = '1';
    if (Y[2*r->Data.x+1][2*r->Data.y] >= 0)
        tmpeil.push_back('1');
        //Sign[2*r->Data.x+1][2*r->Data.y] = '1';
    else
        tmpeil.push_back('0');
        //Sign[2*r->Data.x+1][2*r->Data.y] = '0';
    List.x = 2*r->Data.x+1;
    List.y = 2*r->Data.y;
    List.type = ' ';
    List.level = lvl;
    //Adds element to LSP
    AddElementToList(LSPfirst,LSPlast,List);
}
else
{
    tmpeil.push_back('0');
    //S[2*r->Data.x+1][2*r->Data.y] = '0';
    List.x = 2*r->Data.x+1;
    List.y = 2*r->Data.y;
    List.type = ' ';
    List.level = lvl;
    //Adds element to LIP
    AddElementToList(LIPfirst,LIPlast,List);
}

//Fourth 0 element
if (fabs(Y[2*r->Data.x+1][2*r->Data.y+1]) >= thr)

```



```

    {
        tmpeil.push_back('1');
        //S[2*r->Data.x+1][2*r->Data.y+1] = '1';
        if (Y[2*r->Data.x+1][2*r->Data.y+1] >= 0)
            tmpeil.push_back('1');
        //Sign[2*r->Data.x+1][2*r->Data.y+1] = '1';
        else
            tmpeil.push_back('0');
            //Sign[2*r->Data.x+1][2*r->Data.y+1] = '0';
        List.x = 2*r->Data.x+1;
        List.y = 2*r->Data.y+1;
        List.type = ' ';
        List.level = lvl;
        //Adds element to LSP
        AddElementToList(LSPfirst,LSPlast,List);
    }
    else
    {
        tmpeil.push_back('0');
        //S[2*r->Data.x+1][2*r->Data.y+1] = '0';
        List.x = 2*r->Data.x+1;
        List.y = 2*r->Data.y+1;
        List.type = ' ';
        List.level = lvl;
        //Adds element to LIP
        AddElementToList(LIPfirst,LIPlast,List);
    }
}

FindLSignificanceEnc(Y, m, n, r->Data.x, r->Data.y, thr,
l_exists);
if (l_exists)
{
    List.x = r->Data.x;
    List.y = r->Data.y;
    List.type = 'B';
    List.level = lvl;
    //Adds element to LIS
    AddElementToList(LISfirst,LISlast,List);
    //Removes element from LIS
    RemoveElementFromList(LISfirst,LISlast,r);
}
else
    //Removes element from LIS
    RemoveElementFromList(LISfirst,LISlast,r);
}
}
if (r->Data.type == 'B')
{
    tmpeil.push_back(FindLSignificanceEnc(Y, m, n, r->Data.x, r-
>Data.y, thr, l_exists));
    //SL[r->Data.x][r->Data.y] = FindLSignificance(Y, Height, Width, r-
>Data.x, r->Data.y,l_exists);

    if ((tmpeil[tmpeil.size() - 1] == '1') && (l_exists))
    //if ((SL[r->Data.x][r->Data.y] == '1') && (l_exists))
    {
        //First 0 element
        List.x = 2*r->Data.x;
        List.y = 2*r->Data.y;
        List.type = 'A';
    }
}

```

```

        List.level = lvl;
        //Adds element to LIS
        AddElementToList(LISfirst,LISlast,List);

        //Second 0 element
        List.x = 2*r->Data.x;
        List.y = 2*r->Data.y+1;
        List.type = 'A';
        List.level = lvl;
        //Adds element to LIS
        AddElementToList(LISfirst,LISlast,List);

        //Third 0 element
        List.x = 2*r->Data.x+1;
        List.y = 2*r->Data.y;
        List.type = 'A';
        List.level = lvl;
        //Adds element to LIS
        AddElementToList(LISfirst,LISlast,List);

        //Fourth 0 element
        List.x = 2*r->Data.x+1;
        List.y = 2*r->Data.y+1;
        List.type = 'A';
        List.level = lvl;
        //Adds element to LIS
        AddElementToList(LISfirst,LISlast,List);

        //Removes element from LIS
        RemoveElementFromList(LISfirst,LISlast,r);
    }
}
r = r->next;
}

S[lvl] = tmpeil;
//Form2->Mem01->Lines->Add(tmpeil.c_str());
}
//-----
--
void TForm1::SPIHTRefinementPassEnc(long long int **Y, int m, int n, int
lvl, string *B)
{
    TListElement *r;
    string tmpeil;

    r = LSPfirst;
    while ((r != NULL) && (lvl < r->Data.level))
    {
        //if (level < r->Data.level)

        tmpeil += FindMostSignificantBit(abs(Y[r->Data.x][r->Data.y]),lvl);
        r = r->next;
    }

    B[lvl] = tmpeil;
}
//-----
--
void TForm1::SPIHTDecode()
{
    //SPIHT decoder
    int tmplevel;
    long long int tmpthreshold;

```

```

int tmpuserlevel = StrToInt(Edit3->Text);

AllocMemForLongIntMatrix(XC, Height, Width);
AllocMemForLongIntMatrix(YC, Height, Width);

//Delete all lists
DeleteList(LIPfirst, LIPlast);
DeleteList(LSPfirst, LSPlast);
DeleteList(LISfirst, LISlast);

SPIHTInitialize(Y, Height, Width, levelenc, thresholdenc);

tmplevel = levelenc;
tmpthreshold = thresholdenc;

//Print LIS, LIP and LSP captions to StringGrid
PrintToStringGridListsCapt(Form3->StringGrid1);
PrintToStringGridListsCapt(Form3->StringGrid2);
PrintToStringGridListsCapt(Form3->StringGrid3);

int k = 0;
//while ((tmplevel >= 0) && (tmplevel >= tmpuserlevel)) //commented
12.05.15
while ((tmplevel >= 0) && (tmplevel > levelenc - tmpuserlevel))
//12.05.15
{
    k++;

    tmpthreshold = pow(2,tmplevel);

    SPIHTSortingPassDec(YC, Height, Width, S, tmplevel);
    SPIHTRefinementPassDec(YC, Height, Width, B, tmplevel);

    //Print LIP, LSP, LIS to TStringGrid
    PrintToStringGridLists(YC, LISfirst, k, Form3->StringGrid1);
    PrintToStringGridLists(YC, LIPfirst, k, Form3->StringGrid2);
    PrintToStringGridLists(YC, LSPfirst, k, Form3->StringGrid3);

    Form3->Memo1->Lines->Add("S(" + IntToStr(tmplevel) + ")=" +
S[tmplevel].c_str());
    Form3->Memo2->Lines->Add("B(" + IntToStr(tmplevel) + ")=" +
B[tmplevel].c_str());

    tmplevel--;
}

PrintToStringGrid(YC,Height,Width,StringGrid3);
DrawToCanvas(YC,Height,Width,Image3);

FindView(XC, YC, Height, Width, true); // Transform Rows
FindView(XC, YC, Width, Height, false); // Transform Collumns

PrintToStringGrid(XC,Height,Width,StringGrid6);
DrawToCanvas(XC,Height,Width,Image6);
}
//-----
--
void TForm1::SPIHTSortingPassDec(long long int **&Y, int n, int m, string
*S, int lvl)
{
//Sorting pass. Significance map decoding.

//Deals with LIP

```

```

TList List;
TListElement *r;
bool l_exists;
string tmpeil;

int k = 0;
long long int coeff = 1.5 * pow(2,lv1);

tmpeil = S[lv1];
r = LIPfirst;
while (r != NULL)
{
    if (tmpeil[k] == '1')
    {
        k++;
        List.x = r->Data.x;
        List.y = r->Data.y;
        List.type = ' ';
        List.level = lv1;
        //Adds element to LSP
        AddElementToList(LSPfirst,LSPlast,List);
        //Removes element from LIP
        RemoveElementFromList(LIPfirst,LIPlast,r);
        //Calcs and adds coefficient to spectrum matrix
        if (tmpeil[k] == '1')
            Y[List.x][List.y] = coeff;
        else
            Y[List.x][List.y] = -coeff;
        k++;
    }
    else
        k++;

    r = r->next;
}

//Deals with LIS
r = LISfirst;
while (r != NULL)
{
    if (r->Data.type == 'A')
    {
        if (tmpeil[k] == '1')
        {
            k++;
            if ((2*r->Data.x+1 < m) && (2*r->Data.y+1 < n))
            {
                //First 0 element
                if (tmpeil[k] == '1')
                {
                    k++;
                    List.x = 2*r->Data.x;
                    List.y = 2*r->Data.y;
                    List.type = ' ';
                    List.level = lv1;
                    //Adds element to LSP
                    AddElementToList(LSPfirst,LSPlast,List);
                    //Calcs and adds coefficient to spectrum matrix
                    if (tmpeil[k] == '1')
                        Y[List.x][List.y] = coeff;
                    else
                        Y[List.x][List.y] = -coeff;
                    k++;
                }
            }
        }
    }
}

```

```

else
{
    k++;
    List.x = 2*r->Data.x;
    List.y = 2*r->Data.y;
    List.type = ' ';
    List.level = lvl;
    //Adds element to LIP
    AddElementToList(LIPfirst,LIPlast,List);
}

//Second 0 element
if (tmpeil[k] == '1')
{
    k++;
    List.x = 2*r->Data.x;
    List.y = 2*r->Data.y+1;
    List.type = ' ';
    List.level = lvl;
    //Adds element to LSP
    AddElementToList(LSPfirst,LSPlast,List);
    //Calcs and adds coefficient to spectrum matrix
    if (tmpeil[k] == '1')
        Y[List.x][List.y] = coeff;
    else
        Y[List.x][List.y] = -coeff;
    k++;
}
else
{
    k++;
    //S[2*r->Data.x][2*r->Data.y+1] = '0';
    List.x = 2*r->Data.x;
    List.y = 2*r->Data.y+1;
    List.type = ' ';
    List.level = lvl;
    //Adds element to LIP
    AddElementToList(LIPfirst,LIPlast,List);
}

//Third 0 element
if (tmpeil[k] == '1')
{
    k++;
    List.x = 2*r->Data.x+1;
    List.y = 2*r->Data.y;
    List.type = ' ';
    List.level = lvl;
    //Adds element to LSP
    AddElementToList(LSPfirst,LSPlast,List);
    //Calcs and adds coefficient to spectrum matrix
    if (tmpeil[k] == '1')
        Y[List.x][List.y] = coeff;
    else
        Y[List.x][List.y] = -coeff;
    k++;
}
else
{
    k++;
    List.x = 2*r->Data.x+1;
    List.y = 2*r->Data.y;
    List.type = ' ';
    List.level = lvl;
}

```

```

        //Adds element to LIP
        AddElementToList(LIPfirst,LIPlast,List);
    }

    //Fourth O element
    if (tmpeil[k] == '1')
    {
        k++;
        List.x = 2*r->Data.x+1;
        List.y = 2*r->Data.y+1;
        List.type = ' ';
        List.level = lvl;
        //Adds element to LSP
        AddElementToList(LSPfirst,LSPlast,List);
        //Calcs and adds coefficient to spectrum matrix
        if (tmpeil[k] == '1')
            Y[List.x][List.y] = coeff;
        else
            Y[List.x][List.y] = -coeff;
        k++;
    }
    else
    {
        k++;
        List.x = 2*r->Data.x+1;
        List.y = 2*r->Data.y+1;
        List.type = ' ';
        List.level = lvl;
        //Adds element to LIP
        AddElementToList(LIPfirst,LIPlast,List);
    }
}

//Checks if L exists
if ((4*r->Data.x < m) && (4*r->Data.y < n))
{
    List.x = r->Data.x;
    List.y = r->Data.y;
    List.type = 'B';
    List.level = lvl;
    //Adds element to LIS
    AddElementToList(LISfirst,LISlast,List);
    //Removes element from LIS
    RemoveElementFromList(LISfirst,LISlast,r);
}
else
    //Removes element from LIS
    RemoveElementFromList(LISfirst,LISlast,r);
}
else
    k++;
}
if (r->Data.type == 'B')
{
    if (tmpeil[k] == '1')
    {
        k++;

        //First O element
        List.x = 2*r->Data.x;
        List.y = 2*r->Data.y;
        List.type = 'A';
        List.level = lvl;
    }
}

```

```

//Adds element to LIS
AddElementToList(LISfirst,LISlast,List);

//Second 0 element
List.x = 2*r->Data.x;
List.y = 2*r->Data.y+1;
List.type = 'A';
List.level = lvl;
//Adds element to LIS
AddElementToList(LISfirst,LISlast,List);

//Third 0 element
List.x = 2*r->Data.x+1;
List.y = 2*r->Data.y;
List.type = 'A';
List.level = lvl;
//Adds element to LIS
AddElementToList(LISfirst,LISlast,List);

//Fourth 0 element
List.x = 2*r->Data.x+1;
List.y = 2*r->Data.y+1;
List.type = 'A';
List.level = lvl;
//Adds element to LIS
AddElementToList(LISfirst,LISlast,List);

//Removes element from LIS
RemoveElementFromList(LISfirst,LISlast,r);
}
else
    k++;
}
r = r->next;
}
}
//-----
--
void TForm1::SPIHTRefinementPassDec(long long int **&Y, int m, int n,
string *B, int lvl)
{
TListElement *r;
string tmpeil;
int k = 0;
int long long coeff;

tmpeil = B[lvl];
r = LSPfirst;
while ((r != NULL) && (lvl < r->Data.level))
{
coeff = abs(Y[r->Data.x][r->Data.y]);
if (tmpeil[k] == '1')
{
if (lvl > 0)
coeff += pow(2,lvl-1);
else
coeff += 0; //Just for same structure as below
}
else
{
if (lvl > 0)
coeff -= pow(2,lvl-1);
else
coeff -= 1;
}
}
}

```

```

    }

    if (Y[r->Data.x][r->Data.y] >= 0)
        Y[r->Data.x][r->Data.y] = coeff;
    else
        Y[r->Data.x][r->Data.y] = -coeff;

    k++;
    r = r->next;
}
}
//(---SS120421)
//-----
--
void __fastcall TForm1::TrackBar1Change(TObject *Sender)
{
    Label4->Caption = "2^" + IntToStr(TrackBar1->Position);
    int multiplier = pow(2,TrackBar1->Position);
    ChangeLuminance(Y, Height, Width, multiplier, StringGrid2, Image2);

    /*double **A;
    AllocMemForMatrix(A,Height,Width);
    Label4->Caption = "2^" + IntToStr(TrackBar1->Position);
    int multiplier = pow(2,TrackBar1->Position);
    for (int i = 0; i < Height; i++)
        for (int j = 0; j < Width; j++)
        {
            double absolute = fabs(Y[i][j]) * multiplier;
            if (absolute - 0.000001 < 0) {
                absolute = 0.000001;
                absolute = absolute * multiplier;
            }
            if (absolute > 255)
                absolute = 255;
            A[i][j] = absolute;
            Image2->Canvas->Pixels[j][i] =
(TColor)RGB(absolute,absolute,absolute);
        }
    PrintToStringGrid(A,Height,Width,StringGrid2);
    //Image2->Canvas->Pixels[j][i] =
(TColor)RGB(fabs(XfY[i][j])*daug,fabs(XfY[i][j])*daug,fabs(XfY[i][j])*daug)
;*/
}
//-----
--
void __fastcall TForm1::Pasirinktinuotraukl1Click(TObject *Sender)
{
    if (OpenPictureDialog1->Execute())
    {
        Image1->Picture->LoadFromFile(OpenPictureDialog1->FileName);
    }
}
//-----
--
void __fastcall TForm1::Spektr1Click(TObject *Sender)
{
    // Check if image is 8 bit
    assert(Image1->Picture->Bitmap->PixelFormat == pf8bit);

    // Get height and width of the image
    Height = Image1->Picture->Bitmap->Height;
    Width = Image1->Picture->Bitmap->Width;

    // Alocate mamory for view matrix

```



```

AllocMemForLongIntMatrix(X,Height,Width);
AllocMemForDoubleMatrix(XDbl,Height,Width); //(12.05.15)

// Get pixels color from image and store to matrix
for (int i = 0; i < Height; i++)
{
    // Grab a pointer to the y-th row
    unsigned char const* const p_row =
        static_cast<unsigned char*>(Image1->Picture->Bitmap->ScanLine[i]);

    // For each column (pixel of the current row)
    for (int j = 0; j < Width; j++)
    {
        X[i][j] = p_row[j];
        XDbl[i][j] = p_row[j]; //(12.05.15)
    }
}
PrintToStringGrid(X,Height,Width,StringGrid1);
}
//-----
--
void __fastcall TForm1::Spektr2Click(TObject *Sender)
{
    double starttime, endtime, duration;

    AllocMemForLongIntMatrix(Y,Height,Width);

    starttime = timeGetTime();

    // Find spectrum
    FindSpectrum(X, Y, Width, Height, false); // Transform Collumns
    FindSpectrum(X, Y, Height, Width, true); // Transform Rows

    endtime = timeGetTime();
    duration = (endtime - starttime) / 1000;

    PrintToStringGrid(Y,Height,Width,StringGrid2);
    DrawToCanvas(Y, Height, Width, Image2);

    StatusBar1->SimplePanel = true;
    StatusBar1->SimpleText = "Operacijos trukmė (1) " +
FloatToStrF(duration,ffFixed,8,3) + " sekundės";

    //Alocate mamory for view from spectrum matrix
    //AllocMemForMatrix(XfY,Height,Width);

    // Find view from spectrum
    //FindView(XfY, Y, Height, Width, true); // Transform Rows
    //FindView(XfY, Y, Width, Height, false); // Transform Collumns

    //PrintToStringGrid(XfY,Height,Width,StringGrid3);

    //for (int i = 0; i < Height; i++)
    //for (int j = 0; j < Width; j++)
    //Image3->Canvas->Pixels[j][i] =
(TColor)RGB(XfY[i][j],XfY[i][j],XfY[i][j]);
}
//-----
--
void __fastcall TForm1::Fragmentivaizdo1Click(TObject *Sender)
{
    // Find fragment from view
    double starttime, endtime, duration;
    int lh, lw;

```

```

int k1, k2;

k1 = StrToInt(Edit1->Text);
k2 = StrToInt(Edit2->Text);

starttime = timeGetTime();

AllocMemForDoubleMatrix(H1,Height,Height);
AllocMemForDoubleMatrix(H2,Width,Width);
//if (Height > Width)
    //FindHTMatrix(H,Height);
//else
    //FindHTMatrix(H,Width);

FindHTMatrix(H1,Height);
FindHTMatrix(H2,Width);

FindPartFromView(k1, k2, lh, lw);

endtime = timeGetTime();
duration = (endtime - starttime) / 1000;

PrintToStringGrid(YfragFView,lh,lw,StringGrid4);
DrawToCanvas(YfragFView,lh,lw,Image4);

StatusBar1->SimplePanel = true;
StatusBar1->SimpleText = "Operacijos trukmė (1) " +
FloatToStrF(duration,ffFixed,8,3) + " sekundės";

q1 = lh;
q2 = lw;
}
//-----
--
void __fastcall TForm1::FragmentispektrolClick(TObject *Sender)
{
    // Find fragment from spectrum

    int k1, k2, auk, plo;
    double starttime, endtime, duration;

    k1 = StrToInt(Edit1->Text);
    k2 = StrToInt(Edit2->Text);

    starttime = timeGetTime();

    //FindSpectralCoeffs(k1, k2, Height);
    FindSpectralCoeffsNewAlgorithm(k1, k2, auk, plo);

    endtime = timeGetTime();
    duration = (endtime - starttime) /1000;

    PrintToStringGridDouble(YfragFSpectrDbl, auk, plo, StringGrid8);
    DrawToCanvasDouble(YfragFSpectrDbl, auk, plo, Image8);

    StatusBar1->SimplePanel = true;
    StatusBar1->SimpleText = "Operacijos trukmė (2) " +
FloatToStrF(duration,ffFixed,8,3) + " sekundės";

    w1 = auk;
    w2 = plo;

    //Alocate mamory for view from spectrum matrix
    //AllocMemForMatrix(XfragFSpectr,Height,Width);

```

```

    //FindView(XfragFSpectr, YfragFSpectr, Height, Width, true); //
Transform Rows
    //FindView(XfragFSpectr, YfragFSpectr, Width, Height, false); //
Transform Collumns

    //PrintToStringGrid(XfragFSpectr, Height, Width, StringGrid5);

    //for (int i = 0; i < auk; i++)
        //for (int j = 0; j < plo; j++)
            //Image4->Canvas->Pixels[j][i] =
(TColor)RGB(XfragFSpectr[i][j],XfragFSpectr[i][j],XfragFSpectr[i][j]);
            //Image4->Canvas->Pixels[j][i] =
(TColor)RGB(fabs(YfragFSpectr[i][j])*pow(2,11),fabs(YfragFSpectr[i][j])*pow
(2,11),fabs(YfragFSpectr[i][j])*pow(2,11));
        }
//-----
--
void __fastcall TForm1::BitBtn1Click(TObject *Sender)
{
    if (SavePictureDialog1->Execute())
    {
        Image2->Picture->SaveToFile(SavePictureDialog1->FileName + ".bmp");
    }
}
//-----
--

void __fastcall TForm1::BitBtn2Click(TObject *Sender)
{
    if (SaveDialog1->Execute())
    {
        SaveToCSV(X, Height, Width, SaveDialog1->FileName + ".csv");
    }
}
//-----
--

void __fastcall TForm1::BitBtn3Click(TObject *Sender)
{
    if (SaveDialog1->Execute())
    {
        SaveToCSV(Y, Height, Width, SaveDialog1->FileName + ".csv");
    }
}
//-----
--

void __fastcall TForm1::BitBtn4Click(TObject *Sender)
{
    if (SaveDialog1->Execute())
    {
        SaveToCSV(YfragFVView, q1, q2, SaveDialog1->FileName + ".csv");
    }
}
//-----
--

void __fastcall TForm1::BitBtn5Click(TObject *Sender)
{
    if (SaveDialog1->Execute())
    {
        SaveToCSV(YfragFSpectr, w1, w2, SaveDialog1->FileName + ".csv");
    }
}
//-----
--

```

```

void __fastcall TForm1::BitBtn6Click(TObject *Sender)
{
    if (SavePictureDialog1->Execute())
    {
        Image3->Picture->SaveToFile(SavePictureDialog1->FileName + ".bmp");
    }
}
//-----
--
void __fastcall TForm1::BitBtn7Click(TObject *Sender)
{
    if (SavePictureDialog1->Execute())
    {
        Image4->Picture->SaveToFile(SavePictureDialog1->FileName + ".bmp");
    }
}
//-----
--
void __fastcall TForm1::TrackBar2Change(TObject *Sender)
{
    Label12->Caption = "2^" + IntToStr(TrackBar2->Position);
    int multiplier = pow(2,TrackBar2->Position);
    ChangeLuminance(YC, Height, Width, multiplier, StringGrid3, Image3);
}
//-----
--
void __fastcall TForm1::TrackBar3Change(TObject *Sender)
{
    Label13->Caption = "2^" + IntToStr(TrackBar3->Position);
    int multiplier = pow(2,TrackBar3->Position);
    ChangeLuminance(YfragFView, q1, q1, multiplier, StringGrid4, Image4);
}
//-----
--
void __fastcall TForm1::TrackBar4Change(TObject *Sender)
{
    Label16->Caption = "2^" + IntToStr(TrackBar4->Position);
    int multiplier = pow(2,TrackBar4->Position);
    ChangeLuminance(YfragFSpectr, w1, w1, multiplier, StringGrid8, Image8);
}
//-----
--

void __fastcall TForm1::TestinmatricalClick(TObject *Sender)
{
    //(12.03.10 for testing purposes)
    Height = 8;
    Width = 8;

    //uzkraunam matrica
    AllocMemForLongIntMatrix(X,Height,Width);

    X[0][0] = 63;
    X[0][1] = -34;
    X[0][2] = 49;
    X[0][3] = 10;
    X[0][4] = 7;
    X[0][5] = 13;
    X[0][6] = -12;
    X[0][7] = 7;
    X[1][0] = -31;
    X[1][1] = 23;
    X[1][2] = 14;
    X[1][3] = -13;

```

```

X[1][4] = 3;
X[1][5] = 4;
X[1][6] = 6;
X[1][7] = -1;
X[2][0] = 15;
X[2][1] = 14;
X[2][2] = 3;
X[2][3] = -12;
X[2][4] = 5;
X[2][5] = -7;
X[2][6] = 3;
X[2][7] = 9;
X[3][0] = -9;
X[3][1] = -7;
X[3][2] = -14;
X[3][3] = 8;
X[3][4] = 4;
X[3][5] = -2;
X[3][6] = 3;
X[3][7] = 2;
X[4][0] = -5;
X[4][1] = 9;
X[4][2] = -1;
X[4][3] = 47;
X[4][4] = 4;
X[4][5] = 6;
X[4][6] = -2;
X[4][7] = 2;
X[5][0] = 3;
X[5][1] = 0;
X[5][2] = -3;
X[5][3] = 2;
X[5][4] = 3;
X[5][5] = -2;
X[5][6] = 0;
X[5][7] = 4;
X[6][0] = 2;
X[6][1] = -3;
X[6][2] = 6;
X[6][3] = -4;
X[6][4] = 3;
X[6][5] = 6;
X[6][6] = 3;
X[6][7] = 6;
X[7][0] = 5;
X[7][1] = 11;
X[7][2] = 5;
X[7][3] = 6;
X[7][4] = 0;
X[7][5] = 3;
X[7][6] = -4;
X[7][7] = 4;

PrintToStringGrid(X,Height,Width,StringGrid1);

//randam spektra
AllocMemForLongIntMatrix(Y,Height,Width);

// Find spectrum
FindSpectrum(X, Y, Width, Height, false); // Transform Collumns
FindSpectrum(X, Y, Height, Width, true); // Transform Rows

PrintToStringGrid(Y,Height,Width,StringGrid2);

```

```

//random vaizda is spektro su atvirkstine transformacija
AllocMemForLongIntMatrix(XfY,Height,Width);

FindView(XfY, Y, Height, Width, true); // Transform Rows
FindView(XfY, Y, Width, Height, false); // Transform Collumns

PrintToStringGrid(XfY,Height,Width,StringGrid6);
}
//-----
--

void __fastcall TForm1::SPIHTtest1Click(TObject *Sender)
{
    /*Height = Width = 4;
    AllocMemForMatrix(Y,Height,Width);

    Y[0][0] = 26;
    Y[0][1] = 6;
    Y[0][2] = 13;
    Y[0][3] = 10;
    Y[1][0] = -7;
    Y[1][1] = 7;
    Y[1][2] = 6;
    Y[1][3] = 4;
    Y[2][0] = 4;
    Y[2][1] = -4;
    Y[2][2] = 4;
    Y[2][3] = -3;
    Y[3][0] = 2;
    Y[3][1] = -2;
    Y[3][2] = -2;
    Y[3][3] = 0;*/

    /*Height = Width = 8;
    AllocMemForLongIntMatrix(Y,Height,Width);
    Y[0][0] = 63;
    Y[0][1] = -34;
    Y[0][2] = 49;
    Y[0][3] = 10;
    Y[0][4] = 7;
    Y[0][5] = 13;
    Y[0][6] = -12;
    Y[0][7] = 7;
    Y[1][0] = -31;
    Y[1][1] = 23;
    Y[1][2] = 14;
    Y[1][3] = -13;
    Y[1][4] = 3;
    Y[1][5] = 4;
    Y[1][6] = 6;
    Y[1][7] = -1;
    Y[2][0] = 15;
    Y[2][1] = 14;
    Y[2][2] = 3;
    Y[2][3] = -12;
    Y[2][4] = 5;
    Y[2][5] = -7;
    Y[2][6] = 3;
    Y[2][7] = 9;
    Y[3][0] = -9;
    Y[3][1] = -7;
    Y[3][2] = -14;

```

```

Y[3][3] = 8;
Y[3][4] = 4;
Y[3][5] = -2;
Y[3][6] = 3;
Y[3][7] = 2;
Y[4][0] = -5;
Y[4][1] = 9;
Y[4][2] = -1;
Y[4][3] = 47;
Y[4][4] = 4;
Y[4][5] = 6;
Y[4][6] = -2;
Y[4][7] = 2;
Y[5][0] = 3;
Y[5][1] = 0;
Y[5][2] = -3;
Y[5][3] = 2;
Y[5][4] = 3;
Y[5][5] = -2;
Y[5][6] = 0;
Y[5][7] = 4;
Y[6][0] = 2;
Y[6][1] = -3;
Y[6][2] = 6;
Y[6][3] = -4;
Y[6][4] = 3;
Y[6][5] = 6;
Y[6][6] = 3;
Y[6][7] = 6;
Y[7][0] = 5;
Y[7][1] = 11;
Y[7][2] = 5;
Y[7][3] = 6;
Y[7][4] = 0;
Y[7][5] = 3;
Y[7][6] = -4;
Y[7][7] = 4;

//SPIHTInitialize();

AllocMemForStringMatrix(S, level+1);
AllocMemForStringMatrix(B, level+1);

TListElement *r;

Form2->StringGrid1->Cells[0][0] = "X";
Form2->StringGrid1->Cells[1][0] = "Y";
Form2->StringGrid1->Cells[2][0] = "TYPE";
Form2->StringGrid1->Cells[3][0] = "LEVEL";
Form2->StringGrid1->Cells[4][0] = "VALUE";
Form2->StringGrid2->Cells[0][0] = "X";
Form2->StringGrid2->Cells[1][0] = "Y";
Form2->StringGrid2->Cells[2][0] = "TYPE";
Form2->StringGrid2->Cells[3][0] = "LEVEL";
Form2->StringGrid2->Cells[4][0] = "VALUE";
Form2->StringGrid3->Cells[0][0] = "X";
Form2->StringGrid3->Cells[1][0] = "Y";
Form2->StringGrid3->Cells[2][0] = "TYPE";
Form2->StringGrid3->Cells[3][0] = "LEVEL";
Form2->StringGrid3->Cells[4][0] = "VALUE";

int j1 = 0;
int j2 = 0;
int j3 = 0;

```

```

Form2->StringGrid1->ColCount = 6;
Form2->StringGrid1->RowCount = 0;
Form2->StringGrid2->ColCount = 6;
Form2->StringGrid2->RowCount = 0;
Form2->StringGrid3->ColCount = 6;
Form2->StringGrid3->RowCount = 0;

int k = 0;
for (int i = level; i >= 0; i--)
{
    k++;

    SPIHTSortingPassEnc(Y);
    SPIHTRefinementPassEnc(Y);

    r = LSPfirst;
    while (r != NULL)
    {
        j1++;
        Form2->StringGrid1->Cells[0][j1] = r->Data.x;
        Form2->StringGrid1->Cells[1][j1] = r->Data.y;
        Form2->StringGrid1->Cells[2][j1] = r->Data.type;
        Form2->StringGrid1->Cells[3][j1] = r->Data.level;
        Form2->StringGrid1->Cells[4][j1] = Y[r->Data.x][r->Data.y];
        Form2->StringGrid1->Cells[5][j1] = k;
        Form2->StringGrid1->RowCount += 1;
        r = r->next;
    }

    r = LIPfirst;
    while (r != NULL)
    {
        j2++;
        Form2->StringGrid2->Cells[0][j2] = r->Data.x;
        Form2->StringGrid2->Cells[1][j2] = r->Data.y;
        Form2->StringGrid2->Cells[2][j2] = r->Data.type;
        Form2->StringGrid2->Cells[3][j2] = r->Data.level;
        Form2->StringGrid2->Cells[4][j2] = Y[r->Data.x][r->Data.y];
        Form2->StringGrid2->Cells[5][j2] = k;
        Form2->StringGrid2->RowCount += 1;
        r = r->next;
    }

    r = LISfirst;
    while (r != NULL)
    {
        j3++;
        Form2->StringGrid3->Cells[0][j3] = r->Data.x;
        Form2->StringGrid3->Cells[1][j3] = r->Data.y;
        Form2->StringGrid3->Cells[2][j3] = r->Data.type;
        Form2->StringGrid3->Cells[3][j3] = r->Data.level;
        Form2->StringGrid3->Cells[4][j3] = Y[r->Data.x][r->Data.y];
        Form2->StringGrid3->Cells[5][j3] = k;
        Form2->StringGrid3->RowCount += 1;
        r = r->next;
    }

    Form2->Memo1->Lines->Add(S[level].c_str());
    Form2->Memo2->Lines->Add(B[level].c_str());
    level--;
    threshold = pow(2,level);
}

//Decode////////////////////////////////////

```



```

AllocMemForLongIntMatrix(YC, Height, Width);
SPIHTInitialize();
for (int i = level; i >= 0; i--)
{
    SPIHTSortingPassDec(YC, S);
    SPIHTRefinementPassDec(YC, B);
    level--;
}

StringGrid1->RowCount = Height+1;
StringGrid1->ColCount = Width+1;
for (int i = 0; i < Height; i++)
    for (int j = 0; j < Width; j++)
        StringGrid1->Cells[j+1][i+1] = YC[i][j]; */
}
//-----
--

void __fastcall TForm1::Button2Click(TObject *Sender)
{
    Form2->ShowModal();
}
//-----
--

void __fastcall TForm1::Button3Click(TObject *Sender)
{
    Form3->ShowModal();
}
//-----
--

void __fastcall TForm1::KoduotilClick(TObject *Sender)
{
    double starttime, endtime, duration;
    starttime = timeGetTime();
    SPIHTEncode();
    endtime = timeGetTime();
    duration = (endtime - starttime) / 1000;
    StatusBar1->SimplePanel = true;
    StatusBar1->SimpleText = "Operacijos trukmė (1) " +
FloatToStrF(duration,ffFixed,8,3) + " sekundės";
}
//-----
--

void __fastcall TForm1::DekoduotilClick(TObject *Sender)
{
    double starttime, endtime, duration;
    starttime = timeGetTime();
    SPIHTDecode();
    endtime = timeGetTime();
    duration = (endtime - starttime) / 1000;
    StatusBar1->SimplePanel = true;
    StatusBar1->SimpleText = "Operacijos trukmė (2) " +
FloatToStrF(duration,ffFixed,8,3) + " sekundės";
}
//-----
--

void __fastcall TForm1::Kodavimoprosesas1Click(TObject *Sender)
{
    Form2->Show();
}

```

```

//-----
--
void __fastcall TForm1::Dekodavimoprosesas1Click(TObject *Sender)
{
    Form3->Show();
}
//-----
--

void __fastcall TForm1::Button1Click(TObject *Sender)
{
    Height = Width = 8;
    AllocMemForLongIntMatrix(X,Height,Width);
    X[0][0] = 63;
    X[0][1] = -34;
    X[0][2] = 49;
    X[0][3] = 10;
    X[0][4] = 7;
    X[0][5] = 13;
    X[0][6] = -12;
    X[0][7] = 7;
    X[1][0] = -31;
    X[1][1] = 23;
    X[1][2] = 14;
    X[1][3] = -13;
    X[1][4] = 3;
    X[1][5] = 4;
    X[1][6] = 6;
    X[1][7] = -1;
    X[2][0] = 15;
    X[2][1] = 14;
    X[2][2] = 3;
    X[2][3] = -12;
    X[2][4] = 5;
    X[2][5] = -7;
    X[2][6] = 3;
    X[2][7] = 9;
    X[3][0] = -9;
    X[3][1] = -7;
    X[3][2] = -14;
    X[3][3] = 8;
    X[3][4] = 4;
    X[3][5] = -2;
    X[3][6] = 3;
    X[3][7] = 2;
    X[4][0] = -5;
    X[4][1] = 9;
    X[4][2] = -1;
    X[4][3] = 47;
    X[4][4] = 4;
    X[4][5] = 6;
    X[4][6] = -2;
    X[4][7] = 2;
    X[5][0] = 3;
    X[5][1] = 0;
    X[5][2] = -3;
    X[5][3] = 2;
    X[5][4] = 3;
    X[5][5] = -2;
    X[5][6] = 0;
    X[5][7] = 4;
    X[6][0] = 2;
    X[6][1] = -3;
    X[6][2] = 6;
}

```

```

X[6][3] = -4;
X[6][4] = 3;
X[6][5] = 6;
X[6][6] = 3;
X[6][7] = 6;
X[7][0] = 5;
X[7][1] = 11;
X[7][2] = 5;
X[7][3] = 6;
X[7][4] = 0;
X[7][5] = 3;
X[7][6] = -4;
X[7][7] = 4;

PrintToStringGrid(X,Height,Width,StringGrid1);
}
//-----
--
void __fastcall TForm1::Rastibendrjvaizd1Click(TObject *Sender)
{
    AllocMemForLongIntMatrix(XTot,Height,Width);

    //Add compressed image to view
    for (int i = 0; i < Height; i++)
        for (int j = 0; j < Width; j++)
            XTot[i][j] = XC[i][j];

    //Add fine quality fragment to view
    for (int i = 0; i < q1; i++)
        for (int j = 0; j < q2; j++)
            XTot[StartFragmentCordX+i][StartFragmentCordY+j] = XfragFView[i][j];

    //Find total spectrum
    AllocMemForLongIntMatrix(YTot,Height,Width);
    FindSpectrum(XTot, YTot, Width, Height, false); // Transform Collumns
    FindSpectrum(XTot, YTot, Height, Width, true); // Transform Rows

    //Calculate MSE
    double MSE = 0;
    for (int i = 0; i < Width; i++)
        for (int j = 0; j < Height; j++)
            MSE += pow(XTot[i][j]-X[i][j],2);
    MSE /= (Height*Width);

    Label20->Caption = "MSE=" + FloatToStrF(MSE,ffFixed,8,2);

    //Print total view
    PrintToStringGrid(XTot,Height,Width,StringGrid9);
    DrawToCanvas(XTot,Height,Width,Image9);

    //Print total spectrum
    PrintToStringGrid(YTot,Height,Width,StringGrid10);
    DrawToCanvas(YTot,Height,Width,Image10);
}
//-----
--
void __fastcall TForm1::Rastirealijskaiispektr1Click(TObject *Sender)
{
    double starttime, endtime, duration;

    AllocMemForDoubleMatrix(YDbl,Height,Width);

    starttime = timeGetTime();

```

```

// Find spectrum
FindSpectrumDouble(XDbl, YDbl, Width, Height, false); // Transform
Collumns
FindSpectrumDouble(XDbl, YDbl, Height, Width, true); // Transform Rows

endtime = timeGetTime();
duration = (endtime - starttime) / 1000;

PrintToStringGridDouble(YDbl,Height,Width,StringGrid5);
DrawToCanvasDouble(YDbl, Height, Width, Image5);

StatusBar1->SimplePanel = true;
StatusBar1->SimpleText = "Operacijos trukmė (2) " +
FloatToStrF(duration,ffFixed,8,3) + " sekundės";
}
//-----
--
void __fastcall TForm1::RastifragmentivaizdorealijsklClick(TObject *Sender)
{
// Find fragment from view
double starttime, endtime, duration;
int lh, lw;
int k1, k2;

k1 = StrToInt(Edit1->Text);
k2 = StrToInt(Edit2->Text);

starttime = timeGetTime();

AllocMemForDoubleMatrix(H1,Height,Height);
AllocMemForDoubleMatrix(H2,Width,Width);
//if (Height > Width)
//FindHTMatrix(H,Height);
//else
//FindHTMatrix(H,Width);

FindHTMatrix(H1,Height);
FindHTMatrix(H2,Width);

FindPartFromViewDouble(k1, k2, lh, lw);

endtime = timeGetTime();
duration = (endtime - starttime) / 1000;

PrintToStringGridDouble(YfragFViewDbl, lh, lw, StringGrid4);
DrawToCanvasDouble(YfragFViewDbl, lh, lw, Image4);

StatusBar1->SimplePanel = true;
StatusBar1->SimpleText = "Operacijos trukmė (1) " +
FloatToStrF(duration,ffFixed,8,3) + " sekundės";

q1 = lh;
q2 = lw;
}
//-----
--
void __fastcall TForm1::BitBtn15Click(TObject *Sender)
{
if (SavePictureDialog1->Execute())
{
Image9->Picture->SaveToFile(SavePictureDialog1->FileName + ".bmp");
}
}
//-----

```